

الجمهورية الجزائرية الديمقراطية الشعبية  
REPUBLIQUE ALGERIENNE DEMOCRATIQUE ET POPULAIRE

9/88

وزارة التعليم و البحث العلمي  
MINISTERE DE L'ENSEIGNEMENT ET DE LA RECHERCHE SCIENTIFIQUE

2 EX

ECOLE NATIONALE POLYTECHNIQUE

DEPARTEMENT : **Genie Civil**

المدرسة الوطنية المتعددة التقنيات  
BIBLIOTHEQUE — المكتبة  
Ecole Nationale Polytechnique

**PROJET DE FIN D'ETUDES**

S U J E T

**ETUDE D'UN BATIMENT**

**R + 15**

**structure mixte**

**6 PLANCHES**

Proposé Par :

Etudié par :

Dirigé par :

**BEREG**

**Karim Fortas**

**Mr Boutemour**

**Karim El Hassar**

PROMOTION :

**Janvier 88**

I-PRESENTATION ET CHOIX STRUCTURAL	1
CARACTERISTIQUES GEOMETRIQUES	1
PREDIMENSIONNEMENT	5
CARACTERISTIQUES ET CONTRAINTES ADMISSIBLES DES MATERIAUX	6
EVALUATION DES CHARGES	8
II-INERTIES DES REFENDS	10
III-CALCUL DU POIDS DE LA STRUCTURE	15
EXENTRICITES	17
IV-ETUDE PSEUDO-DYNAMIQUE	18
PROGRAMME ELABORE	29
V-ETUDE SISMIQUE	31
VI-ETUDE AU VENT	36
VII-ETUDE DES VOILES SOUS CHARGES HORIZONTALES	40
VIII-ETUDE DES VOILES SOUS CHARGES VERTICALES ET COMBINAISONS	46
IX-FERRAILLAGE DES VOILES	47
LINTEAUX	49
TRUPEAUX	52
X-FERRAILLAGE DES ELEMENTS	67
ACROTERE	67
BALCONS	69
PLANCHERS	70
POUTRES	74
POTEAUX	76
ESCALIER	78
MUR DE SOUTÈNEMENT	88
XI-FONDACTIONS	92

Je dédie cet ouvrage à mes Parents, ma famille, mes amis et à tous ceux qui m'ont aidé à la réalisation de cet ouvrage.

Karim Fontas  
El-Hassan Karim

CHAP I

PRESENTATION

ET

CHOIX STRUCTURAL

---

# PRESENTATION ET CHOIX STRUCTURAL

L'objet de notre étude est le calcul des éléments résistants d'un bâtiment-tour à usage d'habitation qui sera implanté à EL-MOUAADIA (ALGER) : Zone de moyenne sismicité (Zone II), ce bâtiment comporte un rez de chaussée et quinze étages soit : R + 15

## CARACTERISTIQUES GEOMETRIQUES :

### Ossature :

L'ossature de ce bâtiment est constituée de voiles et portiques (poutres-poteaux). Le contreventement est assuré par les voiles (dans les deux directions) vu leur prépondérance par rapport aux portiques.

Les dimensions en plan : Longueur du bâtiment  $L = 22,7$  m  
Largeur du bâtiment  $l = 15,45$  m

La hauteur totale du bâtiment (niveau supérieur Local Machinerie) :  
 $52,62$  m

La hauteur d'étage est de  $3,06$  m

### Planchers :

Notre structure comporte deux types de planchers : Les planchers courants du 4<sup>e</sup> au 15<sup>e</sup> étage sont en poutrelles, corps creux et une dalle de compression de 5 cm d'épaisseur (20+5).

Les planchers des RDC, 1<sup>e</sup>, 2<sup>e</sup>, 3<sup>e</sup> et Terrasse seront en dalle pleine qui sera dimensionnée par la suite.

### Voiles :

Les épaisseurs de nos voiles sont variables :

- $e = 30$  cm du 1<sup>e</sup> au 9<sup>e</sup> niveau
- $e = 20$  cm du 9<sup>e</sup> au 17<sup>e</sup> niveau

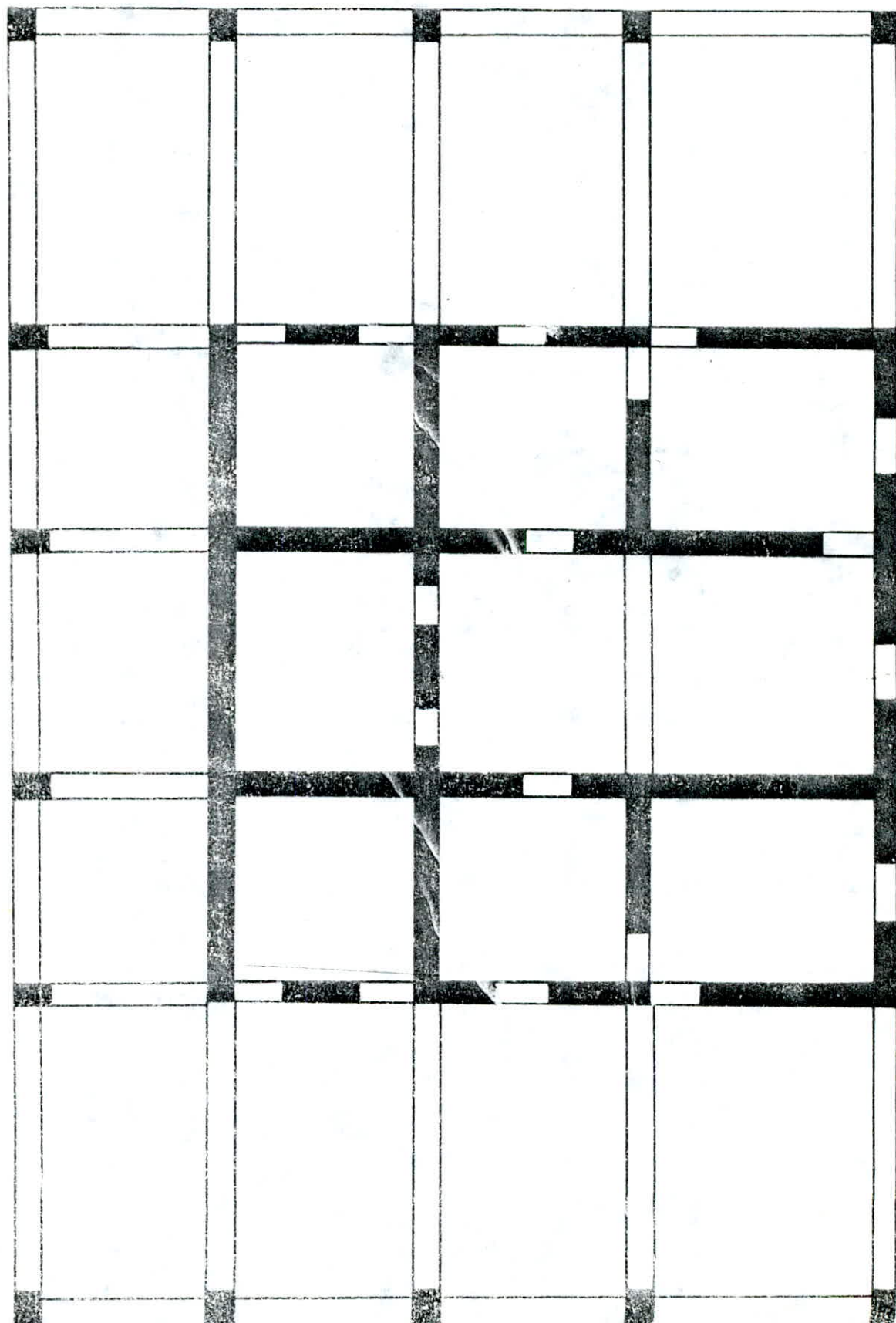
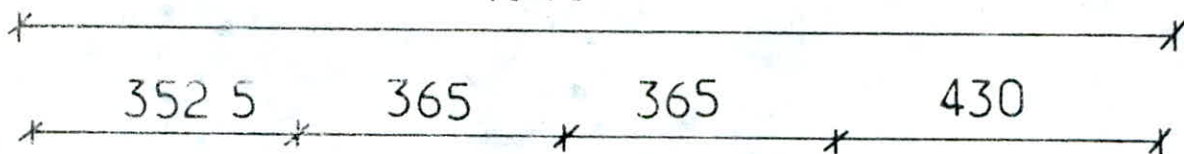
(Le niveau 1<sup>e</sup> étant le niveau bas du RDC)

## CARACTERISTIQUES DU SOL :

Le sol sur lequel repose notre bâtiment est un sol cohérent Argileux dont la contrainte admissible a été évaluée à :

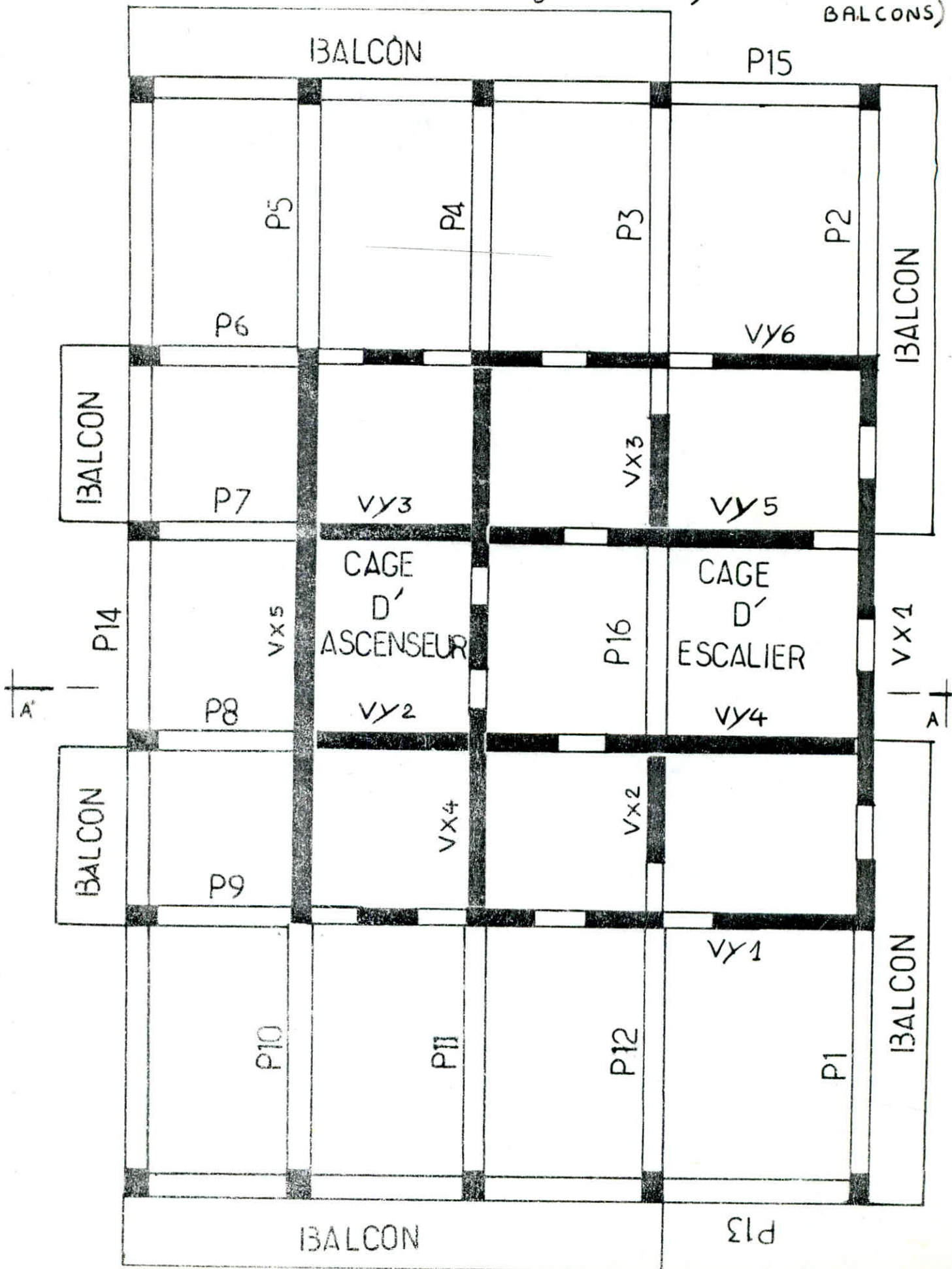
$$\bar{\sigma}_s = 2 \text{ bars}$$

1545

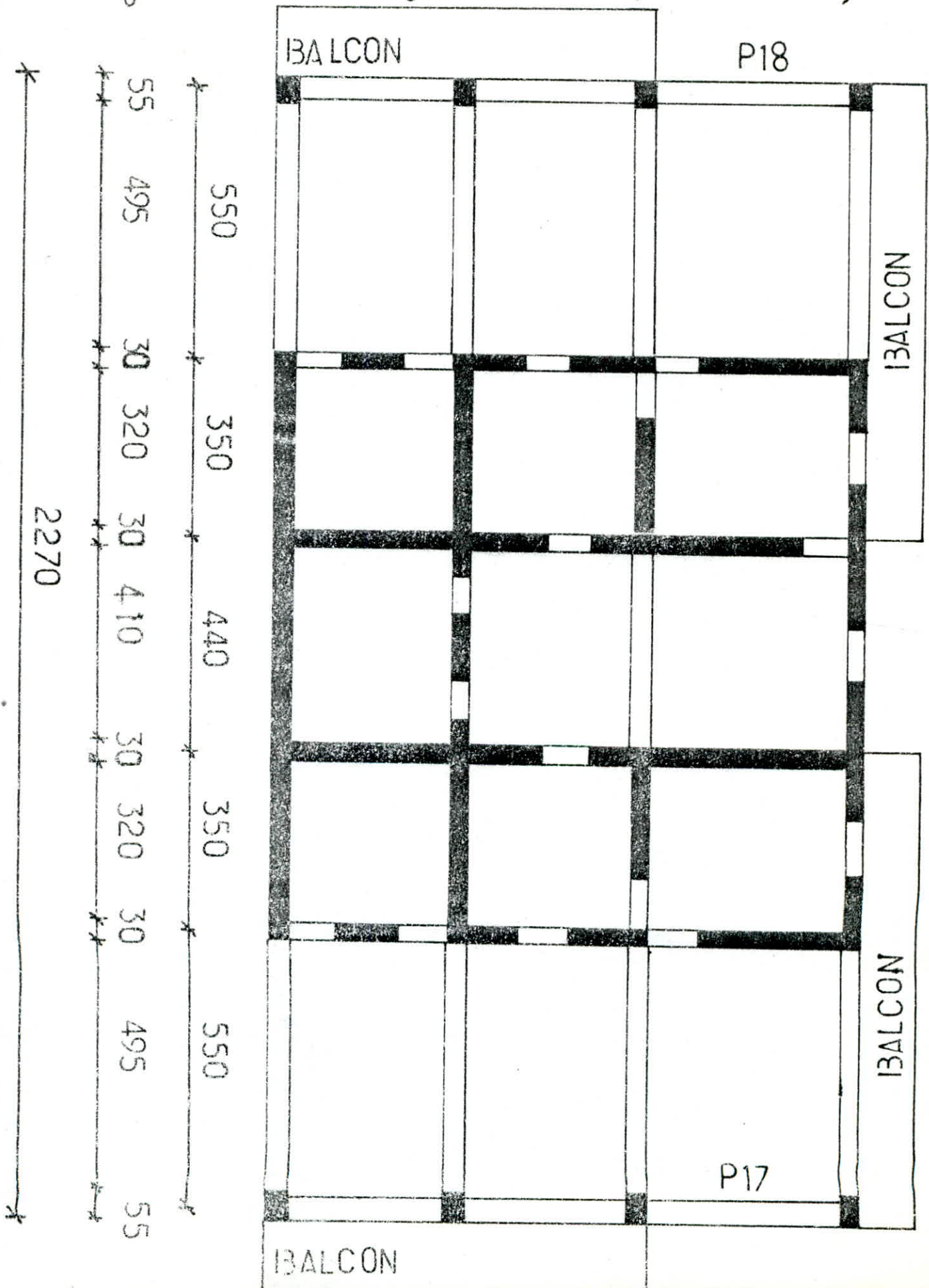


Plan de coffrage RDC et 1°2°3°

Plan de coffrage 4<sup>e</sup> → 12<sup>e</sup> étage courant, 2<sup>e</sup> → 4<sup>e</sup> (sans BALCONS)



coffrage 13<sup>e</sup>, 14<sup>e</sup>, 15<sup>e</sup> étage et terrasse (sans balcons)





# PREDIMENSIONNEMENT

## POTEAUX :

Selon l'article 4.2.1.1 du RPA 81, Les dimensions des sections transversales des poteaux doivent satisfaire Les conditions suivantes :

$$\text{Min}(b_n, h_n) \geq 25 \text{ cm en Zones I et II}$$

$$1/3 \leq b_n/h_n \leq 3 \text{ et } \text{Min}(b_n, h_n) \geq h_e/20$$

dans notre cas  $b_n = 35 \text{ cm}$  et  $h_n = 55 \text{ cm}$ , Les conditions citées ci-dessus sont vérifiées.

## POUTRES :

Selon l'article 4.2.1.2 du RPA 81, Les dimensions des poutres doivent respecter Les conditions suivantes :

$$b \geq 20 \text{ cm en Zones I et II}$$

$$h \geq 30 \text{ cm} ; \quad h/b \leq 3 ; \quad b_{\text{max}} \leq 1,5 h + b_n$$

avec un prédimensionnement classique on a :  $L/15 \leq h \leq L/10$   
 $0,3 h \leq b \leq 0,7 h$

Application :  $L_{\text{max}} = 5,00 \text{ m} \longrightarrow 33,33 \leq h \leq 50$   
 $15 \leq b \leq 35$

on prendra  $h = 50 \text{ cm}$  et  $b = 35 \text{ cm}$ .

## PLANCHERS CORPS CREUX : (4° au 15° étage courant)

Le choix du plancher à corps creux est basé sur les critères suivants :

- Bonne isolation acoustique
- Facilité et rapidité d'exécution
- Economie de coffrage

L'épaisseur du plancher est donnée d'après l'article 58,4 du CCBA 68

$$e \approx \frac{\ell}{22,5} = 22,22 \text{ cm} ; \quad \ell = 500 \text{ cm} \text{ enfin on prendra } e = 20 + 5 = 25 \text{ cm}$$

## PLANCHERS DALLE : (RDC ; 1° 2° 3° ; terrasse)

Les problèmes de déformations imposés par les revêtements fragiles, ou cloisons conduisent à des rapports, hauteur totale sur portée entre nus, de l'ordre de  $1/40$  à  $1/50$  pour les dalles sur 4 appuis (cf. A. FUENTES « calcul des ossatures de bâtiment en B.A ».)

Dans notre cas  $\ell/40 = 500/40 = 12,5 \text{ cm}$

Enfin on prendra une épaisseur  $e = 16 \text{ cm}$  pour nos dalles.

## VOILES :

L'épaisseur des voiles est imposée par l'art 3.4.12 du RPA 81

$$e \geq 15 \text{ cm en Zone II}$$

$$e \geq \max\left(\frac{h_e}{25} ; \frac{h_e}{22} ; \frac{h_e}{20}\right) = \frac{h_e}{20} = 15,3 \text{ cm}$$

Les épaisseurs  $e = 30 \text{ cm}$  et  $e = 20 \text{ cm}$  de nos voiles vérifient Les conditions RPA.

# CARACTERISTIQUES ET CONTRAINTES ADMISSIBLES DES MATERIAUX

## I. BETON ARME :

Le béton armé que nous utilisons dans la construction de notre ouvrage sera conforme aux règles techniques "CCBA 68", ainsi qu'à tous les règlements en vigueur en Algérie.

Composition du béton : ( $1m^3$ )  
 350 Kg de ciment CPA 325  
 400l de Sable  $D_s \leq 5$  mm  
 800l de gravillons  $D_g \leq 25$  mm  
 175l d'eau

### Résistance du béton :

La résistance à la compression et la résistance à la traction sont deux éléments principaux qui caractérisent le comportement du Béton. Ces deux résistances sont mesurées à 28 jours d'âge.

### Contraintes admissibles :

1° Contrainte admissible de compression : art 9.4 CCBA 68

$$\bar{\sigma}'_b = \alpha \beta \delta \delta E \cdot \sigma'_{28}$$

$\sigma'_{28}$  : résistance nominale du béton à 28 jours  $\sigma'_{28} = 270$  bars

$\alpha$  : dépend de la classe du ciment utilisé

$\beta$  : dépend de l'efficacité du contrôle sur la qualité du béton

$\delta$  : dépend du rapport entre l'épaisseur de l'élément et du granulat

$\delta$  : dépend de la nature des sollicitations

$E$  : dépend de la forme des sections et de la position de l'axe neutre

ciment utilisé CPA 325  $\rightarrow \alpha = 1$  ; contrôle atténué  $\rightarrow \beta = 5/6$

épaisseur des éléments de construction  $> 4C_g \rightarrow \delta = 1$

### Sollicitations du 1<sup>er</sup> genre :

compression simple  $\rightarrow S = 0,30$

Flexion simple et Flexion composée avec traction  $\rightarrow S = 0,60$

Flexion composée avec compression  $\rightarrow S = 0,30 (1 + e_0/3e_1)$

$e_0$  : excentricité de la Force extérieure  $e_0 = M/N$

$e_1$  : rayon vecteur du noyau central, situé dans le même plan radial que  $e_0$

### Sollicitations du 2<sup>ie</sup> genre :

Les valeurs de  $S$  fixées pour le 1<sup>er</sup> Genre sont multipliées par 1,5.

compression simple  $\rightarrow E = 1$  ; autre cas  $0,5 < E < 1$ .

Sollicitations	Compression Simple	Flexion Simple
1 <sup>er</sup> Genre	$\bar{\sigma}'_b = 68,5 \text{ Kg/cm}^2$	$\bar{\sigma}'_b = 137 \text{ Kg/cm}^2$
2 <sup>ie</sup> Genre	$\bar{\sigma}'_b = 102,75 \text{ Kg/cm}^2$	$\bar{\sigma}'_b = 205,5 \text{ Kg/cm}^2$

2° Contraintes de traction de référence : art. 9.5 CCBA 68

$$\bar{\sigma}_b = \gamma_b \cdot \sigma'_{28} \quad \text{avec } \gamma_b = \alpha \beta \delta \cdot \theta ; \quad \alpha = \delta = 1 ; \quad \beta = 5/6$$

$$\theta = 0,018 + 2,1/\sigma'_{28} = 0,0528$$

donc  $\bar{\sigma}_b = 5,8 \text{ Kg/cm}^2 \rightarrow$  1<sup>er</sup> Genre

$\bar{\sigma}_b = 8,85 \text{ Kg/cm}^2 \rightarrow$  2<sup>ieme</sup> Genre

## II. ACIERS :

### 1° Aciers à haute adhérence : FeE40A

$$\begin{aligned} \phi \leq 20 \text{ mm} & \quad \sigma_{en} = 4200 \text{ Kg/cm}^2 \\ \phi > 20 \text{ mm} & \quad \sigma_{en} = 4000 \text{ Kg/cm}^2 \end{aligned}$$

contraintes admissibles :

$$\begin{aligned} \bar{\sigma}_a = 2/3 \sigma_{en} = 2/3 \cdot 4200 = 2800 \text{ Kg/cm}^2 & \quad \text{Sollicitations 1}^{er} \text{ Genre} \\ \bar{\sigma}_a = \sigma_{en} = 4200 \text{ Kg/cm}^2 & \quad \text{Sollicitations 2}^{ie} \text{ Genre} \end{aligned} \quad \left. \begin{array}{l} \\ \\ \end{array} \right\} \phi \leq 20 \text{ mm}$$

$$\begin{aligned} \bar{\sigma}_a = 2/3 \cdot \sigma_{en} = 2/3 \cdot 4000 = 2666 \text{ Kg/cm}^2 & \quad \text{Sollicitations 1}^{er} \text{ Genre} \\ \bar{\sigma}_a = \sigma_{en} = 4000 \text{ Kg/cm}^2 & \quad \text{Sollicitations 2}^{ie} \text{ Genre} \end{aligned} \quad \left. \begin{array}{l} \\ \\ \end{array} \right\} \phi > 20 \text{ mm}$$

### 2° Aciers doux (ronds lisses) : FeE24 $\sigma_{en} = 2400 \text{ Kg/cm}^2$

contraintes admissibles :

$$\begin{aligned} \bar{\sigma}_a = 2/3 \cdot \sigma_{en} = 2/3 \cdot 2400 = 1600 \text{ Kg/cm}^2 & \quad \text{Sollicitations 1}^{er} \text{ Genre} \\ \bar{\sigma}_a = \sigma_{en} = 2400 \text{ Kg/cm}^2 & \quad \text{Sollicitations 2}^{ie} \text{ Genre} \end{aligned}$$

### 3° Longueurs de scellement : Art 30,51 CCBA 68

a - aciers à haute adhérence  $l_d = \frac{\phi}{4} \cdot \frac{\bar{\sigma}_a}{\bar{\sigma}_b}$   $\bar{\sigma}_a = 2800 \text{ Kg/cm}^2$   
 $l_d = \frac{\phi}{4} \cdot \frac{2800}{16,3} = 43\phi$   $\bar{\sigma}_b = 2,81 \cdot \bar{\sigma}_b = 2,81 \cdot 5,8 = 16,3 \text{ Kg/cm}^2$

$l_d = 43\phi$

b - aciers doux (ronds lisses)

$$\bar{\sigma}_a = 1600 \text{ Kg/cm}^2 ; \bar{\sigma}_b = 1,25 \cdot \bar{\sigma}_b = 1,25 \cdot 5,8 = 7,25 \text{ Kg/cm}^2$$

$$l_d = \frac{\phi}{4} \cdot \frac{1600}{7,25} = 55,17\phi$$

$l_d = 56\phi$

## III. Contrainte de traction imposée par la condition de non fissuration du Béton (Art. 49,22 CCBA 68)

La valeur à considérer pour  $\bar{\sigma}_a$  est limitée à la plus grande des valeurs suivantes :

$$\sigma_1 = k \cdot \eta \cdot \frac{\bar{w}_f}{\phi \cdot (1 + 10\bar{w}_f)} ; \quad \sigma_2 = 2,4 \cdot \sqrt{\frac{\eta \cdot K \cdot \bar{\sigma}_b}{\phi}}$$

Avec :

$\bar{w}_f$  : pourcentage de Fissuration ;  $\bar{w}_f = A/B_f$

$A$  : section droite des Aciers tendus

$B_f$  : section d'enrobage des Aciers tendus

$\phi$  : diamètre nominal de la plus grosse des barres tendues (mm)

$\bar{\sigma}_b$  : contrainte de traction de référence du béton (en bars)

$\eta$  : coefficient de Fissuration.

$\eta = 1,6$  pour les barres à haute adhérence.

$\eta = 1$  pour les ronds lisses

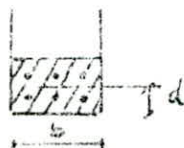
$K$  : coefficient dépendant des conséquences de fissuration.

$K = 1,5 \cdot 10^6$  fissuration peu nuisible

$K = 1 \cdot 10^6$  fissuration préjudiciable

$K = 0,5 \cdot 10^6$  fissuration très préjudiciable.

on doit vérifier que  $\bar{\sigma}_a \leq \max(\sigma_1, \sigma_2)$



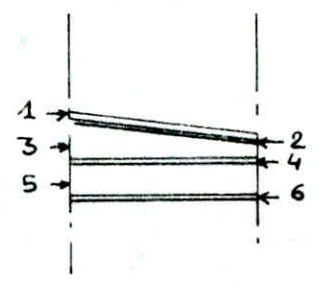
$B_f = 2bd$

# EVALUATION DES CHARGES

## I. POIDS PROPRE :

### 1. Plancher terrasse :

1. Protection gravillons : $e=4\text{cm}$ ( $0,04 \times 17$ )	68 $\text{Kg/m}^2$
2. Etanchéité multicouche	15 $\text{Kg/m}^2$
3. Béton de pente	238 $\text{Kg/m}^2$
4. isolation thermique liège	5 $\text{Kg/m}^2$
5. Dalle en B.A : $e=16\text{cm}$ ( $0,16 \times 2500$ )	400 $\text{Kg/m}^2$
6. Enduit plâtre : $e=2\text{cm}$ ( $0,02 \times 1200$ )	24 $\text{Kg/m}^2$
	<b>G = 750 <math>\text{Kg/m}^2</math></b>



### 2. Plancher courant : type 1.

1. carrellage : $e=2\text{cm}$ ( $2 \times 22$ )	44 $\text{Kg/m}^2$
2. Mortier de pose : $e=2\text{cm}$ ( $2 \times 20$ )	40 $\text{Kg/m}^2$
3. Sable sec : $e=3\text{cm}$ ( $0,03 \times 1700$ )	51 $\text{Kg/m}^2$
4. isolation phonique $e=3\text{cm}$	14 $\text{Kg/m}^2$
5. Dalle ( poutrelles - Hourdis 20+5)	325 $\text{Kg/m}^2$
6. Enduit plâtre : $e=2\text{cm}$ ( $0,02 \times 1200$ )	24 $\text{Kg/m}^2$
7. cloisons légères :	75 $\text{Kg/m}^2$
	<b>G = 573 <math>\text{Kg/m}^2</math></b>

#### type 2:

- carrellage, Mortier de pose, Sable Sec
- Enduit de plâtre, Isolation phonique
- cloisons légères
- Dalle en B.A ( $e=16\text{cm}$ )

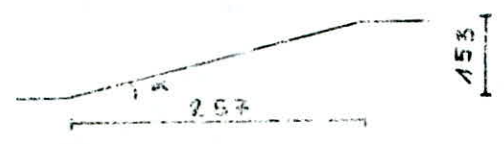
248 $\text{Kg/m}^2$
400 $\text{Kg/m}^2$
<b>G = 648 <math>\text{Kg/m}^2</math></b>

### 3. escalier :

#### a. Palier :

carrellage (2cm) $2 \times 22$	44 $\text{Kg/m}^2$
Mortier de pose (2cm) $2 \times 20$	40 $\text{Kg/m}^2$
Sable Sec (3cm) $0,03 \times 1700$	51 $\text{Kg/m}^2$
Dalle en B.A (16cm) $0,16 \times 2500$	400 $\text{Kg/m}^2$
	<b>G = 535 <math>\text{Kg/m}^2</math></b>

#### b. Volée :



Poids propre de la volée :  $\frac{2500 \times 0,12}{\cos \alpha} = 349 \text{ Kg/m}^2$

Poids des marches :  $\frac{2200 \times 0,17}{2} = 187 \text{ Kg/m}^2$

Mortier (2cm) $2 \times 20$	40 $\text{Kg/m}^2$
revêtement (3cm) $3 \times 22$	66 $\text{Kg/m}^2$
Garde corps	100 $\text{Kg/m}^2$
	<b>G = 742 <math>\text{Kg/m}^2</math></b>

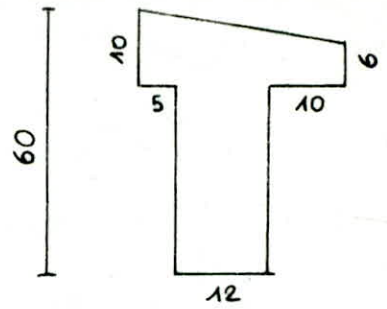
#### 4. Acrotère :

Dimensions :  $h = 60 \text{ cm}$  et  $e = 12 \text{ cm}$

Surface  $S = 830 \text{ cm}^2$

pois poids propre de l'acrotère :

$$G = 2500 \times 0,0830 = 208 \text{ Kg/ml}$$



#### 5. Façades :

Le remplissage entre ossature est fait en brique de 15 cm

d'épaisseur :

Enduit de plâtre ( $e = 2 \text{ cm}$ ) :

$$214 \text{ Kg/m}^2$$

$$24 \text{ Kg/m}^2$$

$$G = 238 \text{ Kg/m}^2$$

Au niveau des séchoirs et loggias, on a prévus des gardes corps en métal dont la masse est  $100 \text{ Kg/ml}$ .

#### 6. Gaines :

on a deux types de Gaines : Ventilation - Fumée

Le poids volumique est estimé à  $1,5 \text{ t/m}^3$  :

- Gaine de ventilation  $0,47 \times 0,8 \times 3,06 \times 1,5 = 1,72 \text{ t}$

- Gaines de Fumées (2)  $0,73 \times 0,38 \times 3,06 \times 1,5 = 1,27 \text{ t}$

#### 7. Cage d'Ascenseur :

- Dalle Local Machinerie ( $e = 16 \text{ cm}$ ) :  $0,4 \text{ t/m}^2$

- Dalle d'Ascenseur de 16 cm d'épaisseur  $0,4 \text{ t/m}^2$

#### B. SURCHARGES D'EXPLOITATIONS :

- plancher terrasse  $100 \text{ Kg/m}^2$

- Plancher étage courant  $175 \text{ Kg/m}^2$

- Escalier : Palier  $250 \text{ Kg/m}^2$   
Volée  $250 \text{ Kg/m}^2$

- Loggias et séchoirs  $350 \text{ Kg/m}^2$

- Acrotère  $100 \text{ Kg/m}$

- Parking  $250 \text{ Kg/m}^2$

- Aire de jeux  $500 \text{ Kg/m}^2$

- Commerce  $400 \text{ Kg/m}^2$

CHAP II  
INERTIES  
DES  
REFENDS

# INERTIES DES REFENDS

## I. INTRODUCTION :

on assure la stabilité de notre ouvrage - vis à vis des charges horizontales par des refends disposés suivant les deux sens du Batiment.

Remarque : Etant donné que l'épaisseur des voiles est variable ( $e = 30$  cm du 1<sup>er</sup> au 9<sup>ème</sup> niveau et  $e = 20$  cm du 9<sup>ème</sup> au 17<sup>ème</sup> niveau), nous effectuons une seule distribution des efforts tranchants d'ensemble en utilisant la méthode de l'inertie équivalente exposée dans ce qui suit en considérant un refend fictif de section constante sur la hauteur, dans notre cas  $e = 30$  cm.

(Réf. à « CALCUL DES TOURS EN BETON ARME » ; MARIUS DIVER).

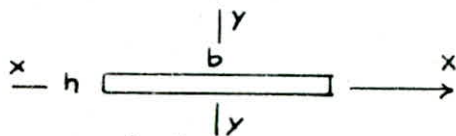
Les grandes possibilités d'Adaptation de la structure, dues surtout aux redistributions d'efforts effectuées par les planchers, autorisent un calcul simplifié dans certains cas courants où les irrégularités ne sont pas trop importantes.

## II. INERTIES DES REFENDS :

Dans notre structure, on distingue deux types de refends, du point de vue inertie :

### II.1 Refends pleins :

$$I_y = h b^3 / 12$$



Dans les calculs, on tiendra compte uniquement de :

$I_x$  : pour les voiles transversaux

$I_y$  : pour les voiles Longitudinaux

Tableau donnant les inerties des voiles pleins :

VOILES CARAC	$V_{x2}$	$V_{x3}$	$V_{x5}$	$V_{y2}$	$V_{y3}$
$h(m)$	0,3	0,3	0,3	0,3	0,3
$b(m)$	2,3	2,3	11,7	3,1	3,1
$I_y (m^4)$	0,304	0,304	40,04	/	/
$I_x (m^4)$	/	/	/	0,745	0,745

### II.2 Refends avec ouvertures :

ce sont des refends avec une seule ou plusieurs files d'ouvertures. Ils sont constitués par des trumeaux reliés entre eux par des poutres de couplage appelées Linteaux.

Ces linteaux posent un problème au niveau de la diffusion des efforts dans les trumeaux, ce qui nous amène à remplacer un refend avec ouvertures par un refend fictif plein, en passant par la notion de l'inertie équivalente «  $I_e$  »

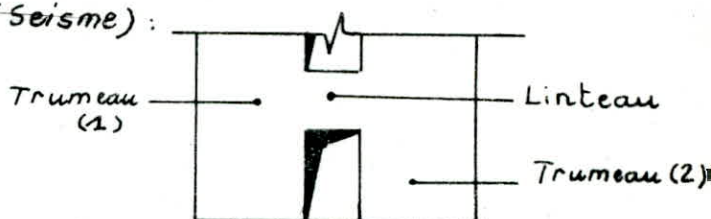
## Definition:

L'inertie équivalente  $\langle I_e \rangle$  d'un refend avec ouvertures est l'inertie d'un refend linéaire plein fictif qui soumis au même système de forces extérieures, aurait la même flèche au sommet que le refend avec ouvertures.

### a. Refends à une file d'ouvertures symétriques ou non symétriques :

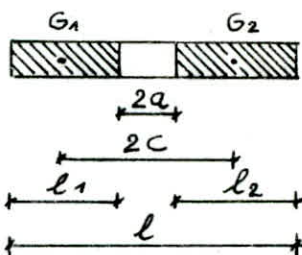
- Voile soumise aux charges triangulaires (Seisme) :

$$I_{es} = \frac{a_n I}{\frac{60}{11} \frac{2mC}{I_0} \frac{\psi_0}{\alpha^2} + 1}$$



- Voile soumise aux charges uniformément réparties (vent) :

$$I_{ev} = \frac{I}{\frac{16mC}{I_0} \frac{\psi_0}{\alpha^2} + 1}$$



Avec :

$a_n$  : coefficient dépendant du nombre de niveaux de la structure.  
pour  $n > 11$  niveaux, on prend  $a_n = 0,55$

$$a_n = \frac{11}{20} + \frac{9}{20n} - \frac{1}{30 \cdot n^2} - \frac{1}{30 \cdot n^3} \quad n : \text{nombre de niveaux}$$

$I$  : inertie totale du refend telle que  $I = I_0 + 2mC$

$I_0 = I_1 + I_2$  ( $I_1$  et  $I_2$  les inerties des deux trumeaux)

$C$  : demi-distance entre les centres de gravités des deux trumeaux.

$m$  : moment statique de chacun des deux trumeaux du refend par rapport au centre de gravité de l'ensemble tel que :

$$m = \frac{2C}{\frac{1}{A_1} + \frac{1}{A_2}}$$

$A_1$  et  $A_2$  les Aires des deux trumeaux.

$\psi_0$  : coefficient dépendant du coefficient «  $\alpha$  ».

$$\psi_0 = \frac{1}{2} - \frac{54\alpha}{\alpha \cdot \text{ch}\alpha} + \frac{1}{\alpha^2} \left( 1 - \frac{1}{\text{ch}\alpha} \right)$$

$\alpha$  : coefficient de monolithisme qui exprime le taux de participation du linteau à la déformation de l'ensemble.

$$\alpha = Z \cdot \sqrt{\frac{3E' \cdot i \cdot I \cdot C}{E I_0 m \alpha^3 H}}$$

avec  $H$  : hauteur d'étage  
 $i$  : inertie transversale du Linteau

$Z$  : hauteur considérée.

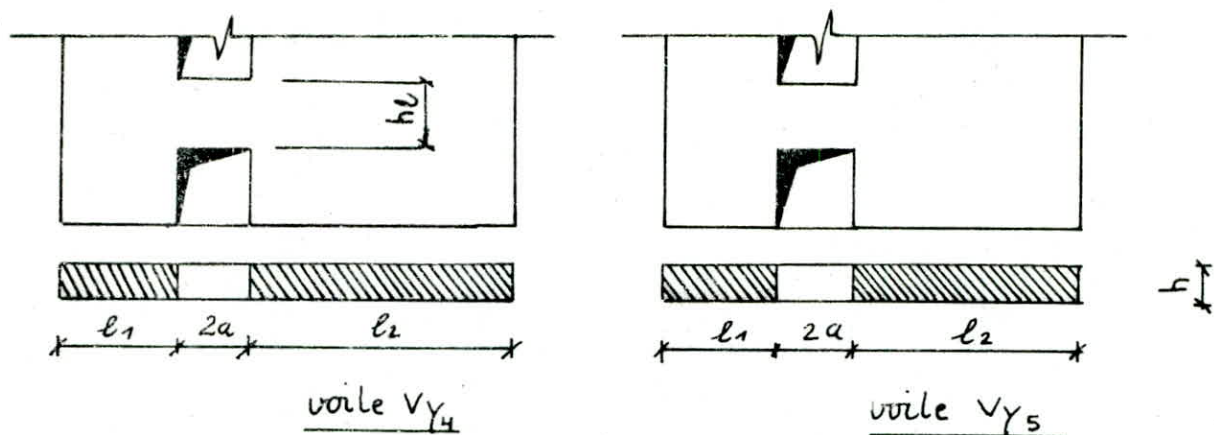
$a$  : demi-portée de l'ouverture.

$E'$  : module d'élasticité du matériau composant le Linteau.

$E$  : module d'élasticité du matériau composant le refend.



Présentation des voiles à une seule file d'ouvertures :



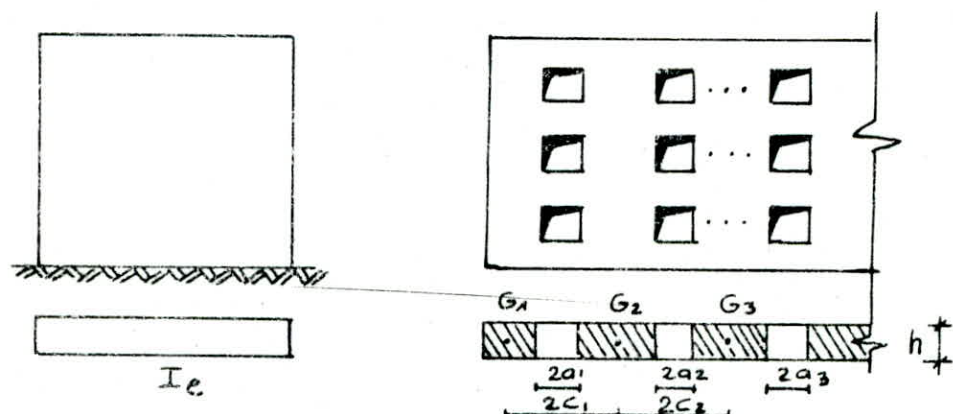
nous obtenons tous calculs faits :

VOILES	$l_1$ (m)	$l_2$ (m)	$a$ (m)	$I_{ev}$ (m <sup>4</sup> )	$I_{es}$ (m <sup>4</sup> )
$V_{Y4}$	1,5	5,1	0,5	9,83	5,377
$V_{Y5}$	1,5	4,1	0,5	6,564	3,592

Remarques :

- Lorsque  $\alpha < 1$ , on est en présence d'ouvertures à grandes dimensions. La rigidité des linteaux devient très faible et l'inertie équivalente sera égale à :  $I_e \approx I_1 + I_2 \approx I_0$
- Lorsque  $\alpha > 10$ , Les ouvertures sont de petites dimensions et n'affectent le refend que localement :  $I_{ev} = I = I_0 + 2mc$
- $E = E'$  car c'est le même matériau qui compose Les linteaux et les refends (bét. Armé).

b- Refends à plusieurs files d'ouvertures Symétriques ou non Symétriques.



Dans ce cas :

$$I_{es} = \frac{a_n I}{\frac{60}{11} \frac{I}{I_0} \cdot \frac{\psi_0}{\alpha^2} + 1}$$

$$I_{ev} = \frac{I}{8 \frac{I}{I_0} \cdot \frac{\psi_0}{\alpha^2} + 1}$$

La charge est répartie sur toute la hauteur  $Z$

Avec :

$I$  : Inertie totale (brute) du refend :  $I = I_0 + \sum_{i=1}^{n-1} 2C_i m_i$

$I_0$  : Somme des inerties des trumeaux :

$$I_0 = \sum_{i=1}^n I_i$$

$m_i$  : moment statique :

$$m_i = m_{i-1} + A_i \left[ D - \sum_{j=1}^{i-1} 2C_j \right]$$

$D$  : distance séparant le centre de gravité du trumeau ① et le centre de gravité du refend.

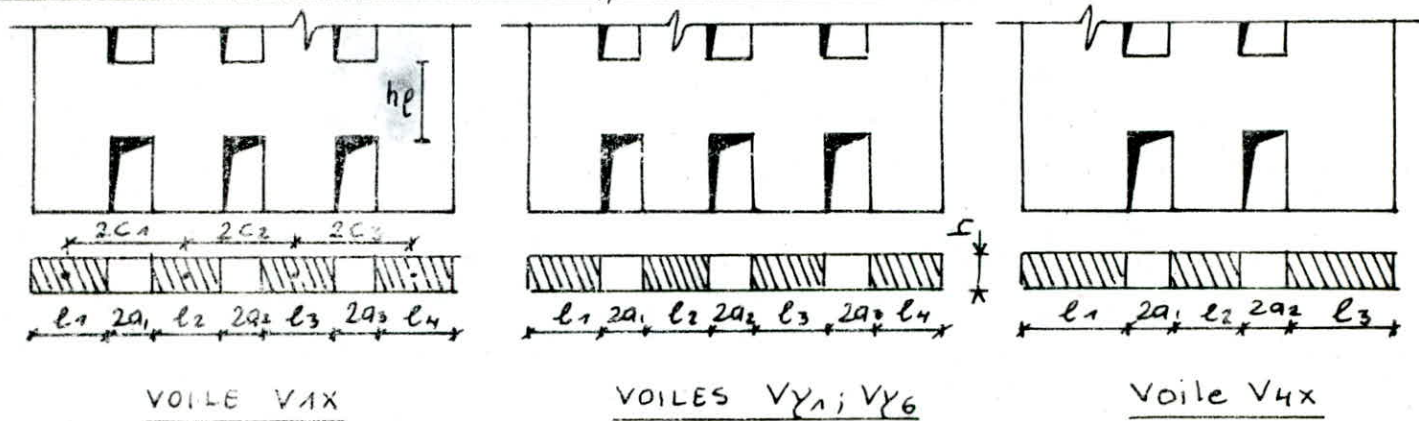
$A_1, A_2, \dots$  Sections des trumeaux

$C_i$  : demi-distance entre deux trumeaux consécutifs.

$$\alpha = z \sqrt{\frac{6E'}{EI_0 H} \left( \frac{l_1 C_1^2}{a_1^3} + \frac{l_2 C_2^2}{a_2^3} + \dots \right)}$$

$I_1, I_2, \dots$  Inerties transversales des linteaux  
 $2a_i$  : portée de l'ouverture de la file « i ».

Présentation des voiles à plusieurs files d'ouvertures :



VOILE V1X

VOILES VY1; VY6

Voile V4x

Exemple de calcul de l'inertie équivalente d'un voile à plusieurs files d'ouvertures : voile V4x

$$L = 11,1 \text{ m} ; h = 0,3 \text{ m} ; H = 3,06 \text{ m} ; z = 48,96 \text{ m} ; h_c = 0,89 \text{ m}$$

$$l_1 = 4,10 \text{ m} ; a_1 = 0,4 \text{ m} ; C_1 = 1,75 \text{ m}$$

$$l_2 = 1,30 \text{ m} ; a_2 = 0,4 \text{ m} ; C_2 = 1,75 \text{ m}$$

$$l_3 = 4,10 \text{ m}$$

- Les inerties des linteaux :  $I_1 = I_2 = n \cdot h_c^3 / 12 = 0,3 \cdot \frac{0,89^3}{12} = 90176 \text{ m}^4$

- Les sections des trumeaux :  $A_1 = h \cdot l_1 = 1,23 \text{ m}^2$  ;  $A_2 = 0,39 \text{ m}^2$  ;  $A_3 = 1,23 \text{ m}^2$   
posons  $A_0 = \sum A_i = 2,85 \text{ m}^2$

- Les inerties des trumeaux :

$$I_1 = h l_1^3 / 12 = 0,3 \cdot 4,1^3 / 12 = 1,72 \text{ m}^4 ; I_2 = 0,054 \text{ m}^4 ; I_3 = 1,72 \text{ m}^4$$

Posons  $I_0 = \sum I_i = 3,5 \text{ m}^4$

L'inertie brute du refend :  $I = I_0 + \sum_{i=1}^{n-1} 2C_i m_i$

$$m_i = m_{i-1} + A_i C_i D - \sum_{j=1}^i 2C_j D$$

D : distance séparant le centre de gravité du tronc (1) et le centre de gravité du repend.

$$D = \frac{2C_1 A_2 + (2C_1 + 2C_2) A_3}{A_0} = \frac{3,5 \times 0,39 + 7 \times 1,23}{2,85} = 3,5 \text{ m}$$

$$m_1 = m_0 + A_1 D = 0 + 1,23 \times 3,5 = 4,305 \text{ m}^3$$

$$m_2 = m_1 + A_2 (D - 2C_1) = 4,305 + 0,39 (3,5 - 3,5) = 4,305 \text{ m}^3$$

$$m_3 = m_2 + A_3 (D - 2C_1 - 2C_2) = 4,305 + 1,23 (3,5 - 7) = 0$$

$$I = I_0 + \sum_{i=1}^2 2C_i m_i = I_0 + 2C_1 m_1 + 2C_2 m_2$$

$$= 3,5 + 3,5 \times 4,305 + 3,5 \times 4,305 = 33,636 \text{ m}^4$$

$$\alpha = \pm \sqrt{\frac{6}{I_0 H} \left( \frac{i_1 C_1^2}{a_1^3} + \frac{i_2 C_2^2}{a_2^3} \right)} = 49,96 \sqrt{\frac{6 \times 0,0176}{3,5 \times 3,06} \left( \frac{1,75^2}{0,4^3} + \frac{1,75^2}{0,4^3} \right)}$$

$$\alpha = 47,58$$

$$\psi_0 = 0,479$$

$$\alpha > 10$$

$$I_{ev} = I = 33,636 \text{ m}^4$$

$$a_n = 0,55 \text{ et } I_{es} = \frac{a_n I}{\frac{60}{11} \frac{I}{I_0} \frac{\psi_0}{\alpha^2} + 1} = 18,296 \text{ m}^4$$

donc  $I_{ev} = 33,636 \text{ m}^4$  et  $I_{es} = 18,296 \text{ m}^4$

Les autres résultats sont groupés dans le tableau suivant :

	V <sub>1x</sub>	V <sub>4x</sub>	V <sub>1y</sub>	V <sub>6y</sub>
a <sub>1</sub> (m)	0,55	0,4	0,5	0,5
a <sub>2</sub> (m)	0,55	0,4	0,5	0,5
a <sub>3</sub> (m)	0,55	-	0,5	0,5
I <sub>ev</sub> (m <sup>4</sup> )	29,9	33,636	23,005	23,005
I <sub>es</sub> (m <sup>4</sup> )	16,159	18,296	12,453	12,453

$$V_{1x} : l_1 = 1,4 \text{ m} ; l_2 = 2,8 \text{ m} ; l_3 = 2,8 \text{ m} ; l_4 = 1,4 \text{ m}$$

$$V_{4x} : l_1 = 4,1 \text{ m} ; l_2 = 1,3 \text{ m} ; l_3 = 4,1 \text{ m}$$

$$V_{1y} - V_{6y} : l_1 = 1,2 \text{ m} ; l_2 = 1,4 \text{ m} ; l_3 = 1,5 \text{ m} ; l_4 = 3,3 \text{ m}$$

CHAP III

CALCUL DU POIDS  
DE LA STRUCTURE

"W"

## Calcul du poids de la structure : W

W comprend l'ensemble des charges permanentes. Pour les salles et magasins accessibles au public, il faut prendre en considération 50% des surcharges d'exploitation (article 3.3.1.5 du RPA 81).

Les calculs nous ont donné les résultats suivants:

- Poids des voiles avec les planchers leur revenant : 3630 t
- Poids des poutres avec le poids de plancher leur revenant : 2630 t
- Poids des façades : 355 t
- Poids des escaliers : 177 t
- Poids des poteaux : 300 t

$$\text{D'où } W = 3630 + 2630 + 355 + 177 + 300$$

$$W = 7090 \text{ tonnes}$$

Effort normal cumulé sous G (charge permanente) dans les voiles : N<sub>G</sub>

Les efforts sont donnés en tonnes, le niveau 16 correspond au niveau terrasse, le niveau 0 correspond au niveau bas du R.D.C

voiles Niveaux	VX1	VX2-VX3	VX4	VX5	VY1-VY6	VY2-VY3	VY4	VY5
16	9,69	3,43	11,96	9,4	30,46	3,12	11,54	11,54
15	21,75	10,18	35,41	31,22	73,56	9,62	29,6	27,98
14	53,82	16,93	59,47	53,04	116,65	16,12	47,65	44,42
13	75,88	23,68	83,52	74,86	159,75	22,62	65,71	60,86
12	97,95	30,43	107,54	109,44	202,85	29,12	83,76	77,31
11	120,01	37,18	131,63	145,3	244,7	35,62	101,82	93,75
10	142,08	43,93	155,65	181,2	286,5	42,12	119,8	110,2
9	164,15	50,68	179,7	217,11	328,3	48,62	137,9	126,6
8	186,21	57,43	203,8	253	370,16	55,12	155,9	143,08
7	215,43	65,94	235,47	297,8	418,32	64	179,4	164,02
6	244,46	74,45	267,15	342,6	466,47	72,86	202,6	184,96
5	273,48	82,36	298,8	387,5	514,63	81,73	225,9	205,91
4	302,71	91,47	330,5	432,3	562,78	90,6	249,3	226,85
3	328,43	100,38	363,2	477,54	611,25	99,66	273,4	248,6
2	354,15	109,29	395,9	522,76	659,71	107,8	297,5	270,3
1	379,87	118,2	428,6	567,9	708,17	117,78	321,7	292,03
0	405,6	127,11	461,4	613,2	756,64	126,84	345,81	313,8

Effort normal cumulé sous P ( surcharge d'exploitation) : Np

voiles Niveaux	Vx1	Vx2-Vx3	Vx4	Vx5	Vy1-Vy6	Vy2-Vy3	Vy4	Vy5
16	0,908	0,53	1,749	0,864	3,768	0,48	1,648	1,648
15	5,472	1,45	4,159	1,732	11,51	0,928	3,5	3,5
14	10,036	2,37	6,569	2,6	19,263	1,376	5,35	5,35
13	14,6	3,29	8,98	3,468	27,01	1,824	7,2	7,2
12	19,164	4,21	11,39	4,224	34,758	2,272	9,05	9,05
11	23,73	5,13	13,8	5,088	42,5	2,72	10,9	10,9
10	28,29	6,05	16,21	5,933	50,253	3,168	12,76	12,76
9	32,85	6,97	18,62	6,722	58	3,616	14,61	14,61
8	37,42	7,89	21,03	7,525	65,75	4,064	16,46	16,46
7	41,98	8,81	23,44	8,204	73,49	4,512	18,31	18,31
6	46,55	9,73	25,85	8,916	81,243	4,96	20,16	20,16
5	51,11	10,65	28,26	9,516	89	5,4	22,02	22,02
4	55,67	11,57	30,67	9,972	96,74	5,856	23,87	23,87
3	59,78	12,48	32,19	10,336	111,81	6,304	25,104	25,104
2	59,89	15,79	41,71	11,72	126,88	7,874	32,34	32,34
1	62	17,8	47,14	13,3	141,95	8,898	36,57	36,57
0	64,11	20,01	52,76	15,33	157,02	9,922	40,81	40,81

Les efforts sont exprimés en tonne.

Remarque: Les charges de la dalle se répartissent sur les voiles et sur les poutres suivant le schéma suivant:



Conclusion importante

La somme des efforts cumulés sous G et sous 50% de P dans tous les voiles donne 4485 tonnes, soit plus de 20% des sollicitations dues aux charges verticales (263%). D'où notre bâtiment fait partie de la catégorie S (article 3-3-1-3-1 du R.P.A 81).

On considère que la sollicitation horizontale est reprise uniquement par les voiles.

centre de masse - centre de torsion - excentricités

Les efforts sismiques étant supposés se concentrer au niveau des planchers, on se trouve dans l'obligation de calculer le centre de masse des éléments donné par ses coordonnées  $x_{cm}$ ,  $y_{cm}$ .

$$x_{cm} = \frac{\sum M_i \cdot x_i}{\sum M_i}$$

$$y_{cm} = \frac{\sum M_i \cdot y_i}{\sum M_i}$$

$M_i$  : masse des éléments

$\left. \begin{matrix} x_i \\ y_i \end{matrix} \right\}$  coordonnées cartésiennes des centres de gravité des éléments.

- détermination du centre de torsion : Les coordonnées du centre de torsion sont données par :

$$x_{CT} = \frac{\sum x_i I_{xi}}{\sum I_{xi}}$$

$$y_{CT} = \frac{\sum y_i I_{yi}}{\sum I_{yi}}$$

$\left. \begin{matrix} x_i \\ y_i \end{matrix} \right\}$  coordonnées des centres de gravité des voiles

$I_{xi}, I_{yi}$  : moments d'inertie des voiles suivant y et suivant l'axe x.

- excentricités :  $\begin{cases} e_x = x_{cm} - x_{CT} \\ e_y = y_{cm} - y_{CT} \end{cases}$

Les résultats sont groupés dans le tableau suivant :

Niveau	16	13-14-15	8-12	4-7	0-3
$x_{CT}$ (m)	11,232	11,232	11,232	11,232	11,232
$y_{CT}$ (m)	8,174	8,174	8,174	8,174	8,174
$x_{cm}$ (m)	11,342	11,337	11,337	11,336	11,334
$y_{cm}$ (m)	5,912	5,843	7,372	7,485	7,378
$e_x = x_{cm} - x_{CT}$ (m)	0,11	0,105	0,105	0,104	0,102
$e_y = y_{cm} - y_{CT}$ (m)	-2,262	-2,331	-0,802	-0,689	-0,796
$5\% L$ (m)	1,135	1,135	1,135	1,135	1,135

La résultante des forces horizontales a une excentricité par rapport au centre de torsion au moins égale à 5% de la plus grande dimension du bâtiment à ce niveau (Article 3.3.5 du RPA81).

$L$  : plus grande dimension du bâtiment à ce niveau.

CHAP IV

ETUDE

PSEUDO-DYNAMIQUE



Introduction

Pour le calcul de la période, les formules empiriques 3-37 et 3-38 de l'article 3-3-1.2.2 des règles parasismiques Algériennes ne tiennent pas compte des propriétés de la structure ainsi que des caractéristiques de déformation des éléments participant à la résistance.

L'article 3-2-2-1 stipule "toute méthode d'analyse dynamique approuvée peut être utilisée. Ce type d'analyse est obligatoire si la structure présente une dissymétrie dans son plan ou des irrégularités dans son élévation qui dépassent les tolérances fixées dans ce règlement".

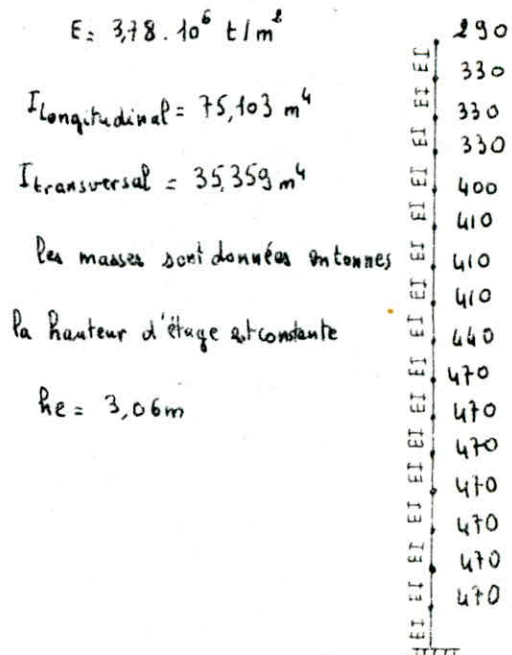
Notre bâtiment ayant une hauteur supérieure à 45m, nous avons donc entrepris de faire une analyse dynamique afin de bien étudier la réponse de la structure soumise à des vibrations en déterminant ses périodes de vibration.

Action dynamique - Modélisation.

On entend par action dynamique la sollicitation produite par les charges qui varient rapidement dans le temps et contribuent à l'apparition des forces d'inertie.

L'étude pour la détermination des périodes et modes propres de vibration de la structure ne peut se faire directement sur cette dernière. Pour cela, on doit modéliser notre bâtiment par un modèle mathématique qui reflète aussi bien que possible le comportement dynamique réel de la structure. Pour un bâtiment étagé, le modèle mathématique choisi est une console flexible encastree à sa base. On suppose les masses concentrées au niveau des planchers, celles-ci étant solidaires à un support d'inertie variable ou constante et de masse négligeable. L'inertie attribuée à chaque tronçon est l'inertie totale de l'étage dans le sens considéré.

Modèle de la structure



## Degrés de liberté dynamique du système

Théoriquement un solide dans l'espace possède 6 degrés de liberté : 3 rotations et 3 translations. Mais dans notre cas, les planchers sont des éléments infiniment rigides du fait que leurs déformations propres sont négligeables par rapport à celles de l'ensemble du bâtiment ; alors chaque plancher ne constitue qu'un seul degré de liberté. Etant donné qu'on a 16 planchers (au dessus du sol), alors notre système compte 16 degrés de liberté.

## Méthodes de calcul :

Nous utiliserons des méthodes approximatives qui sont plus simples et plus rapides que les méthodes exactes, leurs précisions étant acceptables. Elles se basent sur des procédés itératifs.

Nous avons utilisé 2 méthodes : celles de Stodola et de Rayleigh. Nous avons déterminé les 3 premiers modes avec la première (Stodola), Rayleigh nous permettant de vérifier les résultats du mode fondamental.

### A) Exposé de la méthode énergétique de Rayleigh

C'est une méthode approximative basée sur le principe de la conservation d'énergie du système. Afin d'établir l'expression de la pulsation fondamentale on écrit que l'énergie totale du système non amorti et libre de se mouvoir est constante, c'est à dire :

$$E_T = E_c(t) + E_p(t) + E_{th}(t) + E_a(t) = cte$$

$E_{th}(t)$  : énergie thermique } négligeables  
 $E_a(t)$  : énergie d'amortissement }

$E_c(t) = 1/2 \cdot \sum m_k \dot{v}_k(t)^2$  : énergie cinétique du système

$E_p(t) = 1/2 \cdot \sum Q_k \cdot v_k(t)$  : énergie potentielle du système

$v_k(t)$  : déplacement des masses suivant la direction du degré de liberté à un instant  $t$

$\dot{v}_k(t)$  : vitesses des masses à l'instant  $t$

$Q_k$  : Poids de la masse  $m_k$ .

Dans le cas du mode fondamental, nous avons des solutions harmoniques simples :

$$v_k(t) = v_k \sin(\omega_1 t + \varphi_1)$$

$\omega_1$  : pulsation fondamentale

$\varphi_1$  : déphasage du mode fondamental

$v_k$  : amplitude de la masse  $k$ .

L'expression de l'énergie potentielle devient :

$$E_p(t) = E_p^{\max} \sin^2(\omega_1 t + \varphi_1) \quad \text{avec} \quad E_p^{\max} = 1/2 \cdot \sum_{k=1}^n Q_k \cdot v_k$$

L'expression de la vitesse instantanée devient :  $\dot{v}_k(t) = \omega_1 \cdot v_k \cdot \cos(\omega_1 t + \varphi_1)$

D'où  $E_c(t)$  devient :

$$E_c(t) = E_c^{\max} \cos^2(\omega_1 t + \varphi_1) \quad \text{avec} \quad E_c^{\max} = 1/2 \cdot \omega_1^2 \cdot \sum_{k=1}^n m_k \cdot v_k^2$$

En oscillant, le système passe par 2 positions extrêmes :

- la position d'équilibre statique : à cet instant,  $E_c$  est max et  $E_p = 0$
- la position où l'énergie potentielle est max et  $E_c = 0$

$$\text{D'où} \quad E_c^{\max} = E_p^{\max} \Rightarrow 1/2 \cdot \sum_{k=1}^n Q_k \cdot v_k = \frac{1}{2} \omega_1^2 \sum_{k=1}^n m_k \cdot v_k^2$$

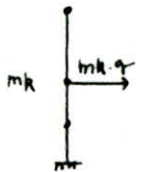
Alors la pulsation fondamentale a pour expression :

$$\omega_1^2 = g \frac{\sum_1^n V_k \cdot m_k}{\sum_1^n V_k^2 \cdot m_k} \quad \text{avec } T = 2\pi/\omega_1$$

### Remarques

Rayleigh évalue la déformée comme étant la flèche due à un chargement inertiel statique. Pour les structures courantes, la déformée du 1<sup>er</sup> mode a une allure comparable à celle que l'on obtiendrait en imposant à toutes les masses la même accélération horizontale  $g$ , c'est à dire en les soumettant à leur poids propre supposé agir à l'horizontal.

En choisissant une ligne élastique qui ne coïncide pas avec le mode propre de vibration après le procédé itératif, le système sera sollicité par des forces d'inertie  $F_{mj}$  qui présentent une approximation des forces réelles et qui produisent les déplacements  $V_{mj}$ . L'énergie potentielle maximale qui n'est autre que le travail des forces d'inertie sera donc :



$$E_p^{\max} = 1/2 \cdot \sum_{j=1}^n F_{mj} \cdot V_{mj}$$

$$E_c^{\max} = 1/2 \cdot \frac{\omega_1^2}{g} \cdot \sum_{j=1}^n W_j V_{mj}^2$$

$m$  : indice de correction dans les itérations  
 $j$  : indice de niveau  
 $W_j$  : poids du niveau  $j$

$$E_p^{\max} = E_c^{\max} \Rightarrow \omega_1^2 = g \frac{\sum_{j=1}^n F_{mj} \cdot V_{mj}}{\sum_{j=1}^n W_j V_{mj}^2}$$

D'où l'expression de la période du mode fondamental :

$$T = \frac{2\pi}{\sqrt{g}} \sqrt{\frac{\sum_{j=1}^n W_j V_{mj}^2}{\sum_{j=1}^n F_{mj} V_{mj}}}$$

### Etapes de Calcul

1<sup>o</sup> Détermination des déplacements unitaires  $S_{ij}$

hypothèses :

On n'a pas tenu compte de :

- l'interaction sol-structure
- la translation au niveau de la base

Détermination de la matrice des déplacements  $S_{ij}$

Le coefficient d'influence  $S_{ij}$  qui est le déplacement d'une section  $i$  produit par une force en  $j$  unitaire est donné par l'intégrale de Mohr :

$$S_{ij} = \int_0^h \frac{M_i M_j}{EI_x} dx + \int_0^h \frac{T_i T_j}{G \cdot S} dx \cdot K_y = S_{ij}^M + S_{ij}^T$$

$S_{ij}^M$ : représente l'effet du moment fléchissant

$S_{ij}^T$ : représente l'effet de l'effort tranchant

Détermination de la matrice de flexibilité due au moment fléchissant

En réalité, la matrice des déplacements unitaires n'est autre que la matrice de flexibilité. De plus, de la réciprocité des déplacements (Maxwell-Betti), on montre que  $S_{ji} = S_{ij}$ .

Donc il suffit de connaître  $S_{ij}$  pour connaître toute la matrice. On calculera ces intégrales à l'aide des diagrammes.

Soit l'application d'une force unitaire en  $i$ , déterminons le déplacement en  $j$ :  $S_{ji}$

- 1<sup>er</sup> cas:  $S_{ji} = \frac{1}{EI} \left[ (P_i - P_j) \cdot P_j \cdot \frac{P_j}{2} + \frac{1}{2} P_j^2 \cdot \frac{2}{3} P_j \right]$

d'où  $S_{ji} = \frac{1}{6EI} (3P_i - P_j) \cdot P_j^2$



- 2<sup>e</sup> cas:  $S_{ji} = \frac{1}{EI} \cdot \frac{1}{2} P_i^2 \left[ (P_j - P_i) + \frac{2}{3} P_i \right]$

$S_{ji} = \frac{1}{6EI} (3P_j - P_i) \cdot P_i^2$

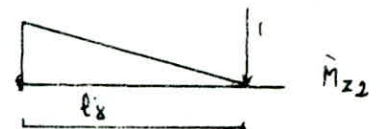
- 1<sup>er</sup> cas:

$l \geq j$



- 2<sup>e</sup> cas:

$i \leq j$



On a dans notre cas  $P_i$  et  $P_j$  qui sont en fonction de la hauteur d'étage  $h$ , donc on peut poser

$$\begin{cases} P_i = \alpha_i h & 1 \leq \alpha_i \leq 16 \\ P_j = \alpha_j h & 1 \leq \alpha_j \leq 16 \end{cases}$$

Pour  $i \geq j$   $S_{ji} = \frac{h^3}{6EI} \alpha_j^2 (3\alpha_i - \alpha_j)$

Pour  $i \leq j$   $S_{ji} = \frac{h^3}{6EI} \alpha_i^2 (3\alpha_j - \alpha_i)$

Exemples:

On pose  $A_{ji} = \alpha_j^2 (3\alpha_i - \alpha_j)$  pour  $i \geq j$

-  $j = 1$  on a  $\alpha_j = \alpha_1 = 1$  et  $1 \leq \alpha_i \leq 16$

$\alpha_i$	1	2	3	4	5	6	7	8	9	10	11	12	13	14	15	16
$A_{i1}$	2	5	8	11	14	17	20	23	26	29	32	35	38	41	44	47

-  $j = 2$  on a  $\alpha_j = 2$  et  $2 \leq \alpha_i \leq 16$

$\alpha_i$	1	2	3	4	5	6	7	8	9	10	11	12	13	14	15	16
$A_{i2}$		16	28	40	52	64	76	88	100	112	124	136	148	160	172	184

On procède de la même manière pour calculer les autres valeurs de  $A_{ij}$

On obtient donc la matrice:

$$[S_{ij}^M] = \frac{h^3}{6EI} \cdot [A_{ij}]$$

## Détermination de la matrice de flexibilité due à l'effort tranchant

On a  $S_{ij}^T = \int_0^h \frac{T_i T_j}{G.S} dx \cdot K_y$

Pour les sections rectangulaires,  $K_y = 6/5$

On pose  $S_r = \frac{2}{6} \cdot S$

Pour  $i < j$   $S_{ji}^T = \frac{1}{G.S_r} \cdot P_i$

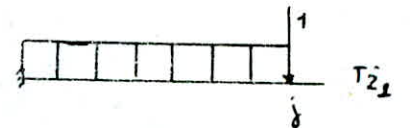
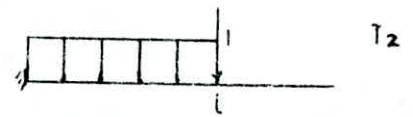
Pour  $i \geq j$   $S_{ji}^T = \frac{1}{G.S_r} \cdot P_j$

$G = E / (2(1+\nu))$   $\nu = 0,15$  pour le béton armé

D'où  $G = E / 2,3$

Pour  $i \geq j$  on a donc :  $S_{ji} = \frac{h^3}{6EI} \alpha_j^2 (3\alpha_i - \alpha_j) + \frac{2,3 \cdot h}{E \cdot S_r} \cdot \alpha_j$

$$\begin{cases} 1 \leq i \leq 16 \\ \alpha_i \geq \alpha_j \\ \alpha_i \leq 16 \end{cases}$$



### 2°) Procédé itératif

- on calcule les déplacements statiques  $[V_{0j}] = [S_{ij}] \cdot [w_j]$

- on calcule les coefficients adimensionnels  $[e_{ij}] = [V_{0j} / V_{0n}]$

La 1<sup>ère</sup> correction consiste à calculer les nouvelles forces

$F_{ij} = [e_{ij}] [w_j]$

{ l'indice i correspond à la 1<sup>ère</sup> itération  
l'indice j indique le niveau

- à partir des nouvelles forces, on calcule les nouveaux déplacements :

On continue le procédé itératif jusqu'à ce que  $[V_{ij}] = [S_{ij}] [F_{ij}]$  d'où  $[e_{ij}] = [V_{ij} / V_{in}]$

$[e_{mj}]$  : itération m au niveau j  $[e_{(m-1)j}] \approx [e_{mj}]$

### Détermination du 1<sup>er</sup> mode : Méthode de Rayleigh

#### Application du procédé itératif :

les calculs ont été faits sur ordinateur

Sens transversal y-y  $\begin{cases} I_x = 35,353 \text{ m}^4 \\ S_r = 10,3 \text{ m}^3 \end{cases}$

Sens longitudinal x-x  $\begin{cases} I_y = 15,103 \text{ m}^4 \\ S_r = 9,775 \text{ m}^3 \end{cases}$

À la fin des itérations, pour une précision de  $10^{-3}$ , l'ordinateur donne les résultats suivants:

sens transversal

$$I_x = 35,359 \text{ m}^4$$

$$S_r = 10,3 \text{ m}^2$$

$$[e_{38}] = \begin{bmatrix} 7,635 \cdot 10^{-3} \\ 2,772 \cdot 10^{-2} \\ 0,059 \\ 0,1005 \\ 0,1508 \\ 0,2088 \\ 0,2735 \\ 0,3437 \\ 0,4184 \\ 0,4964 \\ 0,5776 \\ 0,6605 \\ 0,7446 \\ 0,8295 \\ 0,9147 \\ 1 \end{bmatrix}$$

$$T = 1,35 \text{ s}$$

sens longitudinal

$$[e_{38}] = \begin{bmatrix} 8,773 \cdot 10^{-3} \\ 0,0298 \\ 6,2 \cdot 10^{-2} \\ 0,104 \\ 0,154 \\ 0,213 \\ 0,278 \\ 0,348 \\ 0,423 \\ 0,501 \\ 0,581 \\ 0,664 \\ 0,747 \\ 0,831 \\ 0,915 \\ 1 \end{bmatrix}$$

$$T = 0,936 \text{ s}$$

### B) Exposé de la méthode de Stodola

On est amené dans notre cas à calculer les trois premiers modes de vibration. Pour chaque mode, on évalue les pseudo-périodes, puis les efforts dans la structure; on effectue ensuite une superposition quadratique des efforts.

Pour la détermination des 3 premiers modes on utilisera la méthode de Stodola qui repose sur un calcul itératif qui permet d'améliorer peu à peu la solution. La méthode consiste à faire une hypothèse initiale sur l'allure du mode, cette hypothèse étant améliorée grâce à des itérations.

## Détermination du mode fondamental

La méthode est fondée sur l'équation  $\left[\frac{1}{\omega^2} I - f.m\right] v = 0$  que l'on peut écrire

$$\frac{1}{\omega^2} v = f.m v \quad (1)$$

$f$ : matrice de souplesse [notée précédemment  $S_{ij}$ ] =  $k^{-1}$  avec  $k$  matrice de rigidité

$m$ : matrice masse

$\omega$ : pulsation propre

$v$ : vecteur propre

$$m = \begin{bmatrix} m_1 & 0 & \dots & 0 \\ 0 & m_2 & & \\ 0 & & m_3 & \\ \vdots & & & \ddots \\ 0 & \dots & 0 & m_n \end{bmatrix}$$

Le produit matriciel  $f.m$  caractérise les propriétés dynamiques de la structure et on la note  $D$

$$D = f.m$$

$$\text{D'où } \frac{1}{\omega^2} v = D.v \quad (2)$$

Cette dernière équation ne sera satisfaite que par les vecteurs qui représentent un mode de vibration vrai. On commence par se donner un vecteur initial  $v_i^{(0)}$  dont l'amplitude est arbitraire. L'indice (1) caractérise le premier mode, l'indice (0) indique qu'il s'agit de l'hypothèse initiale. Si on introduit ce vecteur dans le second membre de l'équation (2), une nouvelle déformée sera obtenue  $\frac{1}{\omega^2} v_i^{(1)} = D v_i^{(0)}$

En général la nouvelle déformée différera de l'hypothèse initiale, sauf s'il s'agit du mode vrai. On lui attribue l'indice supérieur (1)

### Procédé itératif

1. On calcule les éléments de la matrice  $D: [D] = [S_{ij}] \cdot [m]$
2. On se donne un vecteur initial  $v_i^{(0)}$  (vecteur colonne dont tous les éléments sont égaux à 1)
3. On calcule  $[\tilde{v}_i^{(1)}] = [D][v_i^{(0)}] \Rightarrow [v_i^{(1)}] = [\tilde{v}_i^{(1)}] / \tilde{v}_{in}^{(1)}$

$$\tilde{v}_{in}^{(1)}: \text{ le plus grand élément du vecteur } [\tilde{v}_i^{(1)}]$$

$$4. [\tilde{v}_i^{(2)}] = [D] \cdot [v_i^{(1)}] \Rightarrow [v_i^{(2)}] = [\tilde{v}_i^{(2)}] / \tilde{v}_{in}^{(2)}$$

$$5. \text{ On arrête les itérations lorsque } [v_i^{(k)}] \approx [v_i^{(k-1)}]$$

### Détermination du second mode

Pour la détermination du second mode, on considère une déformée qui ne contienne aucune composante du 1<sup>er</sup> mode.

les vecteurs modaux  $\phi_j$  possèdent les propriétés suivantes:

$$1. \phi_j^T \cdot K \cdot \phi_I = 0 \text{ si } I \neq j$$

$M$ : matrice masse

$$2. \phi_j^T \cdot M \cdot \phi_I = 0 \text{ si } I \neq j$$

$K$ : matrice de rigidité

En utilisant la propriété 2, nous obtenons les résultats suivants:

Le déplacement  $v$  est égal à  $V = \Phi Y$   $\left\{ \begin{array}{l} \Phi: \text{vecteur modal} \\ Y: \text{amplitude modale} \end{array} \right.$

$V = \phi_1 y_1 + \phi_2 y_2 + \dots + \phi_n y_n$  si on multiplie  $V$  par  $[\phi_n^T] \cdot [m]$ , on obtient:  $y_n = \frac{\phi_n^T m v}{\phi_n^T m \phi_n}$   
avec  $\phi_n^T$ : transposé du vecteur modal  $\phi_n$

Si on veut éliminer les composantes du 1<sup>er</sup> mode, on procède de la façon suivante:

On suppose que  $V_2^{(0)} = \phi Y^{(0)}$   
 $\phi Y^{(0)} = \sum_{n=1}^n \phi_n y_n^{(0)} \Rightarrow \phi_1^T m V_2^{(0)} = \phi_1^T m \phi_1 y_1^{(0)} + \dots$  (propriété 2)  $\Rightarrow y_1^{(0)} = \frac{\phi_1^T m V_2^{(0)}}{\phi_1^T m \phi_1}$

Il faut donc éliminer cette composante  $y_1^{(0)}$  de la déformée initiale

$$V_2^{(0)} \text{ épuré} = V_2^{(0)} - \phi_1 y_1^{(0)} \Rightarrow V_2^{(0)} \text{ épuré} = \left[ I - \frac{1}{M_1} \phi_1 \phi_1^T m \right] V_2^{(0)} = S_1 V_2^{(0)}$$

$I$ : matrice identité

$M_1 = \phi_1^T m \phi_1$

$S_1$ : appelée matrice de balayage  $S_1 = I - \frac{1}{M_1} \phi_1 \phi_1^T m$

La méthode de Stodola peut être formulée:  $\frac{1}{\omega_2^2} V_2^{(1)} = D S_1 V_2^{(0)}$

On posera  $D_2 = D S_1$

Pour la détermination du second mode, on utilisera le même procédé itératif que celui utilisé pour le 1<sup>er</sup> mode avec cette fois-ci la nouvelle matrice dynamique  $D_2$

Application au 3<sup>e</sup> mode

On a  $\frac{1}{\omega_3^2} V_3^{(1)} = D S_2 V_3^{(0)}$  avec  $\left\{ \begin{array}{l} S_2 = S_1 - \frac{1}{M_2} \phi_2 \phi_2^T m \\ M_2 = \phi_2^T m \phi_2 \end{array} \right.$

On posera  $D_3 = D S_2$

Remarques:

- En général, les coordonnées du  $n^{\text{ième}}$  vecteur modal auront un chiffre significatif de moins que les coordonnées du  $(n-1)^{\text{ième}}$  vecteur modal.

De cette remarque on voit bien que le procédé est limité, son utilisation n'est possible que pour le calcul de quatre ou cinq modes au maximum

- Pour le calcul des modes propres de vibrations de la structure, on suppose celle-ci non amortie

L'équation du mouvement d'un tel système est donné par  $M \ddot{U} + K U = 0$



Une solution particulière est donnée par  $u = a D \sin(\omega t + \theta)$   $a, \omega, \theta$  sont des constantes  
 $D$  : vecteur constant  $U$  : vecteur déplacement

$$\ddot{u} = -\omega^2 u$$

L'équation du mouvement devient :  $(- \omega^2 M D + K D) a \sin(\omega t + \theta) = 0$

$M$  : matrice masse  $K$  : matrice de rigidité

cette relation doit être vérifiée quelque soit  $t$  d'où  $(K - M\omega^2) D = 0$

En multipliant par  $\frac{1}{\omega^2} F$ , l'équation devient  $(\frac{1}{\omega^2} F - FM) D = 0$  : on retrouve l'équation (1)

- Pour la détermination des caractéristiques d'un mode de vibration, on introduira deux coefficients :

- coefficient de participation des modes 
$$\eta = \frac{[\sum M_k x_{ki}]^2}{\sum M_k [\sum M_k x_{ki}^2]}$$

$M_k$  : masse au niveau  $k$

$x_{ki}$  : amplitude de la déformée au niveau  $k$  pour le mode  $i$

On admet que lorsque la somme des coefficients de participation des  $j$  premiers modes dépasse 80%, il y a lieu de ne pas tenir compte dans l'étude sismique des modes suivants

- coefficient de contribution :  $\Gamma_{ik}$ , coefficient de forme du  $i^e$  mode. IP peut être considéré comme un coefficient de répartition de la charge sismique sur la construction

$$\Gamma_{ik} = \Gamma_i \cdot x_{ki}$$

$$\Gamma_i = \frac{\sum M_k \cdot x_{ki}}{\sum M_k x_{ki}^2}$$

- Pour l'évaluation des forces sismiques de calcul, on tiendra compte des résultats donnés par la méthode de Stodola. Ceux-ci ont été obtenus grâce au programme que nous vous présentons ci-après.

### Remarques

Ce programme peut être utilisé dans le cas de bâtiments à hauteur d'étage constantes, à inertie par étage constante. IP donne les caractéristiques des 3 premiers modes de vibration (déformée, période, coefficients de participation et contribution) ainsi que les forces sismiques à chaque niveau

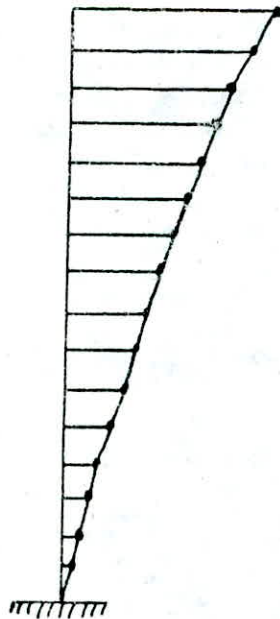
### Participation des modes

Dans notre cas, la participation des 2 premiers modes est supérieure à 80% dans les deux sens; nous ne tiendrons compte que des deux premiers modes de vibrations de la structure dans l'étude sismique exposée au paragraphe qui suit

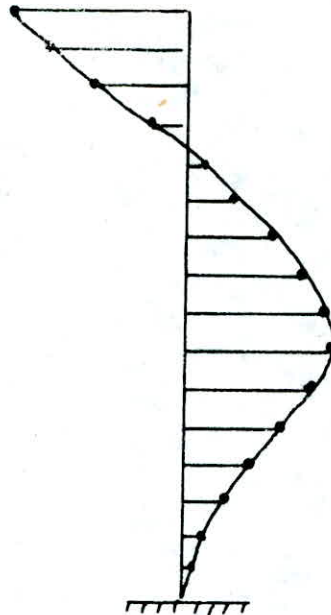
séisme x-x :  $\eta_1 = 60,7\%$   $\eta_2 = 21,65\%$   $\eta_3 = 7,62\%$

séisme y-y :  $\eta_1 = 61,17\%$   $\eta_2 = 22,36\%$   $\eta_3 = 7,71\%$

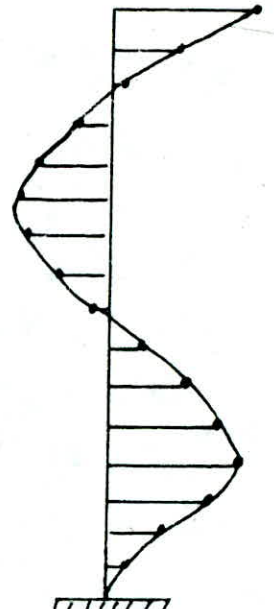
## Déformées des 3 premiers modes



mode 1



mode 2



mode 3

Les résultats finaux ; vecteurs propres, périodes, coefficients de contribution sont présentés à la page suivante.

```

DETERMINATION DES PERIODES ET FORMES PROPRES DE VIBRATIONS D'UNE STRUCTURE M
DE DE STODOLA .DETERMINATION DES FORCES SISMIQUES A CHAQUE NIVEAU"
INPUT"NCMBRE DE DEGRES DE LIBERTE N=";N
DIM MO(N,50),S(N,50),SO(N,N),ID(N,N),MA(N,N),M(N),DY(N,N),SI(N,N,5),X(N,N),X
N),H(N,N),HE(N,N),DM(N,N),XP(5,N),F(N,N),FO(N)
INPUT"MODULE DE YOUNG en Kg/m2 EY=";EY
INPUT"HAUTEUR D'ETAGE en m HE=";HE
INPUT"INERTIE D'ETAGE en m4 IN=";IN
INPUT"SECTION REDUITE DES VOILES en m2 SR=";SR
CLS:PRINT"INTRODUIRE LES MASSES CONCENTREES A CHAQUE PLANCHER"
PRINT
FOR I=1 TO N:PRINT"M(";I;")=";:INPUT M(I):NEXT
FOR I=1 TO N:FOR J=1 TO N:IF I=J THEN 120
ID(I,J)=0:MA(I,J)=0:GOTO 130
MA(I,J)=M(I):ID(I,J)=1
NEXT: NEXT
C=(HE^3)/(6*EY*IN*9.81):KI=(2.3*HE)/(EY*9.81*SR)
FOR I=1 TO N:FOR J=1 TO N:SO(I,J)=(C*I^2*(3*J-I))+I*KI):NEXT: NEXT
FOR I=2 TO N:FOR J=1 TO (I-1):SO(I,J)=SO(J,I):NEXT: NEXT
FOR I=1 TO N:FOR J=1 TO N:W=0:FOR K=1 TO N:W=W+SO(I,K)*MA(K,J):NEXTK
DY(I,J)=W:NEXT: NEXT
FF=0
0 FOR K=1 TO 49:IF K>1 THEN 220
0 FOR I=1 TO N:S(I,K)=1:NEXTI
0 FOR I=1 TO N:G=0:FOR J=1 TO N:G=G+DY(I,J)*S(J,K):NEXTJ
0 MO(I,K)=G:NEXTI
0 FOR I=1 TO N:FOR J=I+1 TO N:IF(ABS(MO(I,K))<ABS(MO(J,K)))THEN 260
0 NEXT J:MAK=ABS(MO(I,K)):GOTO 270
0 NEXT I
0 FOR I=1 TO N:H=K+1:S(I,H)=MO(I,K)/MAK:NEXTI
0 FOR I=1 TO N:IF ABS(S(I,H)-S(I,K))>0.001 THEN 300
0 NEXT I:GOTO 310
0 NEXT K
0 GOSUB 450
0 FF=FF+1:IF FF>2 THEN 440
0 IF FF=2 THEN 350
0 GOTO 360
0 FOR I=1 TO N:FOR J=1 TO N:ID(I,J)=SI(I,J,FF-1):NEXT : NEXT
0 FOR I=1 TO N:X(I,1)=S(I,H):XT(I,1)=X(I,1):NEXTI
0 FOR I=1 TO N:S=0:FOR J=1 TO N:S=S+XT(I,J)*MA(J,1):NEXTJ:H(I,1)=S:NEXTI
0 D=0:FOR I=1 TO N:D=D+H(I,1)*X(I,1):NEXTI:FOR I=1 TO N:FOR J=1 TO N:HE(J,1)=
1)*XT(I,1):NEXT: NEXT
0 FOR I=1 TO N:FOR J=1 TO N:S=0:FOR K=1 TO N:S=S+HE(I,K)*MA(K,J):NEXTK
0 SI(I,J,FF)=-S/D+ID(I,J):NEXT: NEXT
0 FOR I=1 TO N:FOR J=1 TO N:S=0:FOR K=1 TO N:S=S+DY(I,K)*SI(K,J,FF):NEXT K:DM
0)=S:NEXT: NEXT:FOR I=1 TO N:FOR J=1 TO N:DY(I,J)=DM(I,J):NEXT: NEXT
GOTO 200
GOTO 570
PRINT"MODE";FF+1
PRINT
PRINT" VECTEUR PROPRE"
PRINT
FOR I=1 TO N:XP(FF+1,I)=S(I,H):PRINTXP(FF+1,I):NEXT I
SA=0:SB=0:SC=0:FOR I=1 TO N

```

VECTEURS PROPRES ET DEFORMEES  
 \*\*\*\*\*

SENS TRANSVERSAL Y-Y

```
*****
* NIVEAU * MODE 1 * MODE 2 * MODE 3 *
*****
* 1 * 0.00763504 * 0.0772143 * 0.171815 *
* 2 * 0.02772840 * 0.2290300 * 0.431080 *
* 3 * 0.05908420 * 0.4214990 * 0.671100 *
* 4 * 0.10051100 * 0.6220880 * 0.806235 *
* 5 * 0.15083000 * 0.8011720 * 0.786016 *
* 6 * 0.20888100 * 0.9335870 * 0.603163 *
* 7 * 0.27354000 * 1 * 0.292851 *
* 8 * 0.34372400 * 0.9879240 * -0.077092 *
* 9 * 0.41841700 * 0.8925450 * -0.423219 *
* 10 * 0.49667300 * 0.7158580 * -0.667691 *
* 11 * 0.57762500 * 0.4653470 * -0.752846 *
* 12 * 0.66050000 * 0.1531690 * -0.653052 *
* 13 * 0.74464100 * -0.2054020 * -0.379392 *
* 14 * 0.82952800 * -0.5941870 * 0.024717 *
* 15 * 0.91474400 * -0.9980170 * 0.503417 *
* 16 * 1 * -1.4045900 * 1 *
*****
PERIODES: * T1=1.35084 s * T2=0.24059 s * T3=0.0924 s *
*****
C. CONTRIBUT * C1=1.594 * C2=0.634 * C3=0.479 *
*****
```

REMARQUE: le niveau 16 correspond a la terrasse.

+ VECTEURS PROPRES ET DEFORMEES  
 \*\*\*\*\*

SENS LONGITUDINAL X-X

```
*****
* NIVEAU * MODE 1 * MODE 2 * MODE 3 *
*****
* 1 * 0.00877300 * 0.1001860 * 0.228697 *
* 2 * 0.02983770 * 0.2637700 * 0.506916 *
* 3 * 0.06200000 * 0.4590210 * 0.736677 *
* 4 * 0.10409000 * 0.6555140 * 0.842463 *
* 5 * 0.15491600 * 0.8256830 * 0.784887 *
* 6 * 0.21332600 * 0.9463420 * 0.567299 *
* 7 * 0.27819500 * 1 * 0.233371 *
* 8 * 0.34844000 * 0.9757970 * -0.144039 *
* 9 * 0.42304800 * 0.8706320 * -0.480971 *
* 10 * 0.50107700 * 0.6878340 * -0.704033 *
* 11 * 0.58165700 * 0.4355380 * -0.761690 *
* 12 * 0.66401100 * 0.1262750 * -0.635183 *
* 13 * 0.74748000 * -0.2244830 * -0.342399 *
* 14 * 0.83156200 * -0.6006720 * 0.066703 *
* 15 * 0.91583400 * -0.9872210 * 0.533881 *
* 16 * 1 * -1.3716100 * 1 *
*****
PERIODES: * T1=0.935997 s * T2=0.174738 s * T3=0.070825 s
*****
C. CONTRIBUT * C1=1.593 * C2=0.645 * C3=0.468
*****
```

```

510 SA=SA+M(I)*S(I,H):SB=SB+M(I):SC=SC+M(I)*S(I,H)^2:NEXTI
520 CON(FF+1)=SA/SC:PRINT"FACTEUR DE CONTRIBUTION=";SA/SC
530 CP(FF+1)=SA^2/(SB*SC):PRINT"COEFFICIENT DE PARTICIPATION=";SA^2/(SB*SC)
540 AX=S(N,H)/MO(N,K):T(FF+1)=6.28318/SQR(AX)
550 PRINT"PERIODE=";6.28318/SQR(AX)
560 RETURN
565 PRINT
570 INPUT"COEFFICIENT D'ACC DES ZONES A=";A
580 INPUT"FACTEUR DE COMPORTEMENT DE LA STRUCTURE B=";B
590 INPUT"FACTEUR DE QUALITE Q=";Q
600 S=0:FOR K=1 TO 3:S=S+CP(K)*100:IF S<=80 THEN 620
610 H=K:GOTO 630
620 NEXT K
621 PRINT"ON DOIT CALCULER LES MODES SUPERIEURS":END
630 FOR I=1 TO H:D(I)=2*SQR(0.3/T(I)):IF D(I)<=2 THEN 650
640 D(I)=2
650 CF(I)=A*B*D(I)*Q*CON(I)
660 FOR J=1 TO N:F(I,J)=CF(I)*M(J)*XP(I,J):NEXT: NEXT
662 PRINT
663 PRINT"DISTRIBUTION EN HAUTEUR DES FORCES SISMIQUES"
664 PRINT
665 SA=0:FOR J=1 TO N:S=0:FOR I=1 TO H:S=S+F(I,J)^2:NEXTI
670 FO(J)=SQR(S):PRINT FO(J):SA=SA+FO(J):NEXTJ
690 PRINT"EFFORT TRANCHANT A LA BASE=";SA
700 END

```

CHAP V

ETUDE SISMIQUE

## ETUDE SISMIQUE

Dans notre étude sismique, la méthode statique exposée dans le RPA 81 n'est pas applicable, car les conditions d'application de cette méthode ne sont pas vérifiées ( hauteur > 45 m ).

Etant donné que la somme du coefficient de participation du 1<sup>er</sup> Mode avec celui du 2<sup>e</sup> Mode dépasse les 80%, on peut négliger l'effet des Modes supérieurs. Les Forces sismiques de calcul seront déterminées d'après la formule :

$$F_{ik} = A \cdot D_i \cdot B \cdot Q \cdot \Gamma_{ik} \cdot W_k$$

Avec :

$F_{ik}$  : Force sismique de calcul, appliquée au  $k^{\text{ième}}$  niveau de la construction et correspondant au  $i^{\text{ième}}$  mode des vibrations.

A : Coefficient d'accélération des Zones

$D_i$  : Facteur d'amplification dynamique moyen.

B : Facteur de comportement de la structure.

Q : Facteur de Qualité.

$\Gamma_{ik}$  : Coefficient des modes des vibrations  $\Gamma_{ik} = \Gamma_i \cdot X_{ki}$  avec

$\Gamma_i$  : coefficient de contribution

$X_{ki}$  : Vecteur propre correspondant à chaque mode

$i$  : indice correspondant au mode

$k$  : indice indiquant le niveau

La Force sismique résultante à l'étage  $k$  est donnée par la moyenne quadratique :

$$F_k = \sqrt{\sum_i F_{ki}^2}$$

L'ensemble des Forces  $F_k$  représente la charge sismique de calcul dans la direction considérée.

A : coefficient d'accélération des Zones : ce coefficient dépend du groupe d'usage de la structure et de la Zone sismique. Dans notre cas :

( groupe d'usage 2 et Zone sismique II )  $\Rightarrow A = 0,15$

$D_i$  : Facteur d'amplification dynamique moyen :

La valeur de  $D_i$  sera déterminée à partir du spectre de réponse de la zone II et du groupe d'usage de la structure (2) pour un amortissement de 10%.

Seisme X-X	Période $T_i$ (s)	$D_i$	Seisme Y-Y	Période $T_i$ (s)	$D_i$
mode 1	0,935	1,132	mode 1	1,35	0,942
mode 2	0,174	2	mode 2	0,24	2

Dans notre cas, on supposera le sol ferme. Ces valeurs sont tirées du spectre de réponse.

B : Facteur de comportement de la structure : Nous sommes dans le cas où la structure est composée de voiles et portiques. La sollicitation horizontale est reprise uniquement par les voiles, De plus ceux-ci reprennent plus de 20% des sollicitations dues aux charges verticales  $\Rightarrow$  catégorie 5  $\Rightarrow B = 1/3$

Q : Facteur de Qualité :

$$Q = 1 + \sum_{q=1}^6 P_q$$

9 CRITERES	Valeurs $\mu q$
conditions min de files porteurs	0
surabondance en plan	0
symétrie en plan	0
régularité en élévation	0
contrôle qualité des matériaux	0,1
contrôle qualité de la construction	0,1

d'où  $Q = 1,2$

d'où  $F_{ki} = 0,15 \cdot \frac{1}{3} \cdot 1,2 \cdot D_i \cdot \Gamma_i \cdot X_{ki} \cdot W_k = 0,06 D_i \cdot \Gamma_i \cdot X_{ki} \cdot W_k$

Seisme x-x	$\Gamma_i$	$D_i$	$F_{ki}$	Seisme Y-Y	$\Gamma_i$	$D_i$	$F_{ki}$
mode 1	1,593	1,132	0,108 $X_{ki} W_k$	mode 1	1,594	0,942	0,09 $X_{ki} W_k$
mode 2	0,645	2	0,077 $X_{ki} W_k$	mode 2	0,634	2	0,076 $X_{ki} W_k$

Exemple de calcul sens x-x :  $F_k = \sqrt{F_{k1}^2 + F_{k2}^2}$

Niveau 1 :  $W_1 = 470 t$

$X_{11} = 0,00877 \Rightarrow F_{11} = 0,108 \cdot 0,00877 \cdot 470 = 0,445 t$

$X_{12} = 0,1 \Rightarrow F_{12} = 0,077 \cdot 0,1 \cdot 470 = 3,619 t$

$\Rightarrow F_1 = \sqrt{0,445^2 + 3,619^2} \Rightarrow F_1 = 3,646 t$

Les autres Forces sont calculées de la même manière, des résultats sont réunis dans le tableau suivant :  
Les calculs sont faits par ordinateur.

TABLEAU DONNANT LES FORCES SISMQUES A CHAQUE NIVEAU  
\*\*\*\*\*

SENS LONGITUDINAL X-X			SENS TRANSVERSAL Y-Y		
* NIVEAUX	* FORCES (t)	*	* NIVEAUX	* FORCES (t)	*
* 1	* 3.646	*	* 1	* 2.776	*
* 2	* 9.637	*	* 2	* 8.263	*
* 3	* 16.906	*	* 3	* 15.243	*
* 4	* 24.285	*	* 4	* 22.616	*
* 5	* 30.876	*	* 5	* 29.271	*
* 6	* 35.902	*	* 6	* 34.383	*
* 7	* 38.843	*	* 7	* 37.540	*
* 8	* 36.971	*	* 8	* 35.736	*
* 9	* 33.244	*	* 9	* 31.787	*
*10	* 31.025	*	*10	* 28.880	*
*11	* 29.162	*	*11	* 25.754	*
*12	* 28.946	*	*12	* 24.211	*
*13	* 27.224	*	*13	* 22.716	*
*14	* 33.310	*	*14	* 28.777	*
*15	* 41.139	*	*15	* 36.924	*
*16	* 43.781	*	*16	* 40.481	*
SOMME:	* 464.897	*	SOMME:	*425.358	*



## DISTRIBUTION DES EFFORTS HORIZONTAUX DANS LES REFENDS :

on va appliquer la méthode exposée dans le livre intitulé : "calcul pratique des ossatures de bâtiment" de MR A. FUENTES. cette méthode concerne la distribution des efforts horizontaux dans les refends en Béton armé. Dans cette méthode on supposera :

- 1- la raideur de torsion de chaque refend est nulle
- 2- l'assemblage de plusieurs refends, formant la cage d'escalier par exemple ne forme pas un ensemble rigide pouvant présenter une raideur à la torsion. Autrement dit, l'étude est menée comme s'il s'agissait de plusieurs refends juxtaposés, sans liaisons.
- 3- Les planchers sont indéformables horizontalement.
- 4- Les refends sont parfaitement encastrés à la base.
- 5- L'inertie des refends est constante sur toute la hauteur ou bien la variation d'inertie suit la même loi pour tous les refends.

### Principe de la méthode :

on s'intéresse au cas général où la résultante des efforts horizontaux extérieurs ne coïncide pas avec le centre de torsion. ce cas peut être traité en ramenant la résultante des efforts au centre de torsion.

### Effet de translation :

La translation ne concerne que les refends parallèles à la direction de l'effort horizontal, car les refends perpendiculaires à la direction de l'effort considéré ont des inerties négligeables dans ce sens d'où :

$$\text{sens } xx : H_{jx}^{(1)} = \frac{F_{jx} \cdot I_y}{\sum I_y} \quad \text{sens } yy : H_{jy}^{(1)} = \frac{F_{jy} \cdot I_x}{\sum I_x}$$

### Effet de rotation :

$$\text{sens } xx : H_{jx}^{(2)} = \frac{F_{jx} \cdot e_y \cdot I_y \cdot dy}{\sum (I_y dy^2) + \sum (I_x dx^2)} \quad \text{sens } yy : H_{jy}^{(2)} = \frac{F_{jy} \cdot e_x \cdot I_x \cdot dx}{\sum (I_y dy^2) + \sum (I_x dx^2)}$$

$F_{jx}$  : effort horizontal agissant à l'étage  $j$  dans le sens  $x-x$

$F_{jy}$  : effort horizontal agissant à l'étage  $j$  dans le sens  $y-y$

$I_y$  : inertie d'un refend longitudinal

$I_x$  : inertie d'un refend transversal

$e_x, e_y$  : excentricités théoriques ou accidentelles.

$dx$  : distance algébrique d'un refend transversal à l'axe  $cy$

$dy$  : distance algébrique d'un refend longitudinal à l'axe  $cx$ .

$C$  : centre de torsion.

$$\text{Superposition des efforts : } \begin{cases} H_{jx} = H_{jx}^{(1)} + H_{jx}^{(2)} \\ H_{jy} = H_{jy}^{(1)} + H_{jy}^{(2)} \end{cases}$$

### Détermination de l'inertie polaire $I_0$ :

$$I_0 = \sum (I_x dx^2) + \sum (I_y dy^2)$$

VOILES	$I_{x_i} (m^4)$	$y_i (m)$	$dy_i (m)$	$dy_i^2 (m^2)$	$I_{x_i} dy_i^2 (m^6)$
Vx1	16,159	0,15	-8,024	64,38	1040,39
Vx2	0,304	4,35	-3,824	14,62	4,44
Vx3	0,304	4,35	-3,824	14,62	4,44
Vx4	18,296	8	-0,174	0,03	0,55
Vx5	40,04	11,55	3,376	11,39	456,35
$\Sigma$					1506,17

$$\left\{ \begin{array}{l} x_{CT} = 11,232 \text{ m} \\ y_{CT} = 8,174 \text{ m} \end{array} \right.$$

voiles	$I_{x_i} (m^4)$	$x_i (m)$	$dx_i (m)$	$dx_i^2 (m^2)$	$I_{x_i} dx_i^2 (m^6)$
Vy1	12,453	5,65	-5,58	31,14	387,9
Vy2	0,745	9,25	-1,982	3,93	2,926
Vy3	0,745	13,35	2,12	4,49	3,34
Vy4	5,377	9,25	-1,98	3,92	21,12
Vy5	3,592	13,35	2,12	4,49	16,11
Vy6	12,453	17,05	5,82	33,87	421,42
$\Sigma$					852,872

$$I_{\theta} = 1506,17 + 852,872 = 2359,042 \text{ m}^6$$

Détermination des efforts horizontaux revenant à chaque voile :

sens x-x

$$H_{jx} = \frac{F_{jx} I_y}{75,103} + \frac{F_{jx} e_y I_y dy}{2359,042}$$

sens y-y

$$H_{jy} = \frac{F_{jy} I_x}{35,359} + \frac{F_{jy} e_x I_x dx}{2359,042}$$

Exemple de calcul :

voile Vy1 niveau 16 :

$$H_{jy} = \frac{I_x}{35,359} \cdot F_{jy} + \frac{F_{jy} \cdot e_x I_x dx}{2359,042}$$

$$= 0,38562 F_{jy} = 15,58 \text{ t}$$

$$dx = -5,58 \text{ m}$$

$$F_{jy} = 40,481 \text{ t}$$

$$e_x = 1,135 \text{ m}$$

$$I_x = 12,453 \text{ m}^4$$

Remarque : L'article 3.3.5 des RPA 81 nous recommande de négliger les efforts tranchants négatifs dus à la torsion

Les résultats sont groupés dans le tableau suivant :

TABLEAU DONNANT LES EFFORTS HORIZONTALS REVENANT A CHAQUE  
VOILE - SENS LONGITUDINAL X-X -en tonnes

```
*****
*NIVEAU *   VX1 *   VX2 *   VX3 *   VX4 *   VX5 *
*****
*  1 *  1.235 *  0.0189 *  0.0189 *  0.896 *  1.943 *
*  2 *  3.305 *  0.0501 *  0.0501 *  2.370 *  5.136 *
*  3 *  5.798 *  0.0879 *  0.0879 *  4.158 *  9.010 *
*  4 *  8.329 *  0.126 *  0.126 *  5.974 *  12.94 *
*  5 *  8.552 *  0.142 *  0.142 *  7.564 *  18.46 *
*  6 *  9.944 *  0.165 *  0.165 *  8.795 *  21.47 *
*  7 *  10.76 *  0.178 *  0.178 *  9.516 *  23.23 *
*  8 *  10.24 *  0.170 *  0.170 *  9.057 *  22.10 *
*  9 *  9.208 *  0.152 *  0.152 *  8.144 *  19.87 *
* 10 *  8.593 *  0.142 *  0.142 *  7.600 *  18.55 *
* 11 *  8.077 *  0.134 *  0.134 *  7.144 *  17.43 *
* 12 *  8.018 *  0.133 *  0.133 *  7.091 *  17.31 *
* 13 *  7.541 *  0.125 *  0.125 *  6.669 *  16.28 *
* 14 *  9.226 *  0.153 *  0.153 *  8.160 *  19.92 *
* 15 *  11.39 *  0.189 *  0.189 *  10.08 *  24.60 *
* 16 *  12.13 *  0.201 *  0.201 *  10.73 *  26.18 *
```

\*\*\*\*\*  
LE NIVEAU 16 CORRESPOND A LA TERRASSE

\*\*\*\*\*  
TABLEAU DONNANT LES EFFORTS HORIZONTALS REVENANT A  
CHAQUE VOILE-SENS TRANSVERSAL Y-Y -en tonnes

```
*****
*NIVEAU*  VY1 *  VY2 *  VY3 *  VY4 *  VY5 *  VY6 *
*****
*  1 *  1.068 *  0.060 *  0.061 *  0.435 *  0.291 *  1.071 *
*  2 *  3.181 *  0.179 *  0.180 *  1.297 *  0.867 *  3.189 *
*  3 *  5.868 *  0.331 *  0.332 *  2.393 *  1.600 *  5.883 *
*  4 *  8.707 *  0.491 *  0.493 *  3.551 *  2.375 *  8.729 *
*  5 *  11.26 *  0.635 *  0.638 *  4.595 *  3.073 *  11.29 *
*  6 *  13.23 *  0.746 *  0.749 *  5.398 *  3.610 *  13.27 *
*  7 *  14.45 *  0.814 *  0.818 *  5.893 *  3.941 *  14.49 *
*  8 *  13.75 *  0.775 *  0.779 *  5.610 *  3.752 *  13.79 *
*  9 *  12.23 *  0.689 *  0.692 *  4.990 *  3.337 *  12.27 *
* 10 *  11.12 *  0.626 *  0.629 *  4.534 *  3.032 *  11.14 *
* 11 *  9.915 *  0.558 *  0.561 *  4.043 *  2.704 *  9.941 *
* 12 *  9.321 *  0.525 *  0.527 *  3.801 *  2.542 *  9.345 *
* 13 *  8.745 *  0.492 *  0.495 *  3.566 *  2.385 *  8.768 *
* 14 *  11.07 *  0.624 *  0.627 *  4.517 *  3.022 *  11.11 *
* 15 *  14.21 *  0.801 *  0.804 *  5.797 *  3.877 *  14.25 *
* 16 *  15.58 *  0.878 *  0.882 *  6.355 *  4.250 *  15.62 *
```

CHAP VI

ETUDE AU VENT

## Action du vent

Etude dans la direction parallèle à celle du vent

La force de trainée  $T$  par unité de longueur est la composante de la force du vent dans la direction parallèle à celle du vent.

$$T = C_t \cdot B \cdot S \cdot q \cdot d$$

Signification des paramètres

-  $C_t$ : coefficient de forme (ou de trainée). Il dépend de l'éclatement de la tour ainsi que de la rugosité de la surface offerte au vent.

$$C_t = C_{t0} \cdot \gamma_0$$

$C_{t0}$ : dépend de la catégorie du bâtiment

$\gamma_0$  est relatif à l'une des façades et est fonction du rapport des dimensions  $b/h$  et  $a/h$

-  $\beta$ : coefficient de majoration dynamique tenant compte de la période d'oscillation de la structure

$$\beta = \theta (1 + 5z) \quad \beta \geq 1$$

$\theta$ : coefficient dépendant de la hauteur de la construction

$\xi$ : coefficient de réponse donné en fonction de la période

$z$ : coefficient de pulsation déterminé à chaque niveau considéré en fonction de la cote  $H$ .

-  $S$ : coefficient de réduction: il est déterminé en fonction de la plus grande dimension (horizontale ou verticale) de la surface offerte au vent et de la cote  $H$  du point le plus haut de cette surface

-  $d$ : largeur du maître couple

-  $q$ : pression du vent  $q = q_H \cdot K_s \cdot K_m$

$K_s$ : coefficient de site

$K_m$ : coefficient de l'effet de masque

$q_H$ : pression dynamique agissant à la hauteur  $H$

$q_{10}$ : pression dynamique de référence (à  $H=10m$ )

$$q_H = q_{10} \cdot 2,5 \cdot \frac{H+18}{H+60}$$

A) sens longitudinal x-x: vent sur la face  $S_b$

$$\begin{cases} a = 22,7m \\ b = 15,45m \end{cases}$$

$$z = 48,96m$$

vent normal à  
la petite face

$$\begin{cases} h_b = B/b = 3,168 \\ h_a = b/a = 0,68 \end{cases} \Rightarrow \gamma_0 = 1,015$$

- coefficient  $C_t$

$$C_{t0} = 1,3 \text{ catégorie 1 d'où } C_t = 1,3195$$

- coefficient  $\beta$

Nous sommes dans le cas où  $30 < H_s < 60m$  d'où  $\theta = 0,7 + 0,01(H_s - 30)$

$$\text{on a } \theta = 0,8896$$

Détermination de  $\xi$ : l'annexe 4.532 des NV65 donne pour un contreventement par voiles en béton armé:

$P_x = 22,7m$  dans notre cas  
 $h$ : hauteur du bâtiment

$$T = 0,08 \frac{h}{\sqrt{P_x}} \sqrt{\frac{h}{P_x + h}}$$

$$T = 0,679s \text{ d'où } \xi = 0,45$$

$$\text{D'où } \begin{cases} \beta = 0,8896 (1 + 0,45 z) \\ \beta \geq 1 \end{cases}$$

- coefficient de réduction  $S$

voir graphe →

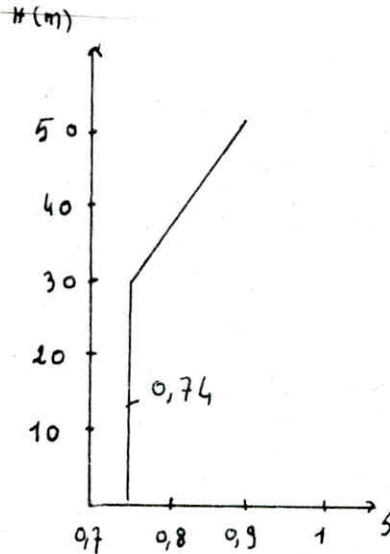
- Détermination de la pression du vent:  $q$

$$q = R_s \cdot R_m \cdot q_{10}^n \cdot 2,5 \frac{H+18}{H+60}$$

$R_s = 1$  région II, site normal

$R_m = 1$  ouvrage non abrité

$q_{10}^n = 70 \text{ daN/m}^2$  région II,  
altitude < 1000 m



D'où  $q = 175 \frac{H+18}{H+60}$

- largeur du maître couple  $d = b = 15,45 \text{ m}$

Cas des surcharges normales

Actions statiques  $T_{sn} = ct. d \cdot 6 q$

Actions dynamiques  $T_{dn} = \beta \cdot T_{sn}$

H (m)	q (daN/m <sup>2</sup> )	S	T <sub>sn</sub> (daN/m)	$\zeta$	$\beta$	T <sub>dn</sub> (daN/m)
48,96	107,5	0,88	1928	0,302	1,01	1948
45	105	0,85	1819	0,3075	1,012	1842
40	101,5	0,8	1655	0,315	1,015	1681
35	97,6	0,77	1532	0,322	1,018	1561
30	93,3	0,74	1407	0,33	1,021	1438
25	88,5	0,74	1335	0,337	1,024	1368
20	83,1	0,74	1253	0,345	1,027	1288
15	77	0,74	1161	0,352	1,03	1196
10	70	0,74	1056	0,36	1,033	1090
5	61,9	0,74	933	0,36	1,033	963
0	52,5	0,74	792	0,36	1,033	818

Cas des surcharges extrêmes

Action statique:  $T_{se} = 1,75 T_{sn}$

Action dynamique:  $T_{de} = \left[0,5 + \frac{\zeta}{2}\right] \cdot \beta \cdot T_{se} = 0,944 \beta \cdot T_{se}$   
 $0,944 \beta \geq 1$

H(m)	48,96	45	40	35	30	25	20	15	10	5	0
T <sub>se</sub> (daN/m)	3374	3183	2896	2681	2462	2336	2193	2032	1848	1633	1386
$\beta$	1,01	1,012	1,015	1,018	1,021	1,024	1,027	1,03	1,033	1,033	1,033
$0,944 \beta$	1	1	1	1	1	1	1	1	1	1	1
T <sub>de</sub> (daN/m)	3374	3183	2896	2681	2462	2336	2193	2032	1848	1633	1386

Sens transversal Y-Y : vent sur la face Sa

Tout calculs faits, on trouve

$$\gamma_0 = 1$$

$$C_t = 1,3$$

$$T = 0,868 d \text{ d'où } \beta = 0,6$$

$$\beta = 0,8896 (1 + 0,6 \gamma)$$

$$d = a = 22,7 \text{ m}$$

Cas des surcharges normales

H(m)	48,96	45	40	35	30	25	20	15	10	5	0
q (daN/m <sup>2</sup> )	107,5	105	101,5	97,6	93,3	88,5	83,1	77	70	61,9	52,5
s	0,88	0,85	0,8	0,77	0,74	0,74	0,74	0,74	0,74	0,74	0,74
T <sub>sn</sub> (daN/m)	2791	2633	2396	2218	2037	1933	1815	1681	1529	1352	1146
z	0,302	0,3075	0,315	0,3225	0,33	0,3375	0,345	0,3525	0,36	0,36	0,36
β	1,05	1,053	1,057	1,061	1,065	1,069	1,073	1,077	1,081	1,081	1,081
T <sub>dn</sub> (daN/m)	2931	2773	2533	2353	2169	2066	1947	1810	1653	1462	1239

Cas des surcharges extrêmes

H(m)	48,96	45	40	35	30	25	20	15	10	5	0
T <sub>se</sub> (daN/m)	4884	4608	4193	3882	3565	3383	3177	2942	2676	2366	2006
β	1,05	1,053	1,057	1,061	1,065	1,069	1,073	1,077	1,081	1,081	1,081
0,944 β	1	1	1	1,001	1,005	1,009	1,013	1,016	1,02	1,02	1,02
T <sub>de</sub> (daN/m)	4884	4608	4193	3886	3583	3413	3218	2989	2730	2413	2046

Etude dans la direction perpendiculaire à celle du vent

De nombreuses observations ont mis en évidence le phénomène de vibration des constructions épancées dans la direction perpendiculaire à celle du vent. Ces vibrations apparaissent pour une vitesse du vent relativement faible. La vitesse du vent correspondant aux vibrations maximales est appelée vitesse critique.

$$V_{cr} = d / (S \cdot T)$$

V<sub>cr</sub> : vitesse critique d : largeur du maître-coupe

T : période de vibration propre de la construction

S : nombre de Strouhal, fonction de la rugosité des surfaces, de la forme de la construction et de la rugosité du fluide.

$$S = 0,25 \div 0,3$$

NV 65 énonce qu'à partir d'une vitesse critique > 25 m/s, il est inutile de faire un calcul à la résonance

- sens longitudinal x-x on prendra  $S = 0,25$

$$V_{cr} = 15,45 / (0,25 \cdot 0,679) \Rightarrow V_{cr} = 91 \text{ ms}^{-1} > 25 \text{ ms}^{-1}$$

- sens transversal y-y

$$V_{cr} = 22,7 / (0,25 \cdot 0,868) \Rightarrow V_{cr} = 104,6 \text{ ms}^{-1} > 25 \text{ ms}^{-1}$$

Il est inutile de faire un calcul à la résonance, et ceci dans les 2 sens.

### Calcul des efforts tranchants à la base

On a vu que dans notre cas, on ne tiendra pas compte de la force de dérive. Ainsi l'effort tranchant à la base se calculera à partir du diagramme de  $T_{de}$ . Celui-ci (en fonction de la hauteur  $h$ ) peut être remplacé par approximation par un diagramme trapézoïdal sensiblement équivalent

sens longitudinal x-x

$$V = 1,413 \cdot 48,96 + \frac{1}{2} [3,439 - 1,413] \cdot 48,96$$

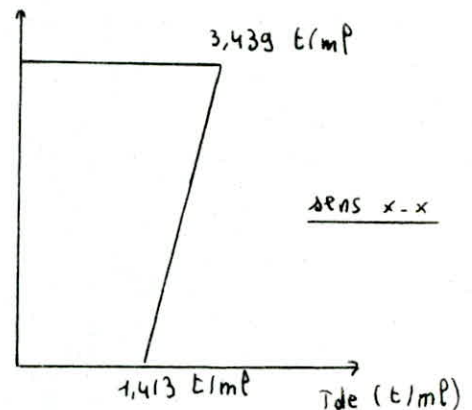
$$V = 118,77 \text{ t}$$

sens transversal y-y

$$V = 2,086 \cdot 48,96 + \frac{1}{2} [4,981 - 2,086] \cdot 48,96$$

$$V = 173 \text{ t}$$

H(m)



### Conclusion

Si on compare l'effort tranchant à la base engendré par l'effet du vent et celui engendré par le séisme, on voit que le premier est très inférieur au 2<sup>e</sup>. On ne tiendra donc pas compte de l'effet du vent dans la suite de notre étude



---

CHAP VII

ETUDE DES VOILES  
SOUS CHARGES  
HORIZONTALES

# ETUDE DES VOILES SOUS CHARGES HORIZONTALES

## 1. VOILES PLEINS :

La détermination des efforts internes dans les voiles pleins ne pose pratiquement aucun problème. Ils seront assimilés à une console encastrée à sa base et soumise aux charges concentrées appliquées au niveau de chaque plancher.

Les calculs seront exposés de la façon suivante :

L'effort tranchant sera obtenu comme suit :

$$T_{16} = F_{16}$$

$$T_{15} = T_{16} + F_{15}$$

$$T_{14} = T_{15} + F_{14}$$

⋮

$$T_1 = T_2 + F_1$$

avec  $T_i$  : effort tranchant au niveau  $\langle i \rangle$

$F_i$  : Force Horizontale au niveau  $\langle i \rangle$

Le Moment Fléchissant sera obtenu comme suit :

$$M_{16} = 0$$

$$M_{15} = h \cdot F_{16} = h \cdot T_{16}$$

$$M_{14} = M_{15} + T_{15} \cdot h$$

$$M_{13} = M_{14} + T_{14} \cdot h$$

⋮

$$M_1 = M_2 + T_2 \cdot h$$

$$M_0 = M_1 + T_1 \cdot h$$

avec  $M_i$  : moment fléchissant au plancher  $\langle i \rangle$

$h$  : hauteur d'étage

$$h = 3.06 \text{ m}$$

Les résultats sont donnés sous forme de Listings

## 2. VOILES AVEC OUVERTURES :

On se propose d'utiliser dans ce cas la méthode proposée par M<sup>r</sup> A. Fuentes pour déterminer les sollicitations (réf: « calcul pratique des ossatures de bâtiment en béton armé »)

Dans les voiles à ouvertures, il faut distinguer les trumeaux (montants) ayant un comportement semblable à celui des voiles pleins et les linteaux ayant un comportement semblable à celui des poutres courtes, donc soumis à l'action prépondérante de l'effort tranchant. Ceux-ci ont tendance à diviser le linteau en 2 consoles

Les hypothèses de la méthode sont :

- les refends ont une inertie constante sur toute la hauteur du bâtiment ( $e = 30 \text{ cm}$ )

- les refends sont tous parfaitement encastrés à la base.

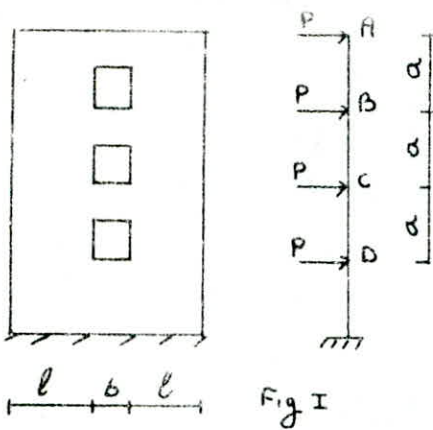
- les refends doivent avoir un même déplacement à chaque niveau lorsqu'ils sont sollicités par des efforts horizontaux, ce qui entraîne l'égalité des rotations à ce niveau.

- le point d'inflexion dans le linteau se situe au milieu de celui-ci.

Nous prendrons d'abord le cas d'1 refend à une seule file d'ouvertures, nous généraliserons par la suite pour un refend à plusieurs files d'ouvertures.

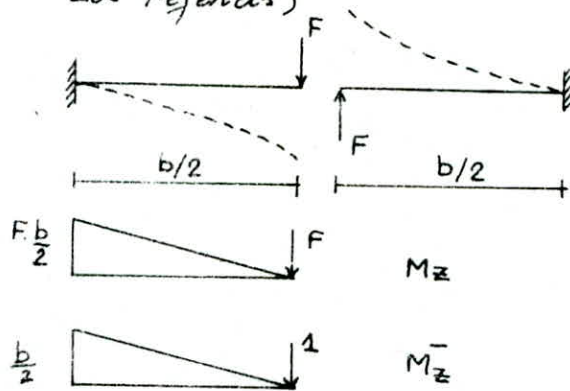
Soit  $I$  : inertie du linteau

$I'$  : inertie de chaque demi-refend.



Deux efforts  $F$  égaux et opposés sont créés en  $O$  milieu du linteau après que celui-ci ait subi la déformation due à la rotation  $\gamma'$  des trumeaux

Calculons la flèche  $\Delta H$  du linteau au point  $O$  sous l'effort  $F$ :  
(Il faut noter que les linteaux sont encastres dans les refends)



$$EI \frac{\Delta H}{2} = \frac{1}{2} \left( \frac{Fb}{2} \cdot \frac{b}{2} \right) \cdot \frac{2}{3} \frac{b}{2} \Rightarrow F = \frac{12 EI \Delta H}{b^3}$$

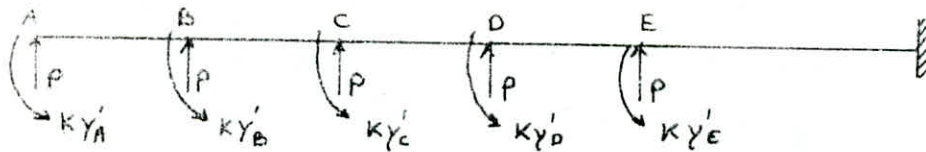
De la Fig II on peut exprimer  $\Delta H$  en fonction de  $\gamma'$

$$\gamma' = \frac{\Delta H}{2 \left( \frac{l}{2} \right) + b} \quad \text{d'où} \quad \Delta H = (l+b) \gamma' \quad \text{d'où} \quad F = \frac{12 EI (l+b) \gamma'}{b^3}$$

Le moment par rapport à la fibre neutre des demi-refends est:  $M = F \cdot (b+l)/2$

D'où  $M = \frac{6 EI (l+b)^2 \gamma'}{b^3} = K \gamma'$  avec  $K = \frac{6 EI (l+b)^2}{b^3}$   
C'est le moment dû au linteau avec  $\gamma'$ : rotation au niveau considéré

De ce qui précède, on peut schématiser le système de forces s'exerçant sur le refend.  
Soit  $I$ : inertie du refend  $a$ : hauteur d'étage.

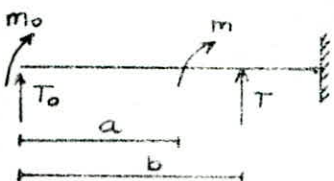


$$\text{Ainsi } M_B = P \cdot a - K \gamma'_A \quad M_C = P \cdot 2a + Pa - K(\gamma'_A + \gamma'_B)$$

on obtient donc la formule de récurrence, en partant du sommet:

$$M_n = M_{n-1} + T_{n-1} \cdot a - K(\gamma'_1 + \gamma'_2 + \dots + \gamma'_{n-1})$$

Pour calculer les rotations, utilisons l'équation universelle:



$$EI \theta(x) = - \left[ m_0 x + \frac{T_0 x^2}{2} + \begin{cases} m(x-a) & x > a \\ \frac{P(x-b)^2}{2} & x > b \end{cases} \right] + EI \theta_0$$

Soit  $I$ : l'inertie du trumeau  $\theta_0 = \gamma'_A$  dans notre cas  
pour  $x = a$   $EI \gamma'_B = - \left[ -K \gamma'_A \cdot a + \frac{Pa^2}{2} \right] + EI \gamma'_A$

$$\Rightarrow \gamma'_B = \frac{1}{EI} K \gamma'_A - \frac{1}{EI} \frac{Pa^2}{2} + \gamma'_A \quad \text{d'où} \quad \gamma'_A = \gamma'_B + \frac{1}{EI} \frac{Pa^2}{2} - \frac{1}{EI} K \gamma'_A$$

Pour  $x = 2a$  :  $EIY'_c = - \left[ -K\gamma'_A \cdot 2a + \frac{P(2a)^2}{2} - K\gamma'_B \cdot a + \frac{Pa^2}{2} \right] + EI\gamma'_A$

$$EIY'_c = 2aK\gamma'_A - 4a^2\frac{P}{2} + K\gamma'_B \cdot a - \frac{Pa^2}{2} + EI\gamma'_B + \frac{Pa^2}{2} - K\gamma'_A \cdot a$$

$$\gamma'_c = K a (\gamma'_A + \gamma'_B) \cdot \frac{1}{EI} + \gamma'_B - 4a^2 \frac{P}{2} \cdot \frac{1}{EI} \text{ que l'on peut écrire}$$

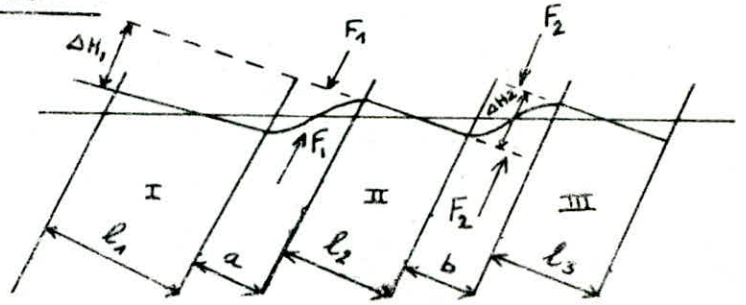
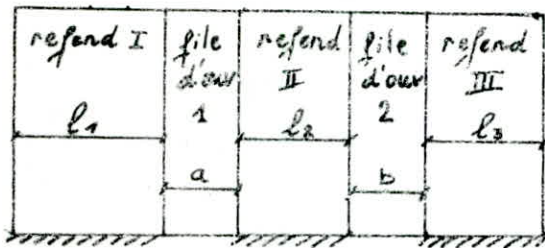
$$\gamma'_B = \gamma'_c + \frac{2P a^2}{2EI} + Pa \frac{a}{EI} - K (\gamma'_A + \gamma'_B) \frac{a}{EI}$$

d'où la formule de récurrence (en partant du sommet) :

$$\gamma'_{n-1} = \gamma'_n + \text{moment de console en } n-1 \cdot \frac{a}{EI} + \text{effort tranchant en } n-1 \cdot \frac{a^2}{2EI} - K (\gamma'_n + \dots + \gamma'_{n-1}) \cdot \frac{a}{EI}$$

$$\gamma'_{n-1} = \gamma'_n + \frac{M_{n-1} \cdot a}{EI} + \frac{T_{n-1} \cdot a^2}{2EI} - m_{n-1} \cdot \frac{a}{EI} \text{ avec } m_{n-1} = K (\gamma'_n + \gamma'_2 + \dots + \gamma'_{n-1})$$

Cas de refends à plusieurs files d'ouvertures :



comme précédemment, on obtient :  $F_1 = (12EI \Delta H_1) / a^3$  ;  $F_2 = (12EI \Delta H_2) / b^3$

$$\gamma' = \frac{\Delta H_1}{\left(\frac{l_1}{2} + a + \frac{l_2}{2}\right)} \Rightarrow \Delta H_1 = (l_1 + 2a + l_2) \cdot \gamma' / 2$$

$$\gamma' = \frac{\Delta H_2}{\left(\frac{l_2}{2} + b + \frac{l_3}{2}\right)} \Rightarrow \Delta H_2 = (l_2 + 2b + l_3) \cdot \gamma' / 2$$

d'où  $F_1 = 6EI (l_1 + 2a + l_2) \gamma' / a^3$  et  $F_2 = 6EI (l_2 + 2b + l_3) \gamma' / b^3$

Les moments de connexion sont donc :

refend I :  $M_1 = F_1 (a + l_1) / 2 \Rightarrow M_1 = \frac{3EI}{a^3} (l_1 + 2a + l_2) \cdot \gamma' (a + l_1)$

refend II :  $M_2 = F_1 (a + l_2) / 2 + F_2 (b + l_2) / 2$   
 $M_2 = \frac{6EI}{2a^3} (l_1 + 2a + l_2) \gamma' (a + l_2) + \frac{6EI}{2b^3} (l_2 + 2b + l_3) \gamma' (b + l_2)$

refend III :  $M_3 = F_2 (b + l_3) / 2 \Rightarrow M_3 = \frac{6EI}{2b^3} (l_2 + 2b + l_3) \gamma' (b + l_3)$

on pose :  $K_1 = 3EI (l_1 + 2a + l_2) (a + l_1) \cdot [1/a^3]$

$$K'_1 = 3EI (l_1 + 2a + l_2) (a + l_2) \cdot / a^3$$

$$K_2 = 3EI (l_2 + 2b + l_3) (b + l_2) / b^3$$

$$K'_2 = 3EI (l_2 + 2b + l_3) (b + l_3) / b^3$$

En partant du Sommet (l'indice 1 indique le niveau terrasse), on obtient des formules de récurrence suivantes :

$$M_{nc} = M_{n-1} + T_{n-1} \cdot h - (\sum K' + \sum K) (y'_1 + y'_2 + \dots + y'_{n-1}) \quad (1)$$

$$y'_{n-1} = y'_n + M_{n-1} \frac{h}{\sum EI} + T_{n-1} \frac{h^2}{2 \sum EI} - (\sum K + \sum K') (y'_1 + y'_2 + \dots + y'_{n-1}) \frac{h}{\sum EI} \quad (2)$$

avec :

$M_{n-1}$  : moment de console en  $n-1$  sous effort extérieur total

$T_{n-1}$  : effort tranchant en  $n-1$  sous effort extérieur total

$h$  : hauteur d'étage

$M_{nc}$  : moment corrigé au niveau  $n$

$E$  : module d'élasticité du matériau

$y'_n$  : rotation au niveau  $n$

constituant les trumeaux et les linteaux

$i$  : inertie du linteau

$\sum I$  : Inertie totale des trumeaux constituant le voile.

$$\text{on pose : } \begin{cases} F_{n-1} = M_{n-1} \frac{h}{\sum EI} + T_{n-1} \frac{h^2}{2 \sum EI} \\ \alpha = (\sum K + \sum K') \frac{h}{\sum EI} \end{cases}$$

l'équation (2) devient :  $\alpha (y'_1 + y'_2 + \dots + y'_{n-1}) + y'_{n-1} - y'_n = F_{n-1}$  d'où

$$\alpha (y'_1 + y'_2 + \dots + y'_{n-2}) + (1 + \alpha) y'_{n-1} - y'_n = F_{n-1}$$

Cette formule représente un système d'équations linéaires ayant comme inconnues les rotations  $y'$ . La résolution du système est basée sur le fait que la rotation à la base est nulle.

$$n-1=1 \quad (2) \text{ devient : } (1 + \alpha) y'_1 - y'_2 = F_1$$

$$n-1=2 \quad (2) \text{ devient : } \alpha y'_1 + (1 + \alpha) y'_2 - y'_3 = F_2$$

$$n-1=3 \quad (2) \text{ devient : } \alpha (y'_1 + y'_2) + (1 + \alpha) y'_3 - y'_4 = F_3$$

Ce qui donne le système suivant :

$$\begin{bmatrix} 1+\alpha & -1 & 0 & 0 & 0 & \dots & 0 \\ \alpha & 1+\alpha & -1 & 0 & 0 & \dots & 0 \\ \alpha & \alpha & 1+\alpha & -1 & 0 & \dots & 0 \\ \vdots & \vdots & \vdots & \vdots & \vdots & \ddots & \vdots \\ \alpha & \alpha & \dots & \alpha & -1 & \dots & 0 \\ \alpha & \alpha & \dots & \alpha & \dots & 1+\alpha & \end{bmatrix} \begin{bmatrix} y'_1 \\ y'_2 \\ y'_3 \\ \vdots \\ y'_{15} \\ y'_{16} \end{bmatrix} = \begin{bmatrix} F_1 \\ F_2 \\ F_3 \\ \vdots \\ F_{15} \\ F_{16} \end{bmatrix}$$

Après avoir résolu ce système d'inconnues  $y'_1, y'_2, \dots, y'_{16}$ , on calculera le moment total corrigé :

$$M_{nc} = M_{n-1} + T_{n-1} \cdot h - m_{n-1} \quad \text{avec } m_{n-1} = (\sum K + \sum K') (y'_1 + y'_2 + \dots + y'_{n-1})$$

Le moment corrigé sur chaque trumeau est donné par :

$$M_{ij} = \frac{I_i}{\sum I_i} M_{ncj} \quad I_i : \text{inertie du trumeau } i \text{ considéré}$$

L'effort tranchant dans les trumeaux est donné par :  $T_{ij} = \frac{I_i}{\sum I_i} T_j$

$T_j$  : effort tranchant ext au niveau  $j$

Pour les linteaux :

$y'$  : rotation au niveau considéré

effort tranchant dans le linteau 1 :  $\Pi_1 = \frac{6EI}{a^3} (l_1 + 2a + l_2) y'$

effort tranchant dans le linteau 2 :  $\Pi_2 = \frac{6EI}{b^3} (l_2 + 2b + l_3) y'$

Moment dans les linteaux :

$$\text{linteau 1 : } M_1 = \Pi_1 \cdot \frac{a}{2}$$

$$\text{linteau 2 : } M_2 = \Pi_2 \cdot \frac{b}{2}$$

Exemple de calcul : voile VX1 :

ce voile est constitué de 4 trumeaux dont les longueurs sont :

$$l_1 = 1,4 \text{ m} \quad l_2 = 2,8 \text{ m} \quad l_3 = 2,8 \text{ m} \quad l_4 = 1,4 \text{ m}$$

on a trois linteaux de longueurs égales :  $a_1 = a_2 = a_3 = 1,10 \text{ m}$

hauteur du linteau :  $0,89 \text{ m}$

$$i = 0,3 \cdot 0,89^3 / 12 \Rightarrow i = 0,0176 \text{ m}^4$$

$$I_1 = 0,3 \cdot 1,4^3 / 12 = I_4 = 0,0686 \text{ m}^4 \quad h = 3,06 \text{ m} \quad E = 3,78 \cdot 10^6 \text{ t/m}^2$$

$$I_2 = I_3 = 0,3 \cdot 2,8^3 / 12 = 0,55 \text{ m}^4$$

$$K_1 = \frac{3 \cdot 3,78 \cdot 10^6}{1,1^3} \cdot 0,0176 [1,4 + 2,2 + 2,8] (1,1 + 1,4) = 2,399 \cdot 10^6$$

$$K'_1 = K_1 (1,1 + 2,8) / (1,1 + 1,4) \Rightarrow K'_1 = 3,742 \cdot 10^6$$

$$K_2 = \frac{3 \cdot 3,78 \cdot 10^6}{1,1^3} \cdot 0,0176 [2,8 + 2,2 + 2,8] (1,1 + 2,8) \Rightarrow K_2 = 4,561 \cdot 10^6$$

$$K'_2 = K_2 (1,1 + 2,8) / (1,1 + 2,8) \Rightarrow K'_2 = 4,561 \cdot 10^6$$

$$K_3 = \frac{3EI}{a^3} (l_3 + 2a_3 + l_4) (a_3 + l_3) \quad K'_3 = \frac{3EI}{a^3} (l_3 + 2a_3 + l_4) (a_3 + l_4)$$

$$K'_3 = 3 \cdot 3,78 \cdot 10^6 \cdot 0,0176 (2,8 + 2,2 + 1,4) (1,1 + 1,4) / 1,1^3 \Rightarrow K'_3 = 2,399 \cdot 10^6$$

$$K_3 = K'_3 (1,1 + 2,8) / (1,1 + 1,4) \Rightarrow K_3 = 3,742 \cdot 10^6$$

$$\text{D'où } K = (\sum K + \sum K') = 2,141 \cdot 10^7$$

$$h^2 / 2 \sum EI = 3,06^2 / 2 [3,78 \cdot 10^6 (0,0686 \cdot 2 + 0,55 \cdot 2)] \Rightarrow \frac{h^2}{2 \sum EI} = 1,002 \cdot 10^{-6}$$

$$h / \sum EI = 3,06 / [3,78 \cdot 10^6 \cdot 2 (0,0686 + 0,55)] \Rightarrow h / \sum EI = 6,543 \cdot 10^{-7}$$

$$\text{D'où } F_{n-1} = M_{n-1} \cdot 6,543 \cdot 10^{-7} + T_{n-1} \cdot 1,002 \cdot 10^{-6}$$

$$\alpha = K \cdot h / \sum EI \Rightarrow \alpha = (2,141 \cdot 10^7 / [2 \cdot 3,78 \cdot 10^6 (0,0686 + 0,55)]) \cdot 3,06$$
$$\alpha = 14,02$$

Exemple de calcul de  $F_{n-1}$  :

$$\text{Pour } n-1=1 \quad F_1 = M_1 \cdot 6,543 \cdot 10^{-7} + T_1 \cdot 1,002 \cdot 10^{-6} = 0 + 12,13 \cdot 1,002 \cdot 10^{-6} = 1,215 \cdot 10^{-5}$$

$$\text{Pour } n-1=2 \quad F_2 = 37,178 \cdot 6,543 \cdot 10^{-7} + 23,52 \cdot 1,002 \cdot 10^{-6} = 4,785 \cdot 10^{-5}$$

$$\text{Pour } n-1=3 \quad F_3 = 109,089 \cdot 6,543 \cdot 10^{-7} + 32,746 \cdot 1,002 \cdot 10^{-6} = 10,449 \cdot 10^{-5}$$

### Exemple de détermination du moment corrigé :

Pour le niveau 3 (à partir du sommet) :

$$M_{3c} = M_2 + T_2 h - m_2 \quad m_2 = K (y_1' + y_2') = 2,141 \cdot 10^7 (9,782 \cdot 10^{-7} + 2,54 \cdot 10^{-6})$$
$$\Rightarrow m_2 = 75,334 \text{ t.m}$$

$$M_{3c} = 37,1178 + 23,52 \cdot 3,06 - 75,334 \Rightarrow M_{3c} = 33,75 \text{ t.m}$$

Dans les trumeaux 1-4 on a  $M_c = \frac{0,0686}{2(0,0686+0,55)} \cdot 33,75 \Rightarrow M_c = 1,871 \text{ t.m}$

Dans les trumeaux 2-3 on a  $M_c = \frac{0,55}{2(0,0686+0,55)} \cdot 33,75 \Rightarrow M_c = 15,0036 \text{ t.m}$

### Exemple de calcul des efforts tranchants dans les trumeaux :

Au niveau 3 :

trumeau 2 et 3  $T = 32,746 \cdot \frac{0,55}{2(0,068+0,55)} = 14,5714 \text{ t}$

### Exemple de calcul d'effort tranchant dans les linteaux :

linteau 1, niveau 3 :  $\Pi_1 = \frac{6 \cdot 3,78 \cdot 10^6}{1,1^3} (1,4+2,2+2,8) \cdot 4,00296 \cdot 10^{-6} \cdot 0,0176$

$$\Pi_1 = 7,6831 \text{ t}$$

d'où le moment ds le linteau 1, niveau 3 :  $M = \Pi_1 \cdot \frac{a_1}{2} = 7,6831 \cdot 0,55 = 4,225 \text{ t.m}$

### Exemple de détermination d'efforts normaux dans les trumeaux :

trumeau 2 :  $N = \Sigma \Pi_2 - \Sigma \Pi_1$

niveau 1 :  $N = 2,288 - 1,877 = 0,411 \text{ t}$

niveau 2 :  $N = (2,288 + 5,942) - (1,877 + 4,876) = 1,477 \text{ t}$

Tous les autres résultats sont donnés sous forme de Listing.

CHAP VIII

ETUDE DES VOILES  
SOUS CHARGES  
VERTICALES ET  
COMBINAISONS



**ETUDE DES VOILES SOUS CHARGES  
VERTICALES ET COMBINAISONS**

On notera :  $N_G$  : effort normal dû aux charges permanentes  
 $N_Q$  : effort normal dû aux surcharges d'exploitation.

Distribution des charges verticales sur les différents trumeaux :

La charge verticale (effort normal) revenant au trumeau est donnée par l'expression suivante :

$$N_i = \frac{N \cdot l_i}{L}$$

$N$  : charge verticale totale revenant au voile.

$l_i$  : longueur du trumeau + la moitié de la longueur du linteau.

$L$  : longueur totale du voile

tous les résultats sont donnés sous forme de tableaux.

Les combinaisons d'Actions :

Les combinaisons d'actions sont donnés par le règlement parasismique

Algérien (RPA 81)

1 -  $G + Q \pm E$

2 -  $0,8G \pm E$

avec  $G$  : charge permanente  
 $Q$  : surcharge d'exploitation  
 $E$  : effet du Seisme.

D'où les combinaisons :

1. Effort axiaux :  $N_G + N_Q \pm N_E$   
 $0,8N_G \pm N_E$

2. Moment :  $M_G = 0$  ;  $M_Q = 0$  seul  $M_E \neq 0$

3. Effort tranchant :  $V_G = 0$  ;  $V_Q = 0$  ;  $V_E \neq 0$

Les combinaisons sont données sous forme de Tableaux.

CHAP IX

FERRAILLAGE

DES

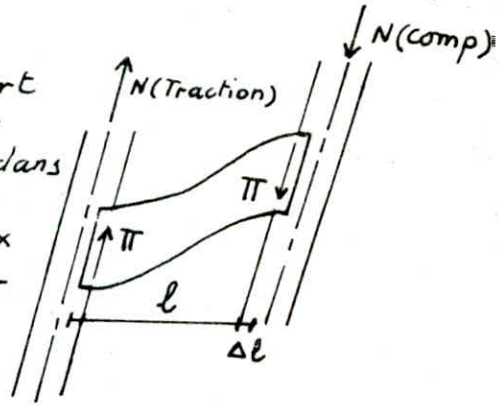
VOILES

## FERRAILLAGE DES LINTEAUX

Les linteaux en tant que poutres courtes se chargent par un grand effort tranchant. Cet effort tranchant sera transmis aux trumeaux comme forces axiales (compression dans un trumeau et traction dans l'autre trumeau)

La portée du linteau est donnée par  $l' = l + 2\Delta l$  (compte tenu de la déformation). Par conséquent l'effort tranchant et le moment dus au séisme seront amplifiés. Mais l'amplification qui sera prise dans les calculs est celle proposée par le RPA:

" la vérification de la résistance des linteaux aux sollicitations d'efforts tranchants les plus défavorables doit être effectuée avec :



$$\begin{cases} \bar{T} = 1,4 \text{ fois l'effort tranchant de calcul} \\ M \text{ calculé à partir de } \bar{T} \end{cases}$$

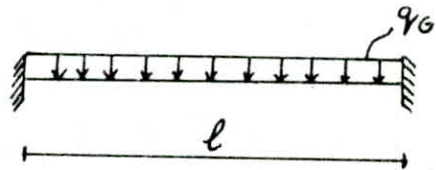
### Sollicitations de calcul :

Les sollicitations de calcul sont :

$$\begin{cases} V = V_E + V_G \\ M = M_E + M_G \end{cases}$$

Les efforts maximaux sont obtenus au niveau de l'encastrement :

$$\begin{cases} V_G^{\max} = q_G \cdot \frac{l}{2} \\ M_G^{\max} = q_G \cdot \frac{l^2}{12} \end{cases}$$



### Calcul de Ferrailage

Il sera conforme aux dispositions du RPA 81.

Exemple de calcul : VOILE V X 1.

$$\begin{aligned} h_c &= 89 \text{ cm} ; h = 80 \text{ cm} & T_{\max} &= 43,056 \text{ t (linteau 2 ; 2}^{\text{e}} \text{ niveau)} \\ l &= 110 \text{ cm} & b &= 30 \text{ cm} & q_G &= 0,3 \cdot 0,89 \cdot 2,5 \Rightarrow q_G = 0,6675 \text{ t/ml} \end{aligned}$$

NB: Le poids de plancher revenant au linteau a été négligé, de plus on calculera pour chaque voile le linteau le plus sollicité, ceci pour 2 niveaux qui correspondent à des épaisseurs différentes. on prendra les 2 cas les plus défavorables, et on ferrailera les autres niveaux de la même manière.

Effort tranchant de calcul :  $T = T_{\max} + q_G \cdot \frac{l}{2} \Rightarrow T = 43,056 + 0,6675 \cdot \frac{1,1}{2}$

$$T = 44,423 \text{ t} \quad \bar{T} = 1,4T \quad \bar{T} = 60,792 \text{ t}$$

$$M = (1,4 \cdot 43,056) \cdot \frac{1,10}{2} + \frac{1,4}{12} \cdot 0,6675 (1,1)^2 \Rightarrow M = 33,25 \text{ t.m}$$

Le calcul du Ferrailage s'effectue en flexion simple  $\bar{\sigma}'_b = 2\bar{\sigma}'_b$

Donc  $\bar{\sigma}_b = 206,4 \text{ Kg/cm}^2$       $\alpha = \frac{15 \cdot 206,4}{15 \cdot 206,4 + 4200} = 0,424 \Rightarrow \delta = 1 - \frac{\alpha}{3} = 0,858$

d'où  $K = \frac{1}{2} \cdot \alpha \cdot \bar{\sigma}_b \Rightarrow K = 37,597$  et  $M_{res} = K b h^2 \Rightarrow M_{res} = 37,597 \cdot 30 \cdot 80^2 = 72,1866 \text{ m}$

$M_{res} > M \Rightarrow A' = 0$       $A = \frac{33,25 \cdot 10^5}{0,858 \cdot 80 \cdot 4200} \Rightarrow A = 11,53 \text{ cm}^2$

On prendra donc  $A_s = A_i = 4T20 = 12,56 \text{ cm}^2$

Verifications :

-  $\bar{\sigma}_b = \frac{60,792 \cdot 10^3}{30 \cdot \frac{7}{8} \cdot 80} = 28,948 \text{ Kg/cm}^2 < \bar{\sigma}_b = 0,12 \sigma'_{28} = 33,02 \text{ Kg/cm}^2$

$A_{min} = 0,0015 \cdot 30 \cdot 89 = 4,005 \text{ cm}^2 < A_s = A_i$

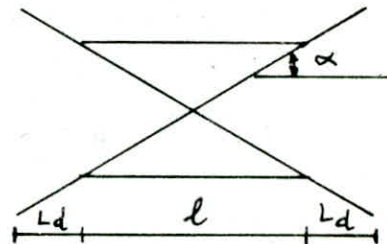
-  $\bar{\sigma}_b > 0,06 \sigma'_{28} = 16,51 \text{ Kg/cm}^2$ , d'où la nécessité de barres inclinées  
 $A_x \geq 0,0015 b \cdot h_t = 4,005 \text{ cm}^2$  soit 2T16 (4,02 cm<sup>2</sup>)

Longueur d'ancrage :  $L_d \geq \frac{h_t}{4} + 50 \phi \Rightarrow L_d \geq \frac{89}{4} + 50 \cdot 2 = 122,25 \text{ cm}$   
 on prendra  $L_d = 125 \text{ cm}$

Longueur des barres inclinées :

$L = \sqrt{l^2 + h_t^2} + 2 L_d / \cos \alpha$

Dans ce cas  $L = 463 \text{ cm}$



- Armatures de répartition :  $A_r \geq 0,002 b \cdot h_t = 0,002 \cdot 30 \cdot 89 = 5,34 \text{ cm}^2$   
 soit 6T12 = 6,78 cm<sup>2</sup>

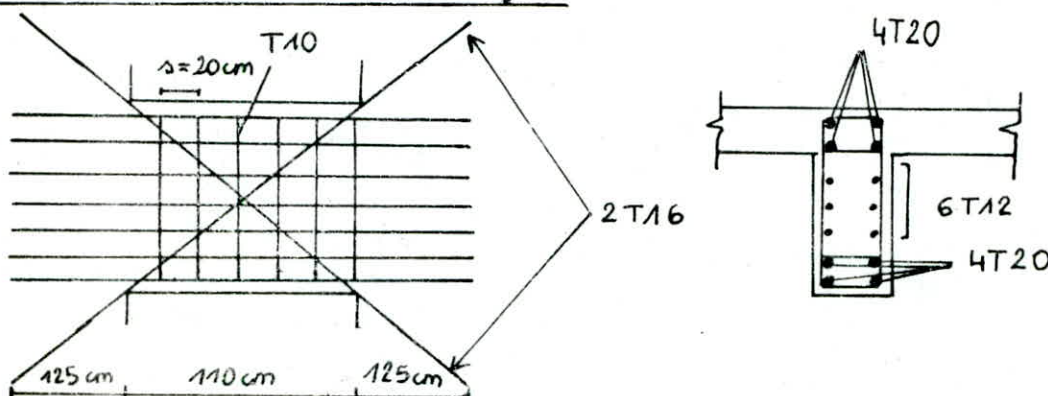
- Armatures transversales :  $s \leq \frac{h_t}{4} = \frac{89}{4} \Rightarrow s \leq 22,25 \text{ cm}$   
 on prendra  $s = 20 \text{ cm}$

$A_t = \frac{s \cdot T_{max}}{\frac{7}{8} h \cdot \bar{\sigma}_a} \Rightarrow A_t = \frac{20 \cdot 60,792 \cdot 10^3}{\frac{7}{8} \cdot 80 \cdot 4200} = 4,135 \text{ cm}^2$

soit 6T10 = 4,71 cm<sup>2</sup>.

$A_{min} = 0,0025 \cdot 30 \cdot 20 = 1,5 \text{ cm}^2$ .

D'où le schéma de Ferrailage :



Le Ferrailage des Linteaux est donné sous forme de Tableaux.

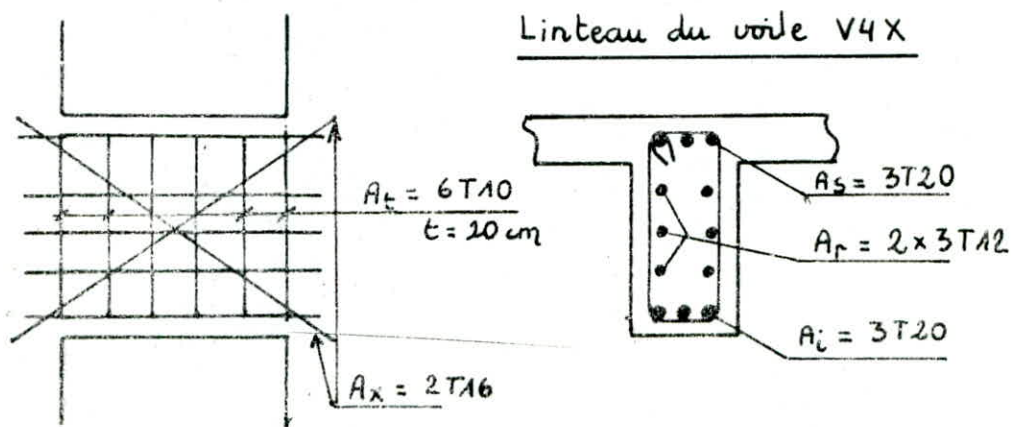
# Tableau donnant le ferrailage des Linteaux :

NIVE : (RDC  $\rightarrow$  7°)  $b = 30$  cm.

	LINTEAUX DES VOILES					
	V1X	V4X	V1Y-V6Y	V4Y	V5Y	
$l$ (cm)	110	80	100	100	100	
$b$ (cm)	30	30	30	30	30	
$h_e$ (cm)	89	89	89	89	89	
$\Pi$ (t)	43,056	48,39	72,93	44,88	34,54	
$V$ (t)	60,792	68,119,8	102,57	63,299,25	48,823,25	
$M$ (t.m)	33,25	27,14	51,12	31,49	24,2	
$A_i = A_s$	4 T20	3 T20	6 T20	6 T16	3 T20	
$A_x$	6 T12	6 T12	6 T12	6 T12	6 T12	
$A_T$	6 T10 $t = 20$ cm	6 T10 $t = 20$ cm	6 T14 $t = 20$ cm	6 T10 $t = 20$ cm	6 T10 $t = 20$ cm	
$A_x$	ARM	2 T16	2 T16	2 T16	2 T16	
	$L$ (cm)	463	493	470	415	470
	$L_d$ (cm)	125	125	125	105	125

$L$  : longueur des barres inclinées

$L_d$  : Longueur de scellement des barres inclinées.



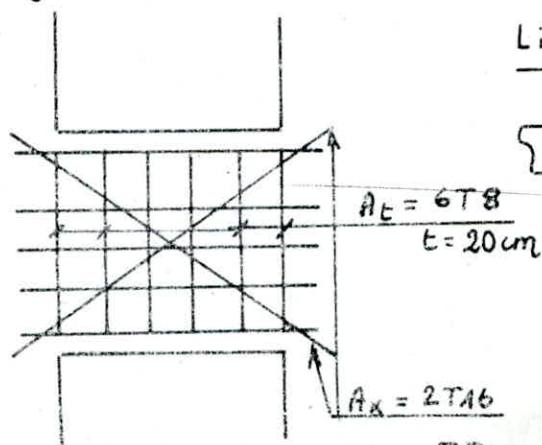
# Tableau donnant le ferrailage des Linteaux :

NIV II : (  $8^\circ \rightarrow 15^\circ$  )  $b = 20 \text{ cm}$

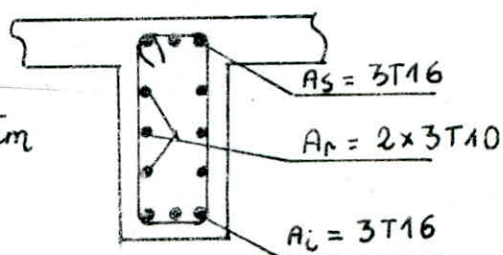
	LINTEAUX DES VOILES				
	V1X	V4X	V1Y-V6Y	V4Y	V5Y
$l \text{ (cm)}$	110	80	100	100	100
$b \text{ (cm)}$	20	20	20	20	20
$h_e \text{ (cm)}$	89	89	89	89	89
$\Pi \text{ (t)}$	26,5314	30,69	45,136	28,82	21,8
$V \text{ (t)}$	37,486	43,39,8	63,657	40,81525	30,98725
$M \text{ (t.m)}$	20,492	17,24	31,673	20,25	15,33
$A_i = A_s$	4T16	3T16	4T20	4T16	3T16
$A_n$	6T10	6T10	6T10	6T10	6T10
$A_T$	6T8 $e = 20 \text{ cm}$	6T8 $e = 20 \text{ cm}$	6T10 $e = 20 \text{ cm}$	6T8 $e = 20 \text{ cm}$	6T8 $e = 20 \text{ cm}$
$A_x$	ARM	2T16	2T16	2T16	2T16
	$l \text{ (cm)}$	412	434	470	415
	$L_d \text{ (cm)}$	105	105	125	105

$l$  : Longueur des barres inclinées

$L_d$  : Longueur de scellement des barres inclinées.



Linteau du voile V4X (NIV II)



## Ferrailage des voiles

Pour déterminer les sections d'armatures, on utilisera la méthode de M<sup>re</sup> Pierre Charon. Les dispositions à prévoir pour les armatures sont extraites du R.P.A 81

### Cas des trumeaux

#### Armatures verticales

- Le pourcentage minimal des armatures verticales sur une zone tendue est de 0,5 %
- L'espacement des barres horizontales et verticales doit être inférieur à  $S_t = \min(1,5t; 30 \text{ cm})$   
t : épaisseur du mur en cm. Dans notre cas, l'espacement maximal est de 30 cm.
- Les 2 nappes d'armatures doivent être reliées avec au moins 4 épingle au m<sup>2</sup>
- A chaque extrémité des voiles, l'espacement des barres doit être réduit de moitié sur 1/10 de la longueur du voile
- Les barres verticales des zones extrêmes doivent être ligaturées par des cadres horizontaux

#### Armatures horizontales

Les armatures de la section transversale résistant à l'effort tranchant doivent être calculées avec la formule

$$w_t = \frac{\tau_b \cdot z}{6en} \cdot 100$$

$$\tau_b : \text{cte de cisaillement} = \frac{1,4 \cdot T}{b \cdot z}$$

T: effort tranchant

b: épaisseur du voile  $z = \frac{7}{8} h$

- Le pourcentage  $w_t$  doit être supérieur au pourcentage minimum donné ci dessous
- |   |        |                         |
|---|--------|-------------------------|
| pour $\tau_b \leq 0,25 \frac{6\sqrt{8}}{8}$                       | 0,15 % | } dans chaque direction |
| $0,25 \frac{6\sqrt{8}}{8} < \tau_b \leq 0,12 \frac{6\sqrt{8}}{8}$ | 0,25 % |                         |

- Les longueurs de recouvrement seront prises égales à  $50 \phi$

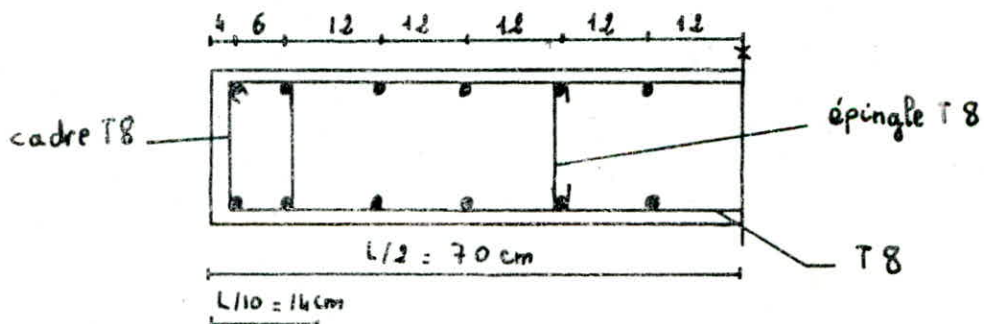
#### Remarques supplémentaires

- La vérification de la résistance aux sollicitations normales de flexion composée des plus défavorables doit être effectuée avec la contrainte admissible du béton du 1<sup>er</sup> genre majorée au plus de 50 % et la contrainte des aciers au plus égale à  $6en$
- Le diamètre des barres verticales et horizontales des voiles ne devrait pas dépasser 1/10 de l'épaisseur du voile. Dans notre cas, on utilisera au maximum des T25.
- Pour la détermination des armatures, on envisagera 2 cas:  $(M, N_{min})$ ;  $(M, N_{max})$
- Les résultats de ferrailage seront résumés dans des tableaux. On regroupera 4 niveaux successifs en un seul, ils seront ferrailés de la même manière

Le niveau I	correspond aux niveaux	0 - 1 - 2 - 3
" " II	" " "	4 - 5 - 6 - 7
" " III	" " "	8 - 9 - 10 - 11
" " IV	" " "	12 - 13 - 14 - 15 - 16

		Voile VX1 trumeaux 1-4 $R_c = 140\text{ cm}$			
		Niv I	Niv II	Niv III	Niv IV
M (kg.cm)		$12,615 \cdot 10^5$	$9,4646 \cdot 10^5$	$6,126 \cdot 10^5$	$3,296 \cdot 10^5$
$N^{\max}$ (kg)		$404,531 \cdot 10^3$	$282,608 \cdot 10^3$	$145,765 \cdot 10^3$	$56,1175 \cdot 10^3$
$N^{\min}$ (kg)		$-272,166 \cdot 10^3$	$-182,516 \cdot 10^3$	$-83,6656 \cdot 10^3$	$-23,538 \cdot 10^3$
$e_0(M, N^{\min})$ (cm)		4,635	5,185	7,322	14
$e_1$ (cm)		23,33	23,33	23,33	23,33
solicitation		SET	SET	SET	SET
Armatures Verticales	$A_1 = A_2$ adoptés	12 T 20	4 T 20 + 8 T 14	4 T 20 + 8 T 10	12 T 10
	Zone L/10	4 T 20; t=6cm	4 T 20; t=6cm	4 T 20; t=6cm	4 T 10; t=6cm
	Zone L/2 - L/10	8 T 20; t=12cm	8 T 14; t=12cm	8 T 10; t=12cm	8 T 10; t=12cm
	Potelet	4 T 20	4 T 20	4 T 20	4 T 10
Armatures horizontales	zone courante	2x(5T8) / ml t=25cm	2x(5T8) / ml t=25cm	2x(5T8) / ml t=25cm	2x(5T8) / ml t=25cm
	zone de recouvrement	2x(5T10) / ml t=25cm; $l_r=1m$	2x(5T10) / ml t=25cm; $l_r=1m$	2x(5T10) / ml t=25cm; $l_r=1m$	2x(5T10) / ml t=25cm; $l_r=1m$
Arm. Transversales		1 cadre T8 4 épingle T8	1 cadre T8 4 épingle T8	1 cadre T8 4 épingle T8	1 cadre T8 4 épingle T8
$e_0(M, N^{\max})$ (cm)		3,118	3,349	4,202	5,873
solicitation		S.E.C	S.E.C	S.E.C	S.E.C
$6b'$ (kg/cm <sup>2</sup> )		107,79	108,13	109,39	111,859
Vérification	$6b'_x$ (kg/cm <sup>2</sup> )	84,378	64,33	50,0924	22,445
	$6b'_y$ (kg/cm <sup>2</sup> )	67,104	49,93	36,569	13,984
	$6a'_i$ (kg/cm <sup>2</sup> )	1265,67	964,95	751,386	336,683

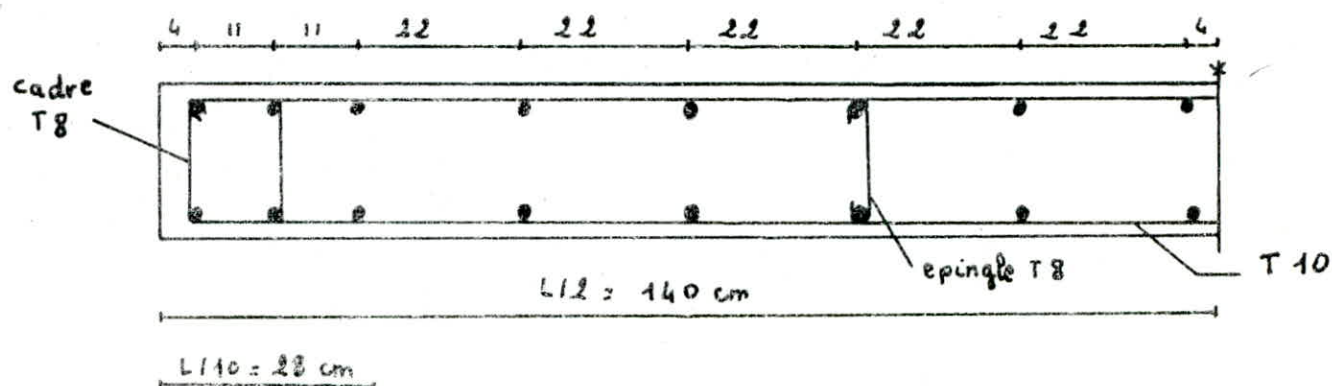
### Disposition





		voile VX1 trumeaux 1-3 $R_t = 280 \text{ cm}$			
		Niv I	Niv II	Niv III	Niv IV
M (kg.cm)		$102,033 \cdot 10^5$	$76,5519 \cdot 10^5$	$49,5491 \cdot 10^5$	$26,6635 \cdot 10^5$
$N^{\max}$ (kg)		$227,936 \cdot 10^3$	$168,215 \cdot 10^3$	$98,2763 \cdot 10^3$	$47,0439 \cdot 10^3$
$N^{\min}$ (kg)		$36,7936 \cdot 10^3$	$31,9682 \cdot 10^3$	$25,923 \cdot 10^3$	$18,1141 \cdot 10^3$
$e_0$ (M, $N^{\min}$ ) (cm)		277,31	239,462	191,139	147,197
$e_i$ (cm)		46,66	46,66	46,66	46,66
solicitation		S.P.C	S.P.C	S.P.C	S.P.C
Armatures verticales	$A_1 = A_2$ adoptés	4T16 + 12T14	4T16 + 12T14	4T16 + 12T12	4T16 + 12T12
	zone L10	4T16 + 2T14; t=11	4T16 + 2T14; t=11cm	4T16 + 2T12; t=11cm	4T16 + 2T12; t=11cm
	zone L12 - L10	10T14; t=22cm	10T14; t=22cm	10T12; t=22cm	10T12; t=22cm
	Potelet	4T16	4T16	4T16	4T16
Armatures horizontales	zone courante	2x(ST10)/ml t=25cm	2x(ST10)/ml t=25cm	2x(ST10)/ml t=25cm	2x(ST10)/ml t=25cm
	zone de recouvrement	2x(10T10)/ml t=11cm; $P_r=0,8m$	2x(80T10)/ml t=11cm; $P_r=0,8m$	2x(10T10)/ml t=11cm; $P_r=0,8m$	2x(10T10)/ml t=11cm; $P_r=0,8m$
Arm. transversales		1 cadre T8 4 épingle T8	1 cadre T8 4 épingle T8	1 cadre T8 4 épingle T8	1 cadre T8 4 épingle T8
$e_0$ (M, $N^{\max}$ ) (cm)		44,763	45,508	50,418	56,67
solicitation		S.E.C	S.E.C	S.P.C	S.P.C
$\bar{\sigma}_b'$ (kg/cm <sup>2</sup> )		136,197	136,746	140,365	144,97
Verification	$\sigma_b'$ (kg/cm <sup>2</sup> )	46,811	34,816	31,26	15,905
	$\sigma_b''$ (kg/cm <sup>2</sup> )	2,763	1,769	/	/
	$\sigma_a'$ (kg/cm <sup>2</sup> )	702,165	522,24	422,3	213,406
	$\sigma_a$ (kg/cm <sup>2</sup> )	/	/	49,27	11,98

### Disposition

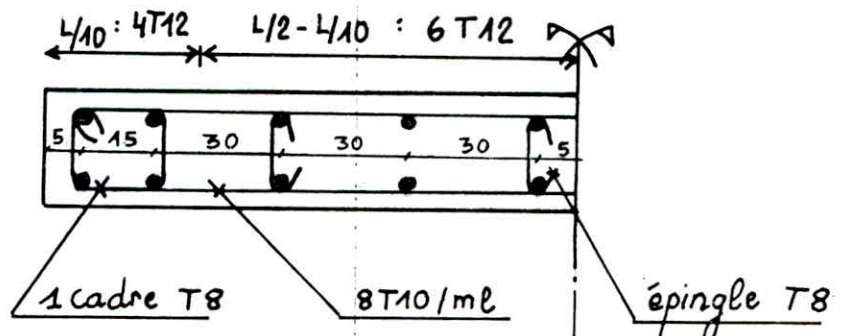


VOILES PLEINS		V X 2 - V X 3			
		L = 230 cm			
		NIV I	NIV II	NIV III	NIV IV
Nmin (t)		101,688	73,176	45,944	24,344
Nmax (t)		147,12	103,04	65,32	34,64
M (t.m)		63,858	38,084	17,882	5,514
$e_0(Nmin)$ cm		62,79	52,04	38,92	22,65
$e_1$ (cm)		38,33	38,33	38,33	38,33
Solllicitations		SPC	SPC	SPC	SEC
ARM. VERTICALES	$A_1 = A_2$ (cm <sup>2</sup> )	11,3	9,23	7,8	7,8
	ZONE : L/10	4 T12 $e = 15$ cm	4 T12 $e = 15$ cm	4 T10 $e = 15$ cm	4 T10 $e = 15$ cm
	ZONE : L/2 - L/10	6 T12 $e = 30$ cm	6 T10 $e = 30$ cm	6 T10 $e = 30$ cm	6 T10 $e = 30$ cm
	POTELET	4 T12	4 T12	4 T10	4 T10
ARM. HORIZON	ZONE COURANTE	8 T10/ml x 2 $e = 14$ cm	8 T10/ml x 2 $e = 14$ cm	8 T10/ml x 2 $e = 14$ cm	8 T10/ml x 2 $e = 14$ cm
	ZONE RECOURVT	10 T10/ml x 2 $e = 11$ cm	10 T10/ml x 2 $e = 11$ cm	10 T10/ml x 2 $e = 11$ cm	10 T10/ml x 2 $e = 11$ cm
ARM. TRANSVERSALES		1 cadre T8 4 épingles T8	1 cadre T8 4 épingles T8	1 cadre T8 4 épingles T8	1 cadre T8 4 épingles T8
$e_0(Nmax, M)$ cm		43,4	36,96	27,37	15,91
Solllicitations		SPC	SEC	SEC	SEC
VERIFICATIONS	$\overline{\sigma}_b'$ Kg/cm <sup>2</sup>	141,82	136,36	127,767	117,485
	$\sigma_{b1}'$ "	42,37	27,72	22,75	10,014
	$\sigma_{b2}'$ "	-	0,988	4,27	4,317
	$\sigma_{a1}'$ "	569,358	375,77	313,55	141,67
	$\sigma_{a2}'$ "	-	54,94	91,82	73,3

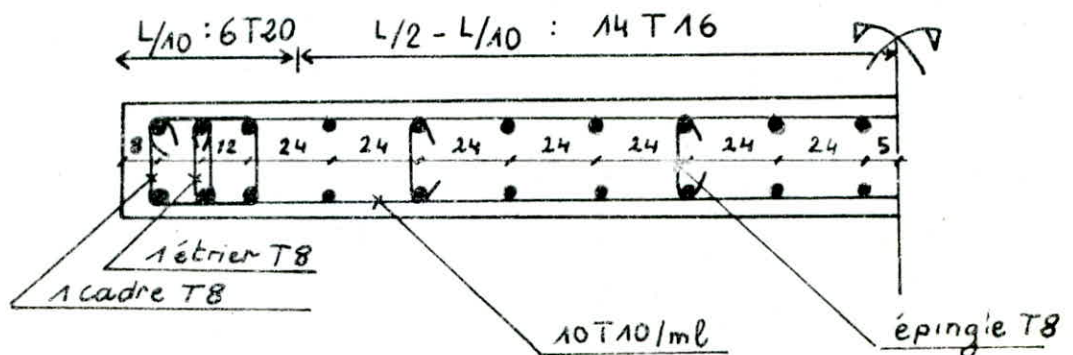
Ferailage

moitié du voile

NIV I



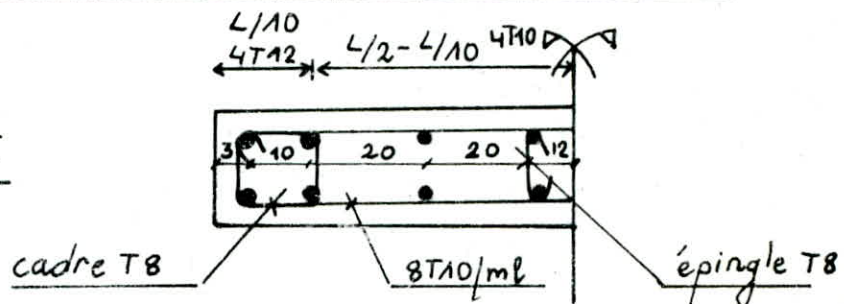
VOILE : V X 4		TRUMEAUX : 1-3				L = 4,1 m
		NIV I	NIV II	NIV III	NIV IV	
Nmin (t)		- 304,946	- 206,718	- 87	- 16,84	
Nmax (t)		663,026	460,335	244,246	99,94	
M (t.m)		103,326	74,59	47,96	25,65	
e <sub>0</sub> (Nmin; M)cm		33,88	36,08	55,126	152,31	
e <sub>1</sub> (cm)		68,33	68,33	68,33	68,33	
Solllicitations		S. E. T	S. E. T	S. E. T	S. E. T	
ARM. VERTICALES	A <sub>1</sub> = A <sub>2</sub> (cm <sup>2</sup> )	46,98	33,62	25,06	25,06	
	ZONE : L/10	6 T 20 e = 12cm	6 T 16 e = 12cm	6 T 14 e = 12cm	6 T 14 e = 12cm	
	ZONE : L/2 - L/10	14 T 16 e = 24cm	14 T 14 e = 24cm	14 T 12 e = 24cm	14 T 12 e = 24cm	
	POTELET	6 T 20	6 T 16	6 T 14	6 T 14	
ARM. HORIZON	Zone Courante	2 x 10 T 10 / ml e = 11cm	2 x 10 T 10 / ml e = 11cm	2 x 10 T 10 / ml e = 11cm	2 x 10 T 10 / ml e = 11cm	
	Zone recouvrement	2 x 9 T 14 / ml e = 12,5cm	2 x 9 T 14 / ml e = 12,5cm	2 x 9 T 14 / ml e = 12,5cm	2 x 9 T 14 / ml e = 12,5cm	
ARM. TRANSVERSALE		1 cadre T8 1 étrier 4 épingles	1 cadre 1 étrier 4 épingles T8	1 cadre, 1 étrier 4 épingles T8	1 cadre, 1 étrier 4 épingles T8	
e <sub>0</sub> (Nmax; M)cm		15,58	16,2	19,63	25,66	
Solllicitations		S. E. C	S. E. C	S. E. C	S. E. C	
VERIFICATIONS	$\bar{\sigma}_b' / \text{Kg/cm}^2$	111,045	111,357	113,085	116,12	
	$\sigma_{b1}'$ "	58,44	42,25	34,56	15,06	
	$\sigma_{b2}'$ "	38,28	26,92	20	7,27	
	$\sigma_{a1}'$ "	846	610,85	496,6	214,17	
	$\sigma_{a2}'$ "	604	426,83	321,93	120,754	



Ferailage moitié du voile NIV I

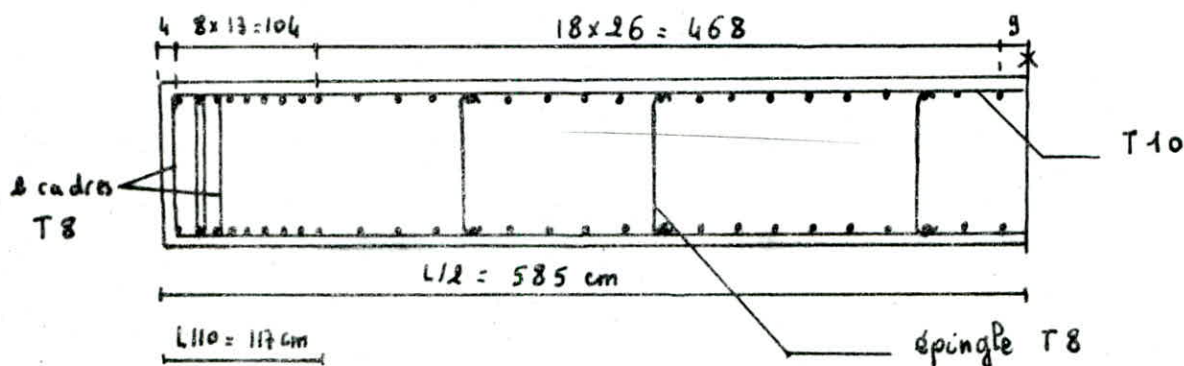
VOILE :		TRUMEAU : 2				L = 1,3 m			
V X 4		NIV I	NIV II	NIV III	NIV IV				
N <sub>min</sub> (t)		69,832	50,023	30,84	16,27				
N <sub>max</sub> (t)		97,271	68,33	42,53	22,5				
M (t.m)		3,24	2,34	1,5	0,8				
e <sub>0</sub> (N <sub>min</sub> , M) cm		4,63	4,67	4,86	4,91				
e <sub>1</sub> (cm)		21,66	21,66	21,66	21,66				
Solicitations		S. E. C	S. E. C	S. E. C	S. E. C				
ARM. VERTICALES	A <sub>1</sub> = A <sub>2</sub> (cm <sup>2</sup> ) adopté	7,64	7,64	6,24	6,24				
	ZONE: L/10	4 T 12 e = 10 cm	4 T 12 e = 10 cm	4 T 10 e = 10 cm	4 T 10 e = 10 cm				
	ZONE: L/2 - L/10	4 T 10 e = 20 cm	4 T 10 e = 20 cm	4 T 10 e = 20 cm	4 T 10 e = 20 cm				
	Potelet	4 T 12	4 T 12	4 T 10	4 T 10				
ARM. HORIZON	ZONE COURANTE	2 x 8 T 10 / ml e = 14 cm	2 x 8 T 10 / ml e = 14 cm	2 x 8 T 10 / ml e = 14 cm	2 x 8 T 10 / ml e = 14 cm				
	ZONE RECOUVAT	2 x 11 T 10 / ml e = 10 cm	2 x 11 T 10 / ml e = 10 cm	2 x 11 T 10 / ml e = 10 cm	2 x 11 T 10 / ml e = 10 cm				
ARM. TRANSVERSALES		1 cadre 4 epingle T 8	1 cadre 4 epingle T 8	1 cadre 4 epingle T 8	1 cadre 4 epingle T 8				
e <sub>0</sub> (N <sub>max</sub> , M) cm		3,33	3,42	3,52	3,55				
Solicitations		S. E. C	S. E. C	S. E. C	S. E. C				
VERIFICATIONS	$\bar{\sigma}'_b$ Kg/cm <sup>2</sup>	108,488	108,64	108,8	108,8				
	$\sigma'_{b1}$ "	27	19	17,6	9,32				
	$\sigma'_{b2}$ "	20,11	14	13	6,82				
	$\sigma'_{a1}$ "	394,7	278	257	136,06				
	$\sigma'_{a2}$ "	312,2	218,36	201	106,12				

Ferrailage NIV I



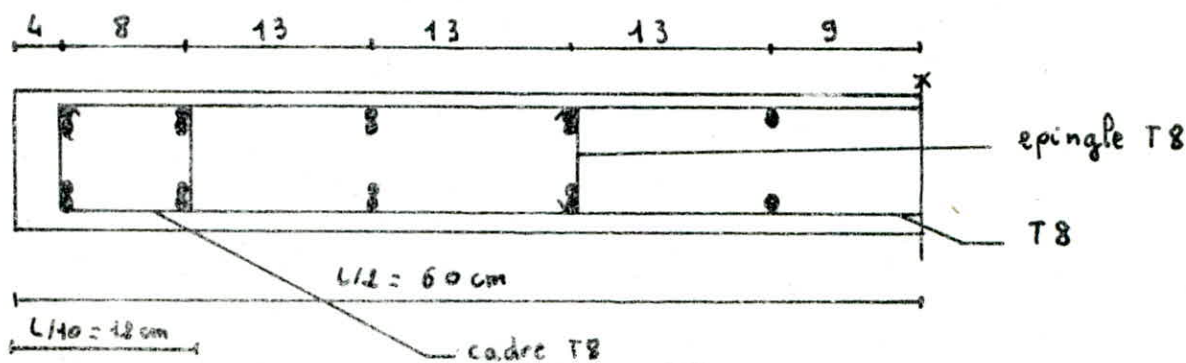
		voile V x 5 $R_t = 1170 \text{ cm}$			
		Niv I	Niv II	Niv III	Niv IV
M (kg.cm)		$8242,77 \cdot 10^5$	$4960,6 \cdot 10^5$	$2,329 \cdot 10^8$	$717,998 \cdot 10^5$
$N^{\max}$ (kg)		$688,53 \cdot 10^3$	$471,392 \cdot 10^3$	$276,25 \cdot 10^3$	$116,864 \cdot 10^3$
$N^{\min}$ (kg)		$490,56 \cdot 10^3$	$345,856 \cdot 10^3$	$202,4 \cdot 10^3$	$87,552 \cdot 10^3$
$e_0$ (M, $N^{\min}$ ) (cm)		1680,277	1434,29	1150,61	820,08
$e_i$ (cm)		195	195	195	195
solicitation		S P C	S P C	S P C	S P C
Armatures verticales	$R_s = R_s$ adoptés	54 T20: $169,56 \text{ cm}^2$	6 T20 + 48 T16	6 T20 + 48 T12	6 T20 + 48 T12
	Zone L / 10	2x(9 T20); $t = 13 \text{ cm}$	6 T20 + 14 T16 $t = 13 \text{ cm}$	6 T20 + 12 T12 $t = 13 \text{ cm}$	6 T20 + 12 T12 $t = 13 \text{ cm}$
	zone L/1 - L/10	2x(8 T20); $t = 26 \text{ cm}$	2x(8 T16); $t = 26 \text{ cm}$	2x(18 T12); $t = 26 \text{ cm}$	2x(18 T12); $t = 26 \text{ cm}$
	PotePot	6 T20	6 T20	6 T20	6 T20
Armatures horizontales	zone courante	2x(5 T10) / ml $t = 25 \text{ cm}$	2x(5 T10) / ml $t = 25 \text{ cm}$	2x(5 T10) / ml $t = 25 \text{ cm}$	2x(5 T10) / ml $t = 25 \text{ cm}$
	zone de recouvrement	2x(11 T10) / ml $t = 10 \text{ cm}$ ; $Pr = 1 \text{ m}$	2x(11 T10) / ml $t = 10 \text{ cm}$ ; $Pr = 1 \text{ m}$	2x(11 T10) / ml $t = 10 \text{ cm}$ ; $Pr = 1 \text{ m}$	2x(11 T10) / ml $t = 10 \text{ cm}$ ; $Pr = 1 \text{ m}$
Arm - transversales		2 cadres T8 4 épingle T8	2 cadres T8 4 épingle T8	2 cadres T8 4 épingle T8	2 cadres T8 4 épingle T8
$e_0$ (M, $N^{\max}$ ) (cm)		1197,16	1052,33	843,019	614,387
solicitation		S. P. C	S P C	S P C	S P C
$\bar{\sigma}_b'$ (kg/cm <sup>2</sup> )		206,4	206,4	206,4	206,4
Vérifications	$\sigma_b'$ (kg/cm <sup>2</sup> )	151,446	107,673	77,23	23,414
	$\sigma_a$ (kg/cm <sup>2</sup> )	3319,34	2650,84	1645,2	352,4
	$\sigma_a'$ (kg/cm <sup>2</sup> )	1650,473	1141,11	846	273,04

Disposition :



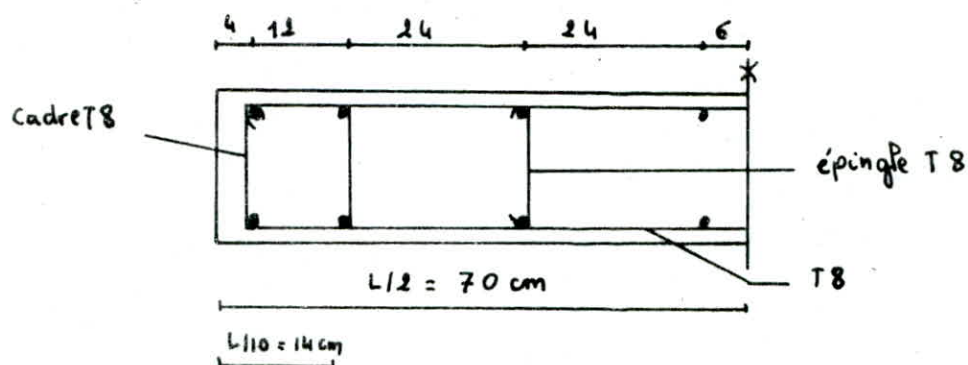
Voiles VY1-VY6 ; trumeau I ; $h_t = 120\text{ cm}$ ; $e_1 = 20\text{ cm}$				
	Niv I	Niv II	Niv III	Niv IV
M (kg.cm)	$11,2943 \cdot 10^5$	$8,68854 \cdot 10^5$	$5,46554 \cdot 10^5$	$2,92 \cdot 10^5$
$N^{\text{max}}$ (kg)	$607,26 \cdot 10^3$	$421,301 \cdot 10^3$	$222,088 \cdot 10^3$	$89,966 \cdot 10^3$
$N^{\text{min}}$ (kg)	$-358,966 \cdot 10^3$	$-239,9 \cdot 10^3$	$-102,428 \cdot 10^3$	$-24,5997 \cdot 10^3$
$e_0(M, N^{\text{max}})$ (cm)	1,859	/	/	/
$e_0(M, N^{\text{min}})$ (cm)	/	3,6217	5,336	11,87
sollicitation	S.E.C	SET	SET	SET
Armesures verticales	$A_1 = A_2$ adoptés	18T25	10T20	10T14
	zone L1-10	8T25; $t=8\text{ cm}$	4T20; $t=8\text{ cm}$	4T14; $t=8\text{ cm}$
	zone L18-L10	10T25; $t=13\text{ cm}$	6T20; $t=13\text{ cm}$	6T14; $t=13\text{ cm}$
	potelet	8T25	4T20	4T14
Armesures horizontales	zone courante	2x(ST8) / ml $t=25\text{ cm}$	2x(ST8) / ml $t=25\text{ cm}$	2x(ST8) / ml $t=25\text{ cm}$
	zone de recouvrement	2x(ST10) / ml $l_r=1,25\text{ m}$ ; $t=25\text{ cm}$	2x(ST10) / ml $l_r=1\text{ m}$ ; $t=25\text{ cm}$	2x(ST10) / ml $l_r=1\text{ m}$ ; $t=25\text{ cm}$
Armat. transversales	1 cadre T8 4 épingle T8	1 cadre T8 4 épingle T8	1 cadre T8 4 épingle T8	1 cadre T8 4 épingle T8
$e_0(M, N^{\text{min}})$ (cm)	3,146	/	/	/
$e_0(M, N^{\text{max}})$ (cm)	/	2,062	2,461	3,245
sollicitation	S.E.T	S.E.C	S.E.C	S.E.C
Verifications	$\bar{\sigma}_b'$ (kg/cm <sup>2</sup> )	/	106,74	107,43
	$\bar{\sigma}_b''$ (kg/cm <sup>2</sup> )	/	100,788	85,91
	$\bar{\sigma}_a$ (kg/cm <sup>2</sup> )	2168,33   $\bar{\sigma}_a'$	1511,83	1288,69
	$\bar{\sigma}_a''$ (kg/cm <sup>2</sup> )	/	84,72	69,285

Disposition (au niveau I)



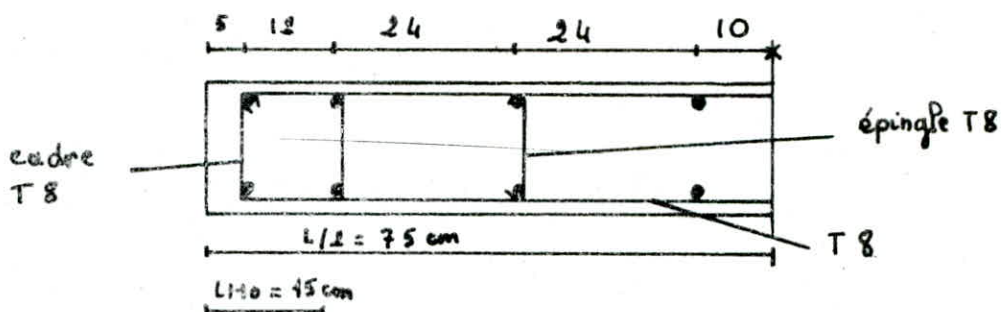
		voiles VY1-VY6 ; trumeau 2 $h_t = 140 \text{ cm}$			
		Niv I	Niv II	Niv III	Niv IV
M (kg.cm)		$17,935 \cdot 10^5$	$13,7971 \cdot 10^5$	$8,679 \cdot 10^5$	$4,636 \cdot 10^5$
N <sup>max</sup> (kg)		$240,708 \cdot 10^3$	$172,642 \cdot 10^3$	$110,432 \cdot 10^3$	$58,167 \cdot 10^3$
N <sup>min</sup> (kg)		$109,824 \cdot 10^3$	$83,4525 \cdot 10^3$	$58,5 \cdot 10^3$	$34,115 \cdot 10^3$
$e_0(M, N^{\max})(\text{cm})$		7,451	7,991	7,859	7,97
$e_1$ (cm)		23,33	23,33	23,33	23,33
solicitation		S.E.C	S.E.C	S.E.C	S.E.C
Armature verticales	$A_1 = A_2$ adoptés	8 T12	8 T12	8 T12	8 T12
	Zone L/10	4 T12; $t = 12 \text{ cm}$	4 T12; $t = 12 \text{ cm}$	4 T12; $t = 12 \text{ cm}$	4 T12; $t = 12 \text{ cm}$
	zone L/2 - L/10	4 T12; $t = 24 \text{ cm}$	4 T12; $t = 24 \text{ cm}$	4 T12; $t = 24 \text{ cm}$	4 T12; $t = 24 \text{ cm}$
	Potelet	4 T12	4 T12	4 T12	4 T12
Armatures horizontales	zone courante	2 x (5 T8) / ml $t = 25 \text{ cm}$	2 x (5 T8) / ml $t = 25 \text{ cm}$	2 x (5 T8) / ml $t = 25 \text{ cm}$	2 x (5 T8) / ml $t = 25 \text{ cm}$
	zone de recouvrement	2 x (5 T10) / ml $t = 25 \text{ cm}; P_r = 0,6 \text{ m}$	2 x (5 T10) / ml $t = 25 \text{ cm}; P_r = 0,6 \text{ m}$	2 x (5 T10) / ml $t = 25 \text{ cm}; P_r = 0,6 \text{ m}$	2 x (5 T10) / ml $t = 25 \text{ cm}; P_r = 0,6 \text{ m}$
Armat. transversales		1 cadre T8 4 épingle T8	1 cadre T8 4 épingle T8	1 cadre T8 4 épingle T8	1 cadre T8 4 épingle T8
$e_0(M, N^{\min})(\text{cm})$		16,33	16,532	14,835	13,589
solicitation		S.E.C	S.E.C	S.E.C	S.E.C
$\sigma_b'$ (kg/cm <sup>2</sup> )		127,276	127,572	125,072	123,234
Vérifications	$\sigma_{b1}'$ (kg/cm <sup>2</sup> )	40,84	31,19	30,249	19,279
	$\sigma_{a1}'$ (kg/cm <sup>2</sup> )	612,67	467,85	453,75	289,185
	$\sigma_{b2}'$ (kg/cm <sup>2</sup> )	8,28	6,138	7,846	5,088

### Disposition



Voiles VY1 - VY6 ; trumeau 3 ; $h_t = 150\text{ cm}$					
		Mur I	Mur II	Mur III	Mur IV
M (kg.cm)		$21,9611 \cdot 10^5$	$16,8344 \cdot 10^5$	$10,6274 \cdot 10^5$	$5,676 \cdot 10^5$
N <sup>max</sup> (kg)		$408,767 \cdot 10^3$	$288,025 \cdot 10^3$	$167,087 \cdot 10^3$	$78,2347 \cdot 10^3$
N <sup>min</sup> (kg)		$-43,6295 \cdot 10^3$	$-21,26 \cdot 10^3$	$8,88 \cdot 10^3$	$17,8923 \cdot 10^3$
$e_0 (M, N^{\text{min}})$ (cm)		50,335	73,465	119,677	31,723
$e_1$ (cm)		25	25	25	25
solllicitation		S.E.T	S.P.C	S.P.C	S.P.C
Armatures verticales	A <sub>1</sub> = A <sub>2</sub> adoptés	8T16	8T16	8T14	8T14
	zone L/10	4T16; t = 12 cm	4T16; t = 12 cm	4T14; t = 12 cm	4T14; t = 12 cm
	zone L/2 - L/10	4T16; t = 24 cm	4T16; t = 24 cm	4T14; t = 24 cm	4T14; t = 24 cm
	Potelet	4T16	4T16	4T14	4T14
Armatures horizontales	zone courante	2x(5T8) / ml t = 25 cm	2x(5T8) ml t = 25 cm	2x(5T8) / ml t = 25 cm	2x(5T8) / ml t = 25 cm
	zone de recouvrement	2x(5T10) / ml t = 25 cm; Pr = 0,8 m	2x(5T10) ml t = 25 cm; Pr = 0,8 m	2x(5T10) / ml t = 25 cm; Pr = 0,8 m	2x(5T10) / ml t = 25 cm; Pr = 0,8 m
Armatures transversale		1 cadre T8 4 épingle T8	1 cadre T8 4 épingle T8	1 cadre T8 4 épingle T8	1 cadre T8 4 épingle T8
$e_0 (M, N^{\text{max}})$ (cm)		5,372	5,865	6,3604	7,255
solllicitation		S.E.C	S.E.C	S.E.C	S.E.C
$\bar{6}b'$ (kg/cm <sup>2</sup> )		110,592	111,271	111,95	113,183
Vérifications	$6b'_1$ (kg/cm <sup>2</sup> )	98,231	70,26	61,04	29,338
	$6a'_1$ (kg/cm <sup>2</sup> )	1473,46	1053,9	915,6	440,07
	$6b'_2$ (kg/cm <sup>2</sup> )	65,853	45,35	38,127	17,097

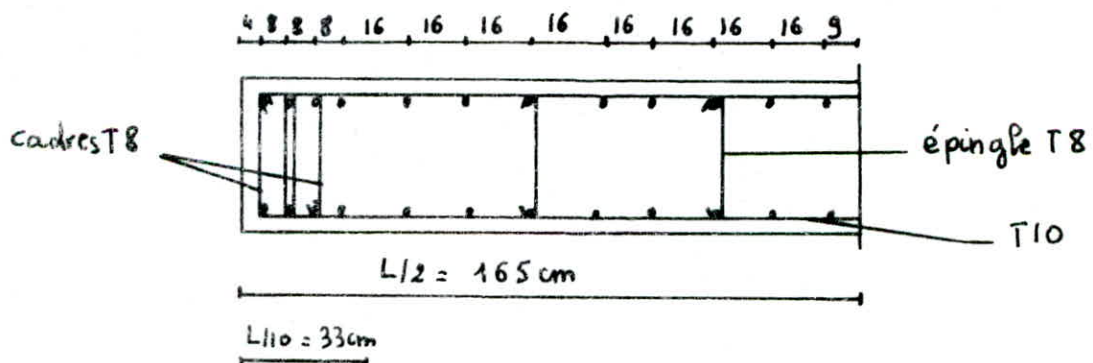
### Disposition



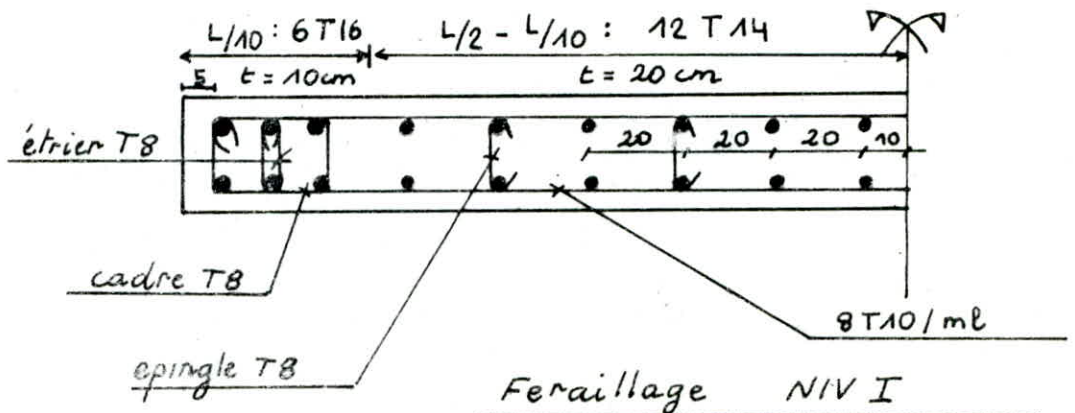


Voiles VY1- VY6 ; Trumeau 4 ; $R_t = 330$ cm				
	Mir I	Mir II	Mir III	Mir IV
M (kg.cm)	$234,775 \cdot 10^5$	$180,609 \cdot 10^5$	$113,612 \cdot 10^5$	$60,6826 \cdot 10^5$
$N_{max}$ (kg)	$1010,75 \cdot 10^3$	$704,405 \cdot 10^3$	$382,246 \cdot 10^3$	$162,396 \cdot 10^3$
$N_{min}$ (kg)	$-455,741 \cdot 10^3$	$-298,922 \cdot 10^3$	$-114,77 \cdot 10^3$	$-16,283 \cdot 10^3$
$e_0(M, N_{min})$ (cm)	51,515	60,420	98,991	372,674
$e_1$ cm	55	55	55	55
sollicitation	S.E.T	S.E.T	S.E.T	S.P.C
Armatures verticales	$A_1 = A_2$ adaptés	24T20	6T20+18T16	6T20+18T10
	Zone L/10	8T20; $t=8$ cm	6T20+4T16 $t=8$ cm	6T20+2T10 $t=8$ cm
	zone L/2 - L/10	16T20; $t=16$ cm	16T16; $t=16$ cm	16T10; $t=16$ cm
	PotePet	6T20	6T20	6T20
Armatures horizontales	zone courante	2x(5T10)/ml $t=25$ cm	2x(5T10)/ml $t=25$ cm	2x(5T10)/ml $t=25$ cm
	zone de recouvrement	2x(5T10)/ml $t=7$ cm; $R_r=1$ m	2x(5T10)/ml $t=7$ cm; $R_r=1$ m	2x(5T10)/ml $t=7$ cm; $R_r=1$ m
Armatures transversales		2 cadres T8 4 épingle T8	2 cadres T8 4 épingle T8	2 cadres T8 4 épingle T8
	$e_0(M, N_{max})$ (cm)	23,227	25,639	29,722
	sollicitation	S.E.C	S.E.C	SEC
Verifications	$6b'$	117,72	119,236	121,789
	$6b_i$	113,07	86,11	74,705
	$6a_i$	1696,05	1291,66	1120,578
	$6b'_2$	53,137	35,857	26,066

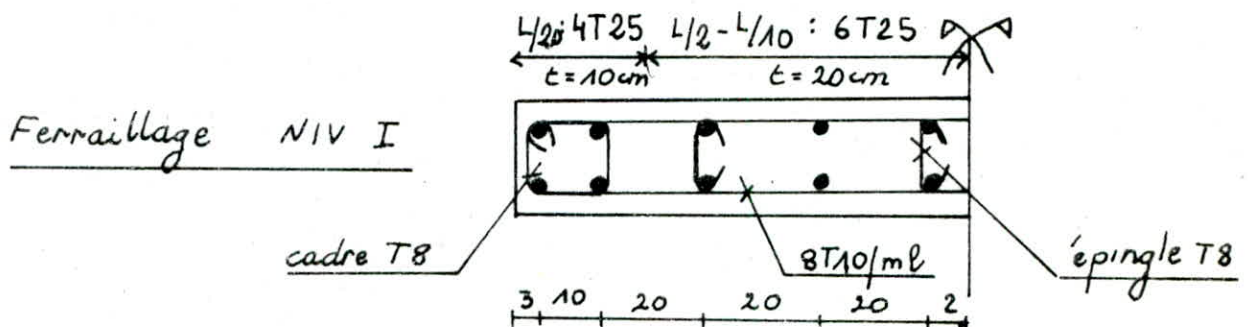
Disposition



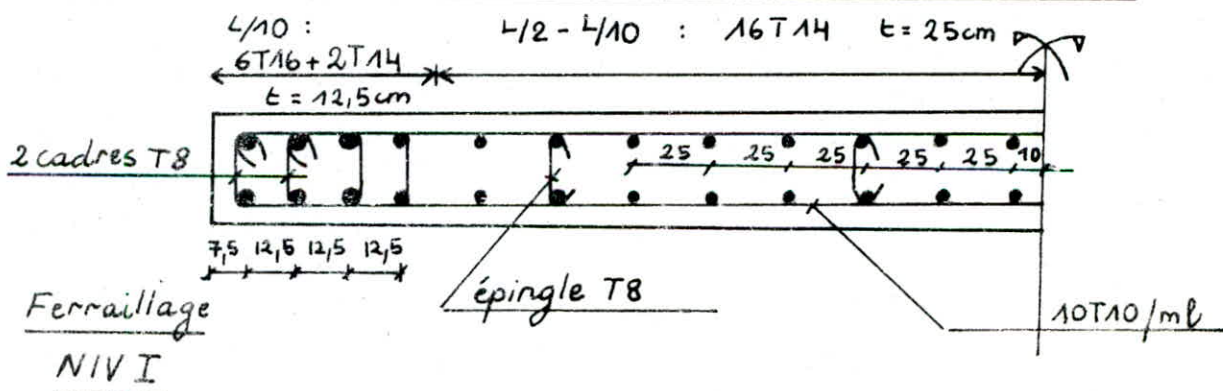
VOILES PLEINS		VY2 - VY3				L = 310 cm
		NIV I	NIV II	NIV III	NIV IV	
N <sub>min</sub> (t)		101,472	72,48	44,096	23,296	
N <sub>max</sub> (t)		136,762	96,456	59,184	31,392	
M (t.m)		273,653	162,902	75,46	23,52	
e <sub>0</sub> (N <sub>min</sub> ; M) cm		269,68	224,75	171,13	100,96	
e <sub>1</sub> (cm)		51,66	51,66	51,66	51,66	
Solllicitations		SPC	SPC	SPC	SPC	
ARM VERTICALES	A <sub>1</sub> =A <sub>2</sub> (cm <sup>2</sup> ) adopté	30,54	25,62	18,59	16,14	
	ZONE: L/10	6 T 16 e = 10 cm	6 T 16 e = 10 cm	6 T 14 e = 10 cm	6 T 12 e = 10 cm	
	ZONE: L/2 - L/10	12 T 14 e = 20 cm	12 T 12 e = 20 cm	12 T 10 e = 20 cm	12 T 10 e = 20 cm	
	POTELET	6 T 16	6 T 16	6 T 14	6 T 12	
ARM HORIZ	ZONE COURANTE	2 x 8 T 10 / ml e = 14 cm	2 x 8 T 10 / ml e = 14 cm	2 x 8 T 10 / ml e = 14 cm	2 x 8 T 10 / ml e = 14 cm	
	ZONE RECOURVAT	2 x 8 T 10 / ml e = 14 cm	2 x 8 T 10 / ml e = 14 cm	2 x 8 T 10 / ml e = 14 cm	2 x 8 T 10 / ml e = 14 cm	
ARM. TRANSVERSALES		1 cadre T8 1 étrier " 4 epings "	1 cadre T8 1 étrier T8 4 epings T8	1 cadre T8 1 étrier T8 4 epin T8	1 cadre T8 1 étrier T8 4 epin T8	
e <sub>0</sub> (N <sub>max</sub> , M) cm		200	168,88	127,5	74,92	
Solllicitations		SPC	SPC	SPC	SPC	
VERIFICATIONS	$\bar{\sigma}'_b$ kg/cm <sup>2</sup>	206,4	206,4	188,1	153,08	
	$\bar{\sigma}'_{b1}$ "	84,11	52,74	34,75	11,41	
	$\bar{\sigma}'_{b2}$ "	-	-	-	-	
	$\bar{\sigma}'_{a1}$ "	945,722	604,285	424,26	150,517	
	$\bar{\sigma}'_{a2}$ "	$\bar{\sigma}_a = 1581,77$	$\bar{\sigma}_a = 891,35$	$\bar{\sigma}_a = 352,57$	$\bar{\sigma}_a = 15,49$	



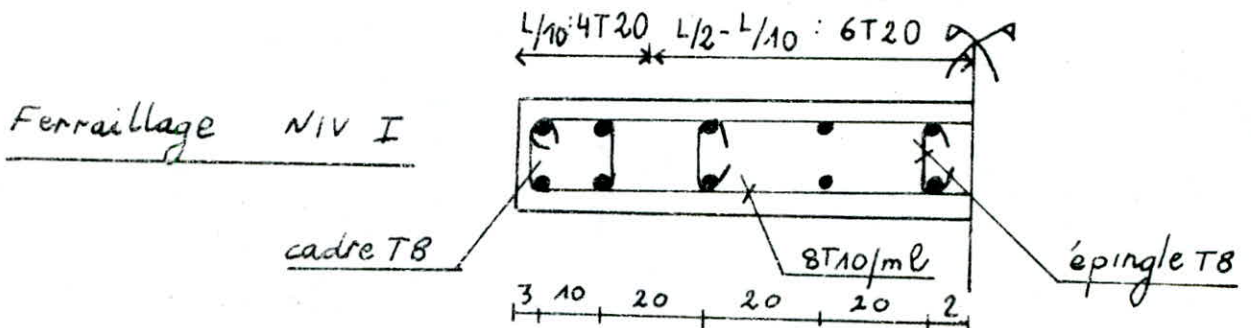
VOILE :		TRUMEAU : 1				L = 1,5 m			
VY 4		NIV I	NIV II	NIV III	NIV IV				
N <sub>min</sub> (t)		-351,117	-243,33	-110,148	-31,151				
N <sub>max</sub> (t)		525,661	367,7	188,364	73,2				
M (t.m)		3,69	2,15	1,31	0,68				
e <sub>0</sub> (N <sub>min</sub> , M) cm		1,05	0,88	1,189	2,18				
e <sub>1</sub> (cm)		25	25	25	25				
Solicitations		S. E. T	S. E. T	S. E. T	S. E. T				
ARM. VERTICALES	A <sub>1</sub> =A <sub>2</sub> (cm <sup>2</sup> ) adopté	49	31,4	11,3	11,3				
	ZONE: L/10	4T25 t = 10cm	4T20 t = 10cm	4T12 t = 10cm	4T12 t = 10cm				
	ZONE: L/2 - L/10	6T25 t = 20cm	6T20 t = 20cm	6T12 t = 20cm	6T12 t = 20cm				
	Potelet	4T25	4T20	4T12	4T12				
ARM. HORIZON	ZONE COURANTE	2x8T10/ml t = 14cm	2x8T10/ml t = 14cm	2x8T10/ml t = 14cm	2x8T10/ml t = 14cm				
	ZONE RECOUVR	2x8T10/ml t = 14cm	2x8T10/ml t = 14cm	2x8T10/ml t = 14cm	2x8T10/ml t = 14cm				
ARM TRANSVERSALES		1 cadre 4 ép. T8	1 cadre 4 ép. T8	1 cadre 4 ép. T8	1 cadre 4 ép. T8				
e <sub>0</sub> (N <sub>max</sub> , M) cm		0,7	0,58	0,695	0,928				
Solicitations		S. E. C	S. E. C	S. E. C	S. E. C				
VERIFICATIONS	$\bar{\sigma}_b'$ Kg/cm <sup>2</sup>	104,16	104	104,15	104,48				
	$\bar{\sigma}_{b1}'$ "	90,03	68,92	57,84	22,66				
	$\bar{\sigma}_{b2}'$ "	86	66,2	54,97	21,17				
	$\bar{\sigma}_{a1}'$ "	1344,3	1029,81	863	338				
	$\bar{\sigma}_{a2}'$ "	1296	997,09	828	320				



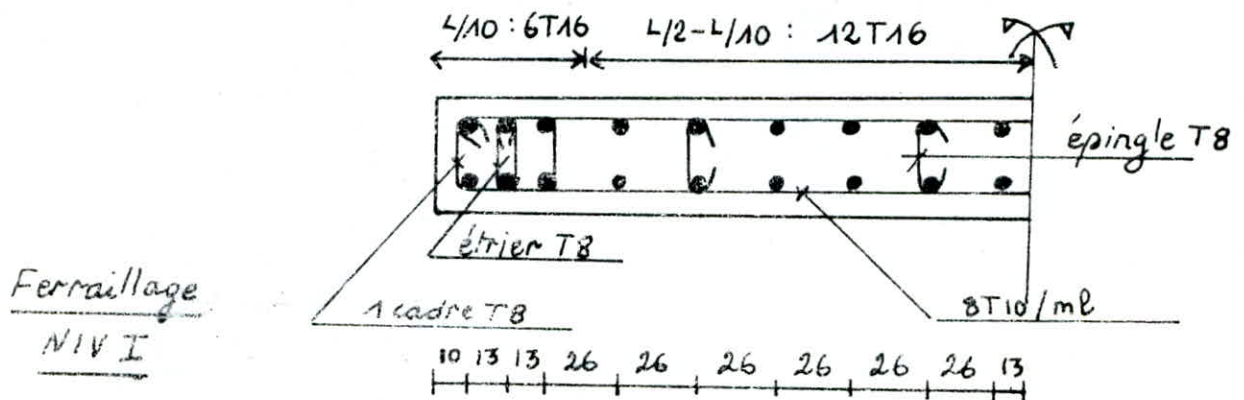
VOILE :		TRUMEAU : 2				L = 5,1 m	
VY 4		NIV I	NIV II	NIV III	NIV IV		
N <sub>min</sub> (t)		-220,073	-148,855	-51,039	0,589		
N <sub>max</sub> (t)		708,797	497,107	270,047	117,171		
M (t.m)		145,7	85,02	51,73	26,97		
e <sub>0</sub> (N <sub>min</sub> , M) cm		66,2	57,11	101,35	4578,94		
e <sub>1</sub> (cm)		85	85	85	85		
Solicitations		SET	SET	SET	SPC		
ARM. VERTICALES	A <sub>1</sub> =A <sub>2</sub> (cm <sup>2</sup> )	39,78	39,78	27,12	21,52		
	ZONE: L/10	6T16+2T14 e = 12,5 cm	6T16+2T14 e = 12,5 cm	8T12 e = 12,5 cm	8T12 e = 12,5 cm		
	ZONE: L/2 - L/10	16T14 e = 25 cm	16T14 e = 25 cm	16T12 e = 25 cm	16T10 e = 25 cm		
	Potelet	6T16 + 2T14	6T16 + 2T14	8T12	8T12		
ARM. HORIZON	ZONE COURANTE	2x 10T10/ml e = 11 cm	2x 10T10/ml e = 11 cm	2x 10T10/ml e = 11 cm	2x 10T10/ml e = 11 cm		
	ZONE RECOUVR	2x 10T10/ml e = 11 cm	2x 10T10/ml e = 11 cm	2x 10T10/ml e = 11 cm	2x 10T10/ml e = 11 cm		
ARM. TRANSVERSALES		2 cadres 4 épingles T8	2 cadres 4 épingles T8	2 cadres 4 épingles T8	2 cadres 4 épingles T8		
e <sub>0</sub> (N <sub>max</sub> , M) cm		20,55	17,1	19,15	123,01		
Solicitations		SEC	SEC	SEC	SEC		
VERIFICATIONS:	$\bar{\sigma}'_b$ Kg/cm <sup>2</sup>	111,52	110,122	110,95	112,51		
	$\sigma'_{b1}$ "	52,71	35,82	29,69	13,65		
	$\sigma'_{b2}$ "	33,23	24,45	19,34	8		
	$\sigma'_{a1}$ "	761,54	520,33	429,88	196,53		
	$\sigma'_{a2}$ "	527,68	383,865	305,702	129,798		



VOILE :		TRUMEAU : 1				L = 1,5 m	
VY5		NIV I	NIV II	NIV III	NIV IV		
N <sub>min</sub> (t)		-247,082	-168,779	-73,26	-17,98		
N <sub>max</sub> (t)		430,607	299,748	156,29	62,89		
M (t.m)		4,27	2,76	1,7	0,89		
e <sub>0</sub> (N <sub>min</sub> , M) cm		1,73	1,64	2,32	4,95		
e <sub>1</sub> (cm)		25	25	25	25		
Solicitations		S. E. T	S. E. T	S. E. T	S. E. T		
ARM. VERTICALES	A <sub>1</sub> =A <sub>2</sub> (cm <sup>2</sup> )	31,4	24,62	11,3	11,3		
	ZONE: L/10	4T20 t=10cm	4T20 t=10cm	4T12 t=10cm	4T12 t=10cm		
	ZONE: L/2-L/10	6T20 t=20cm	6T16 t=20cm	6T12 t=20cm	6T12 t=20cm		
Potelet		4T20	4T20	4T12	4T12		
ARM. HORIZON	ZONE COURANTE	2x 8T10/ml t=14cm	2x 8T10/ml t=14cm	2x 8T10/ml t=14cm	2x 8T10/ml t=14cm		
	ZONE RECOUVAT	2x 8T10/ml t=14cm	2x 8T10/ml t=14cm	2x 8T10/ml t=14cm	2x 8T10/ml t=14cm		
ARM TRANSVERSALES		1cadre 4 épingle T8	1cadre 4 épingle T8	1cadre 4 épingle T8	1cadre 4 épingle T8		
e <sub>0</sub> (N <sub>max</sub> , M) cm		0,99	0,92	1,08	1,41		
Solicitations		S. E. C	S. E. C	S. E. C	S. E. C		
VERIFICATIONS	$\bar{\sigma}_b'$ Kg/cm <sup>2</sup>	104,56	104,46	104,69	105,14		
	$\bar{\sigma}_{b1}'$ "	81,83	59	48,67	19,81		
	$\bar{\sigma}_{b2}'$ "	76,42	55,35	44,94	17,86		
	$\bar{\sigma}_{a1}'$ "	1219,39	880,67	724,462	294,22		
	$\bar{\sigma}_{a2}'$ "	1154,41	835,9	679,76	270,82		



VOILE :		TRUMEAU : 2				L = 4,1m	
VY5		NIV I	NIV II	NIV III	NIV IV		
N <sub>min</sub> (t)		-148,19	-97,28	-28,16	6,38		
N <sub>max</sub> (t)		570,297	398,51	219,14	96,91		
M (t.m)		87,51	56,67	34,93	18,38		
e (N <sub>min</sub> /M) cm		59,05	58,25	124	288		
e <sub>1</sub> (cm)		68,33	68,33	68,33	68,33		
Solllicitations		SET	SET	SET	SPC		
ARM. VERTICALES	A <sub>1</sub> =A <sub>2</sub> (cm <sup>2</sup> )	36,18	36,18	25,62	25,62		
	ZONE: L/10	6T16 e=13cm	6T16 e=13cm	6T16 e=13cm	6T16 e=13cm		
	ZONE: L/2-L/10	12T16 e=26cm	12T16 e=26cm	12T12 e=26cm	12T12 e=26cm		
	Potelet	6T16	6T16	6T16	6T16		
ARM. HORIZON	ZONE COURANTE	2x 8T10/ml e=14cm	2x 8T10/ml e=14cm	2x 8T10/ml e=14cm	2x 8T10/ml e=14cm		
	ZONE RECOUVRT	2x 11T10/ml e=10cm	2x 11T10/ml e=10cm	2x 11T10/ml e=10cm	2x 11T10/ml e=10cm		
ARM. TRANSVERSALES		1cadre 4 ep T8 1 étrier	1cadre 4 ep T8 1 étrier	1cadre 4 ep T8 1 étrier	1cadre 4 ep T8 1 étrier		
e (N <sub>max</sub> /M) cm		15,34	14,22	15,93	18,96		
Solllicitations		SEC	SEC	SEC	SEC		
VERIFICATIONS:	$\bar{\sigma}_b$ / Kg/cm <sup>2</sup>	110,92	110,36	111,22	112,748		
	$\sigma'_{b1}$ "	51,5	35,54	29,71	13,58		
	$\sigma'_{b2}$ "	33,7	24	19,15	8,02		
	$\sigma'_{a1}$ "	745,93	515,76	429,9	195,44		
	$\sigma'_{a2}$ "	532,25	377,39	303,11	128,72		



CHAP X

FERRAILLAGE  
DES  
ELEMENTS

## CALCUL DE L'ACROTÈRE

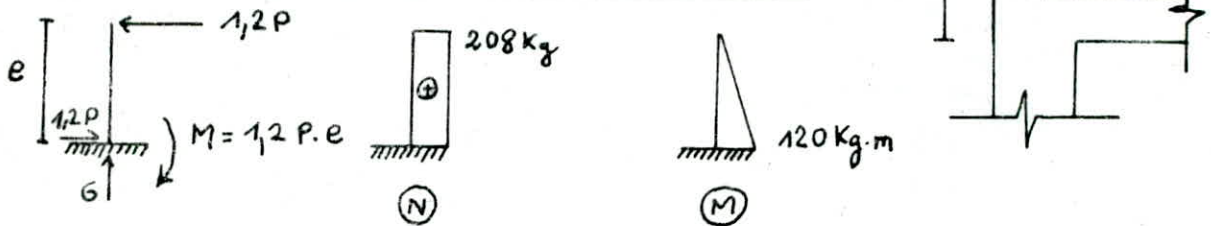
L'acrotère est encadré sur le plancher terrasse et se calcule comme une console.

### CHARGE ET SURCHARGE

Poids propre de l'acrotère :  $G = 208 \text{ Kg/ml}$

Surcharge : main courante :  $S = 1,2 \times 100 = 120 \text{ Kg/ml}$

### SCHEMA STATIQUE ET EVALUATION DES EFFORTS :



Ferrailage : Le calcul se fait en flexion composée

excentricité :  $e_0 = M/N = 57,6 \text{ cm} > \frac{h_t}{2} = 6 \text{ cm}$  La section est partiellement comp.

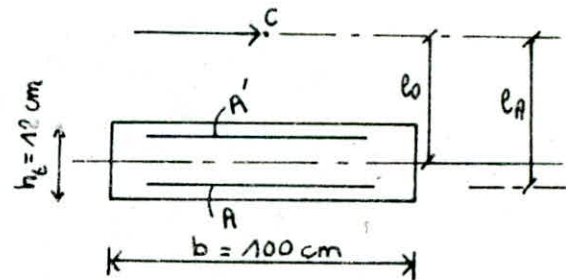
$$\bar{\sigma}_{b_0}' = 68,8 \text{ Kg/cm}^2$$

$$\bar{\sigma}_b' = \text{Min} \left[ \bar{\sigma}_{b_0}' \left( 1 + \frac{e_0}{3e_n} \right); 2\bar{\sigma}_{b_0}' \right] = 137,6 \text{ Kg/cm}^2$$

Moment Fictif :

$$M_b = N'e_A = N' \left( e_0 + \frac{h_t}{2} - d \right)$$

$$= 0,208 \cdot 0,616 = 0,128 \text{ t.m}$$



Moment résistant de la section :  $M_{rb} = \frac{1}{2} \bar{\sigma}_b' \alpha \bar{\sigma} b (h_t - d)^2$

$$= \frac{1}{2} \cdot 137,6 \cdot 0,444 \cdot 0,858 \cdot 100 \cdot 10^2 = 2,5 \text{ t.m}$$

calcul des Armatures :

$$M_b < M_{rb} \rightarrow \begin{cases} A' = 0 \\ A = \frac{M_b}{\bar{\sigma} h \bar{\sigma}_a} - \frac{N}{\bar{\sigma}_a} = \frac{0,128 \cdot 10^5}{0,858 \cdot 10 \cdot 2800} - \frac{208}{2800} = 0,46 \text{ cm}^2 \end{cases}$$

cette section étant faible ; on adoptera une section minimale imposée par la condition de non fragilité du béton.

$$A_{\text{min}} = \tilde{\omega} b h = 0,69 \frac{\bar{\sigma}_b}{\bar{\sigma}_{\text{en}}} \cdot b \cdot h = 0,69 \cdot \frac{5,9}{4200} \cdot 100 \cdot 10 = 0,97 \text{ cm}^2$$

on adoptera 5 $\phi$ 6/ml espacés de 25 cm (1,41 cm<sup>2</sup>)



## VERIFICATIONS :

### Condition de non fissuration :

$$K = 1,5 \cdot 10^6 \text{ (fissuration peu nuisible)}$$

$$\eta = 1,6 \text{ acier H.A}$$

$$\phi = 6\text{mm}; \tilde{\omega}_f = \frac{A}{2bd} = \frac{1,41}{2 \times 100 \times 2} = 0,0035$$

$$\sigma_1 = \frac{Kh}{\phi} \cdot \frac{\tilde{\omega}_f}{1 + 10\tilde{\omega}_f} = 1362 \text{ Kg/cm}^2$$

$$\sigma_2 = 2,14 \sqrt{\frac{Kh}{\phi} \cdot \bar{\sigma}_b} = 3687 \text{ Kg/cm}^2$$

$\sigma_2 > \bar{\sigma}_a$  donc pas de risque de fissuration.

### Cisaillement :

$$\tau_b = \frac{T}{b \cdot z} = \frac{120}{100 \cdot \frac{7 \cdot 10}{8}} = 0,137 \text{ Kg/cm}^2 < 1,15 \bar{\sigma}_b$$

Les armatures transversales ne sont pas nécessaires mais pour éviter tout risque de fissuration excessive on mettra des Armatures de répartition  $3\phi 6/\text{ml}$

### Verification au seisme Local :

Conformément à l'article 3.3.9 du RPA 81, Les éléments de structure Secondaire doivent être calculés sous l'action des forces horizontales

Suivant la formule.  $F_p = Z I C_p W_p$

Le produit  $Z I$  : dépend de la zone et du groupe d'usage du Batiment,

Dans notre cas zone II et groupe d'usage 2. par conséquent  $Z I = 0,6$

$C_p = 0,8$  (élément de console)

$W_p$  : poids de l'élément

$$\text{d'où } F_p = 208 \times 0,6 \times 0,8 = 99,84 \text{ Kg/ml} < 1,2 P = 120 \text{ Kg/ml}$$

L'acrotère est calculée avec un effort supérieur à l'effort Sismique donc L'acrotère est vérifiée au seisme Local.

## CALCUL DES BALCONS

Les Balcons sont encastres dans les planchers et seront calculés en console soumise à son poids propre et au poids du garde Corps.

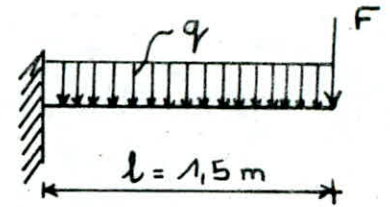
### EVALUATION DES CHARGES :

charge permanente :

$$G = 510 \text{ kg/m}^2$$

Surcharge :

$$P = 350 \text{ kg/m}^2$$



$$q = G + 1,2P = 510 + 1,2 \cdot 350 = 930 \text{ kg/m}^2$$

poids du garde corps : 100 kg/ml

Soit par ml :  $q = 930 \times 1 = 930 \text{ kg/ml} = 0,93 \text{ t/ml}$

$$F = 100 \times 1 = 100 \text{ kg} = 0,1 \text{ t}$$

### CALCUL DES SOLLICITATIONS :

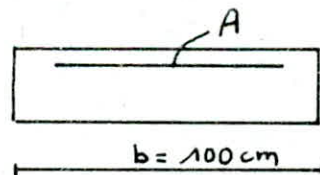
moment à l'encastrement :  $M = q \frac{l^2}{2} + Fl = \frac{0,93 \cdot 1,5^2}{2} + 0,1 \times 1,5 = 1,2 \text{ t} \cdot \text{m}$

effort tranchant :  $T = ql + F = 0,93 \cdot 1,5 + 0,1 = 1,5 \text{ t}$

### CALCUL DU FERRAILLAGE : (méthode M<sup>2</sup> pierre Charon)

$$\mu = \frac{15M}{\bar{\sigma}_a \cdot b \cdot h^2} = 0,038 \rightarrow \begin{cases} \epsilon = 0,9169 \\ k = 45,2 \end{cases}$$

$$15 = h_t$$



$$\begin{aligned} h_t &= 15 \text{ cm} \\ d &= 2 \text{ cm} \\ h &= 13 \text{ cm} \\ b &= 100 \text{ cm} \end{aligned}$$

$$\bar{\sigma}_b' = \frac{\bar{\sigma}_a}{k} = \frac{2800}{45,2} = 61,94 < \bar{\sigma}_b' = 137 \text{ kg/cm}^2$$

$$A = \frac{M}{\bar{\sigma}_a \cdot \epsilon \cdot h} = \frac{1,2 \cdot 10^5}{2800 \cdot 0,9169 \cdot 13} = 3,6 \text{ cm}^2$$

on prendra 6HA10/ml (4,71 cm<sup>2</sup>)  
espacement  $e = 20 \text{ cm}$ .

### Armatures de répartition :

elles seront prise telle que  $A_r = \frac{A}{4} = \frac{4,71}{4} = 1,17 \text{ cm}^2$

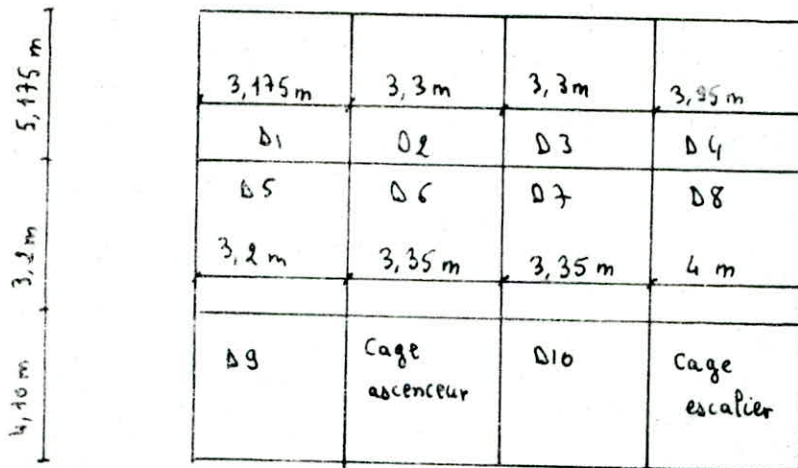
on prendra 6HA6/ml (1,69 cm<sup>2</sup>) esp.  $e = 20 \text{ cm}$ .

verifications : Les conditions de non fragilité de non fissuration et la verification au cisaillement sont satisfaites.

## Calcul des planchers

1<sup>er</sup> cas : Planchers du 1<sup>er</sup>, 2<sup>e</sup> et 3<sup>e</sup> étage

Identification des dalles épaisseur = 16 cm



On a dans ce cas : charge permanente  $G = 648 \text{ kg/m}^2$   
 surcharge d'exploitation  $S = 400 \text{ kg/m}^2$

Dans notre cas  $S \leq 2G$ .

Méthode de calcul :

Notre plancher étant à faible surcharge, nous avons opté pour l'utilisation de la méthode forfaitaire des C.C.B.A 68, article 55; les conditions d'utilisation de cette méthode étant vérifiées dans notre cas :

- fissuration considérée non préjudiciable
- éléments solidaires ont une section constante dans leurs différentes travées.

Moments fléchissants pris en compte:

Détermination de  $M_0$

Pour une dalle uniformément chargée reposant sur 4 côtés librement, les moments  $M$  au centre de la plaque par bande de largeur unité sont donnés par :

$$\begin{cases} M_x = \mu_x \cdot q \cdot P_x^2 \\ M_y = \mu_y \cdot M_x \end{cases} \quad q = G + 1,2P$$

$\mu_x$  et  $\mu_y$  sont donnés dans l'annexe 2 des C.C.B.A 68 en fonction de  $g = \frac{P_x}{P_y}$

$q$  : charge uniformément répartie sur toute la surface =  $1128 \text{ kg/m}^2$  dans notre cas  
 $P_x, P_y$  : dimensions du panneau mesurées entre nus d'appui

$$P_x \leq P_y \quad 0,4 \leq \frac{P_x}{P_y} \leq 1$$

Pour les valeurs des moments, on adoptera les valeurs suivantes :

- travée intermédiaire
  - { moments en travée :  $0,75 M_0$
  - { moments sur appui :  $0,5 M_0$
- travée de rive
  - { moment en travée :  $0,85 M_0$
  - { moment sur appui de rive :  $0,3 M_0$
  - { moment sur appui intermédiaire :  $0,5 M_0$

l'écartement des armatures est  $\leq 33 \text{ cm}$  dans la direction la plus sollicitée  
 $\leq 45 \text{ cm}$  dans la direction perpendiculaire.

Il serait fastidieux d'exposer les calculs pour tous les panneaux de dalle, on donnera seulement le résultat final :

On a opté, afin d'avoir une rapidité d'exécution, pour un quadrillage unique pour tous les panneaux de dalle. Ce quadrillage constituera les armatures inférieures des panneaux : quadrillage en T8 avec des mailles carrées  $20 \text{ cm} \times 20 \text{ cm}$ .

Pour les armatures supérieures, on prendra dans tous les cas  $4 \text{ T8/m}$ ,  $t = 33 \text{ cm}$ , la longueur des chapeaux sera égale à  $150 \text{ cm}$ .

Nous avons calculé la flèche pour le panneau le plus sollicité : D4. La méthode utilisée est celle préconisée par les C.C.B.A 68, article 61

charges à prendre en considération :

- charges permanentes appliquées au moment de la mise en œuvre des cloisons :  $s = 400 \text{ kg/m}^2$
- ensemble des charges permanentes :  $648 \text{ kg/m}^2 = g$
- charge + surcharge :  $1048 \text{ kg/m}^2 = q$

$$\left\{ \begin{array}{l} E_i = 21000 \sqrt{628} \\ E_v = 7000 \sqrt{628} \end{array} \right. \quad 628 = 270 \text{ bars}$$

On trouve :  $f_{g20} = 0,146 \text{ cm}$        $f_{j0} = 0,02389 \text{ cm}$   
 $f_{q0} = 0,196 \text{ cm}$        $f_{g0} = 0,0636 \text{ cm}$

d'où  $\Delta f_t = 0,254 \text{ cm}$       flèche admissible =  $395/500 = 0,79 \text{ cm}$   
 $\Delta f_t < 0,79 \text{ cm}$

2<sup>e</sup> cas : Plancher terrasse      épaisseur des panneaux :  $16 \text{ cm}$

$G = 750 \text{ kg/m}^2$   
 $p = 100 \text{ kg/m}^2$   
 d'où  $q = 870 \text{ kg/m}^2$

$\left. \begin{array}{l} 5,175 \text{ m} \\ 3,20 \text{ m} \\ 4,10 \text{ m} \end{array} \right\}$	D1 3,3 m	D2 3,3 m	D3 3,95 m
	D4 3,35 m	D5 3,35 m	D6 4 m
	D7 3,35 m	D8 3,35 m	D9 4 m

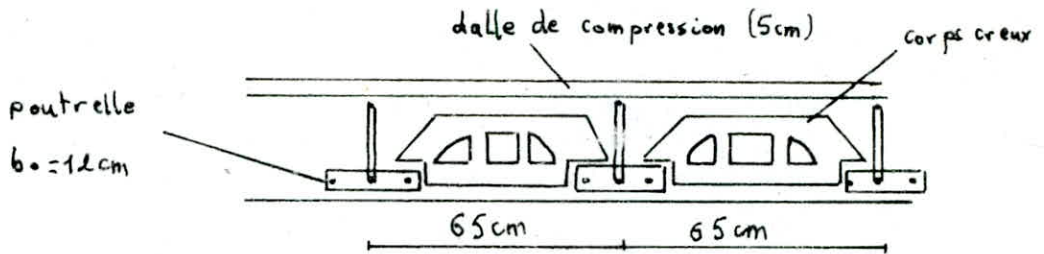
On a opté finalement pour le plancher terrasse, pour un quadrillage unique pour tous les panneaux de dalle : quadrillage en T8 avec des mailles 25 cm x 25 cm.

Pour les armatures supérieures, on prendra 4 T8/ml, longueur des chapeaux: 150 cm

Le calcul pour le panneau D3 de la flèche donne  $\Delta f_t = 0,208 \text{ cm} < f_{adm} = 0,79 \text{ cm}$

### 3<sup>e</sup> cas : Calcul des planchers des étages courants

Ces planchers sont constitués de poutrelles préfabriquées possédant des armatures en attente et de hourdis creux constituant des éléments de remplissage



### Calcul de la dalle de compression

Le calcul nous donne comme armatures : un quadrillage  $\varnothing 5$  en treillis soudés avec des mailles 30 cm x 30 cm

### Calcul des poutrelles

Nous retiendrons pour le calcul le cas le plus défavorable. Les poutrelles seront calculées comme si elles reposaient sur des appuis libres à l'extrémité. Par mesure de sécurité, des armatures supérieures seront disposées à ces extrémités pour pouvoir équilibrer un moment d'encastrement éventuel.

Nous devons envisager 2 cas

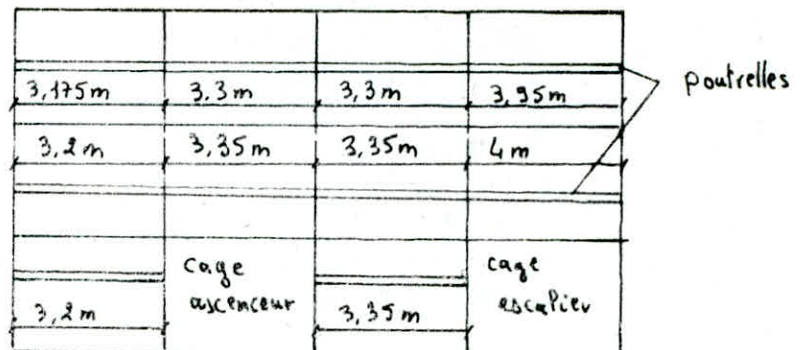
- Calcul de la poutrelle sous son poids propre, ce calcul correspond au moment de la pose de la poutrelle
- Calcul de la poutrelle sollicitée par la sollicitation globale.

Nous ferons seulement le calcul du 2<sup>e</sup> cas, celui-ci étant plus défavorable

### Disposition des poutrelles

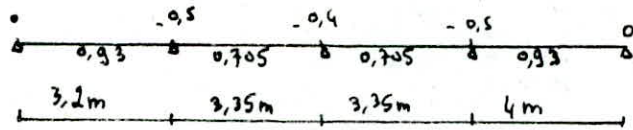
Nous disposerons les poutrelles dans le sens indiqué par la figure →

Les distances entre axes des poutrelles est de 65 cm



sollicitation  $G = 573 \text{ kg/m}^2$   $P = 175 \text{ kg/m}^2$  D'où  $S = 783 \text{ kg/m}^2$   
 La charge revenant à la poutrelle est  $783 \cdot 0,65 = 510 \text{ kg/ml}$

Nous avons plusieurs types de schémas statiques, celui qui nous donne les moments les plus grands est celui que nous étudierons



$$M_0^{\max} = 510 \cdot \frac{4^2}{8} = 1020 \text{ kg.m}$$

$$M_t^{\max} = 0,93 \cdot M_0^{\max} = 948,6 \text{ kg.m}$$

$$M_a^{\max} = 0,5 M_0^{\max} = 510 \text{ kg.m}$$

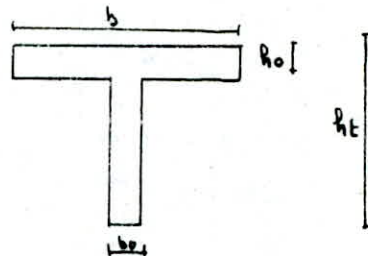
### Calcul des armatures

$$b_0 = 12 \text{ cm}$$

$$h_0 = 5 \text{ cm}$$

$$h_t = 25 \text{ cm} \quad d = 2 \text{ cm}$$

$$h = 23 \text{ cm} \quad b = 65 \text{ cm}$$



Le ferrailage se fera suivant la méthode de Pierre Charon

On trouve :

- En travée :  $A = 3 \text{ T}10$

- Sur appui :  $A = 1 \text{ T}12$

Toutes les vérifications (non fissuration, non fragilité, à l'effort tranchant, vérification des contraintes et de la flèche) ont été faites et sont positives.

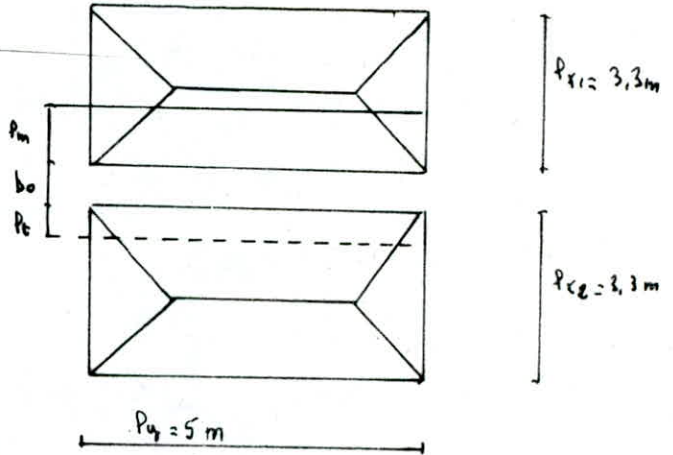
# Calcul des poutres

les poutres ayant les mêmes caractéristiques géométriques seront réparties de la même manière sur tous les niveaux en prenant le cas le plus défavorable étant donné que les différences du point de vue chargement ne conduisent pas à des grandes différences dans le ferrailage

Exemple : Poutres 1-2-3-4-5-10-11-12  $b_0 = 35 \text{ cm}$   $h_t = 50 \text{ cm}$

$$p = P_x / P_y = 3,3 / 5,175 = 0,6376 > 0,4$$

D'où les charges se répartissent (de la dalle) suivant le schéma suivant :



$$\begin{cases} P_m = (0,5 - p^2/6) \cdot P_x = 1,426 \text{ m} \\ P_t = (0,5 - p/4) \cdot P_x = 1,124 \text{ m} \end{cases}$$

$$\begin{cases} L_m = 2P_m + b_0 \\ L_t = 2P_t + b_0 \end{cases} \Rightarrow \begin{cases} L_m = 3,202 \text{ m} \\ L_t = 2,598 \text{ m} \end{cases}$$

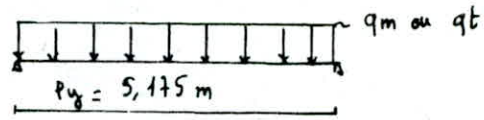
- Sollicitations  $G + 1,2 P = G_k + 1,2 \cdot 400 = 1128 \text{ kg/m}^2$   
Retombée :  $2500 \cdot 0,35 (0,5 - 0,16) = 297,5 \text{ kg/m}$

Pour le calcul du moment on a  $q_m = 3,202 \cdot 1128 + 297,5 = 3,91 \text{ t/m}$

Pour le calcul de l'effort tranchant on a  $q_t = 2,598 \cdot 1128 + 297,5 = 3,31 \text{ t/m}$

schéma statique

$$\begin{cases} M_0 = q_m P_y^2 / 8 \\ T_0 = q_t P_y / 2 \end{cases} \Rightarrow \begin{cases} M_0 = 12,219 \text{ t.m} \\ T_0 = 8,54 \text{ t} \end{cases}$$

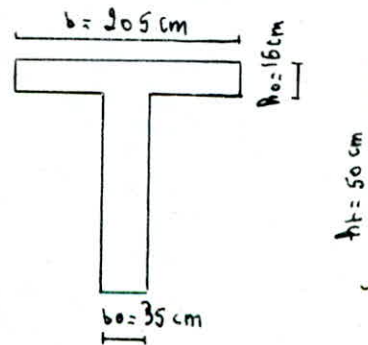


Largeur de la table de compression : On prendra au maximum de chaque côté de la nervure :

- La moitié de la distance entre les faces voisines de 2 nervures consécutives :  $330 / 2 = 165 \text{ cm}$
- Le sixième de la distance entre points de moments nuls :  $5,175 / 6 = 86 \text{ cm}$
- 6 à 8  $R_0$  ( $R_0$  : épaisseur de la dalle) :  $96 \text{ cm}$

D'où le schéma de calcul :

$$h = 45 \text{ cm}$$



Calcul du ferrailage

$$\text{On trouve } A = 11,02 \text{ cm}^2$$

$$\text{Pourcentage minimal du RPA81 : } 5,25 \text{ cm}^2$$

On armera avec 4 T20

Aux appuis, on prévoiera 4 T12 pour équilibrer des moments d'encastrement éventuels

Armatures transversales

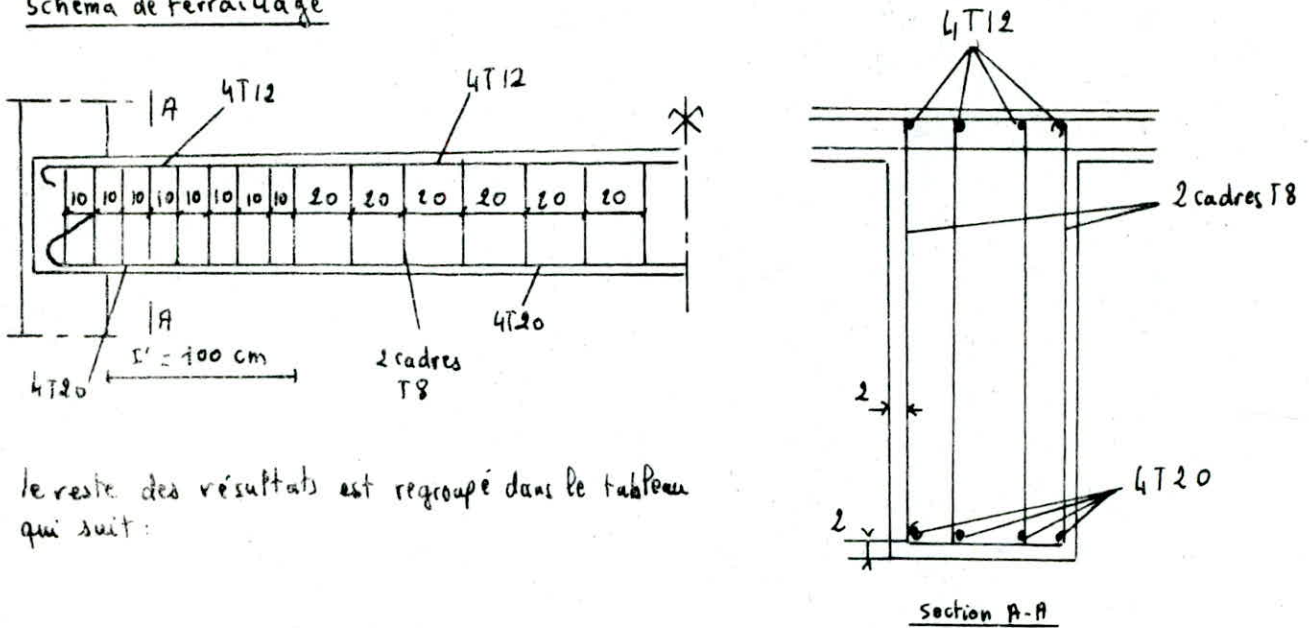
$T = 8,54 \text{ t}$        $\tau_b = 8,54 \cdot 10^3 / (35 \cdot \frac{7}{8} \cdot 45) \Rightarrow \tau_b = 6,196 \text{ kg/cm}^2 < 1,15 \bar{\sigma}_b$

- Zone nodale :  $t \leq \text{Min} (R/4; 12 \phi; 30 \text{ cm}) \Rightarrow t = 10 \text{ cm sur } I' = 100 \text{ cm}$
- En dehors de la zone nodale  $t \leq R/2 \Rightarrow t = 20 \text{ cm}$

$A_t = \max \left\{ \begin{array}{l} (\tau_{\text{max}} \cdot t) / (\bar{\sigma}_a \cdot \gamma) \\ 0,003 \cdot t \cdot b_0 \text{ (RPA)} \end{array} \right. \Rightarrow A_t = \max \left\{ \begin{array}{l} 0,774 \text{ cm}^2 \\ 1,05 \text{ cm}^2 \end{array} \right.$        $\bar{\sigma}_a = 2800 \text{ kg/cm}^2$

On prendra donc 2 cadres T8

schéma de Ferrailage



le reste des résultats est regroupé dans le tableau qui suit :

Poutres	Armatures longitudinales			Choix	Armatures transversales	
	Armatures inférieures	Armatures supérieures			écartement	
		Zone nodale	Zone courante		Zone nodale	Zone courante
6-7-8-9	3T16	3T12	3T10	2 cadres T8	10 cm	20 cm
13-15	3T16	3T12	3T10	2 cadres T8	10 cm	20 cm
14	4T16	4T12	4T10	2 cadres T8	10 cm	20 cm
16	4T16	4T12	4T10	2 cadres T8	10 cm	20 cm
17-18	3T16	3T12	3T10	2 cadres T8	10 cm	20 cm



## FERRAILLAGE DES POTEAUX :

Les poteaux seront ferrillés de la même manière sur 3 niveaux consécutifs en tenant compte des prescriptions de l'article 4.2.3.1 du RPA 81.

### EXEMPLE DE CALCUL :

Poteaux du ADC ; 1<sup>o</sup> et 2<sup>o</sup> étage. (section 35 x 55 cm<sup>2</sup>)

Effort Normal 230t.

### contraintes de travail :

$$\bar{\sigma}_b' = \bar{\sigma}_{b_0}' = 68,8 \text{ Kg/cm}^2 \text{ et } \bar{\sigma}_a' = n \bar{\sigma}_b' = 1032 \text{ Kg/cm}^2 < \bar{\sigma}_a' = 2800 \text{ Kg/cm}^2.$$

calcul des Armatures longitudinales porteurs :

$$A' = \frac{N' - B' \bar{\sigma}_b'}{n \bar{\sigma}_b'} = \frac{230 \cdot 10^3 - 35 \cdot 55 \cdot 68,8}{15 \cdot 68,8} = 94,53 \text{ cm}^2 \rightarrow 20 \text{ HA } 25 \text{ (98 cm}^2)$$

### VERIFICATION DES CONTRAINTES :

$$\sigma_b' = \frac{N'}{B' + n A'} = \frac{230 \cdot 10^3}{35 \cdot 55 + 15 \cdot 98} = 67,7 \text{ Kg/cm}^2 < \bar{\sigma}_{b_0}'$$

$$\sigma_a' = n \sigma_b' = 15 \times 67,7 = 1016,2 \text{ Kg/cm}^2 < \bar{\sigma}_a'$$

### ARMATURES TRANSVERSALES :

$$\phi_t \approx 0,3 \phi_{Lmax} = \phi 8$$

Les espacements des armatures transversales sont imposés par l'article 4.2.3.1.2 du RPA 81.

Zone courante :  $t' \leq 12 \phi$  Zone II  $\rightarrow t' \leq 30 \text{ cm}$  on prend  $t = 25 \text{ cm}$

Zone de recouvrement :  $t \leq \text{Min} (10 \phi ; 15 \text{ cm})$  on prend  $t = 10 \text{ cm}$

Longueur de recouvrement :  $l_r = 50 \phi = 50 \times 2,5 = 125 \text{ cm}$ .

$A_t$  : 2 cadres  
HA8

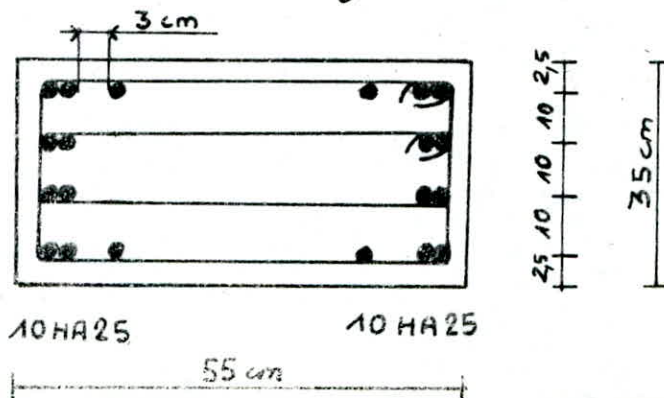


TABLEAU DONNANT LE FERRAILLAGE DES POTEAUX

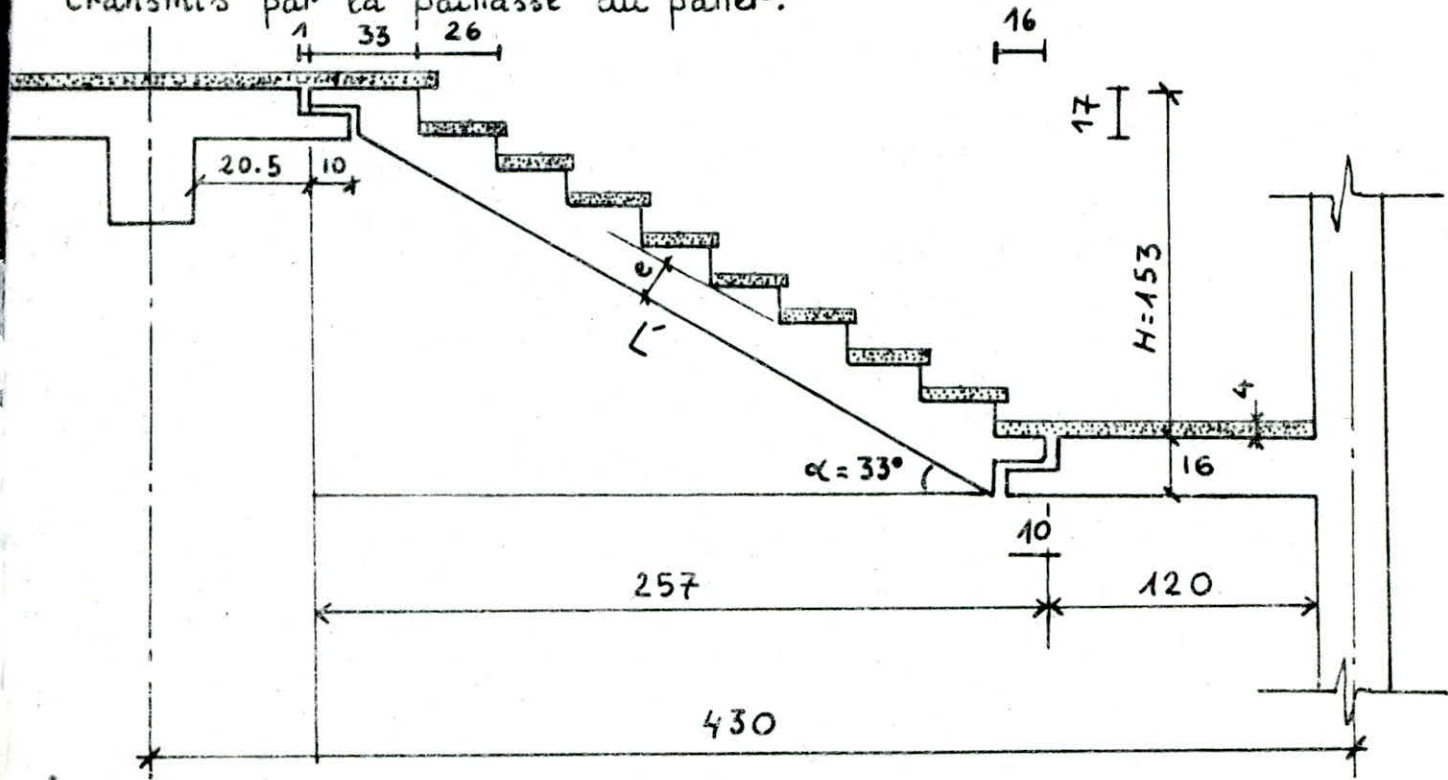
Poteaux des étages	EFFORT NORMAL (t)	A'calculé (cm <sup>2</sup> )	choix des Armatures	contraintes (Kg/cm <sup>2</sup> )		ARM TRANS-VERSALES	espacement des A. T (cm)		Longueur de recouvrement (cm)	Section
				$\sigma_b'$	$\sigma_a'$		Zone COUR	ZONE RECOU		
RDC 1° 2°	230	94,53	20 HA 25 (98 cm <sup>2</sup> )	67,7	1016,2	2 Cadres HA8	25	10	125	I
3° 4° 5°	200	65,46	12 HA 20 8 HA 25 (76,88 cm <sup>2</sup> )	64,97	974,6	2 Cadres HA8	20	12	100	II
6° 7° 8°	160	26,7	8 HA 20 4 HA 16 (33,16 cm <sup>2</sup> )	66,05	990,75	2 Cadres HA8	20	12	100	III
9° 10° 11°	110	A'min 19,63	8 HA 20 (25,13 cm <sup>2</sup> )	47,78	716,78	2 Cadres HA8	20	12	100	IV
12° 13° 14°	60	A'min 19,63	8 HA 20 (25,13 cm <sup>2</sup> )	20,06	391	2 cadres HA8	20	12	100	V
15°	20	A'min 19,63	8 HA 20 (25,13 cm <sup>2</sup> )	8,69	130,3	2 cadres HA8	20	12	100	VI

77

· Le pourcentage minimum des armatures Longitudinales est de 1% en zone II soit 19,63 cm<sup>2</sup>  
 · La quantité d'armatures transversales minimales :  $A_t = 0,004 \times S \times b_1$  en zone II

# ESCALIERS

Les escaliers prévus sont constitués de volées préfabriquées en béton armé.  
 Les paliers sont en dalle pleine d'épaisseur 16cm. La jonction "palier-volée" est armée par des becquets, qui par scellement s'opposent à l'effort transmis par la paillasse au palier.



## DIMENSIONS :

hauteur de marche :  $h = 17 \text{ cm}$

giron :  $g = 26 \text{ cm}$

Emmarchement :  $1,50 \text{ m}$

hauteur de la volée :  $1,53 \text{ m}$

$\alpha$  : inclinaison de la paillasse / Horiz.

$$\alpha = \arctg \frac{h}{g} = 33^\circ$$

nombre de marches  $n = \frac{H}{h} = 9$

portée horizontale de la volée  $L = 2,57 \text{ m}$

$L'$  : longueur développée  $L' = \frac{L}{\cos \alpha}$

Revêtement :  $4 \text{ cm}$

Prédimensionnement de l'épaisseur de la paillasse :

$$\frac{L'}{30} \leq e \leq \frac{L'}{20} \quad \text{avec} \quad L' = \frac{L}{\cos \alpha} = 307 \quad 10,2 \leq e \leq 15,35 \text{ cm} \rightarrow e = 12 \text{ cm}$$

Vérification de la relation de Blondel :  $0,59 \leq g + 2h \leq 0,66$

$$g + 2h = 0,60 \quad \text{vérifié}$$

## CALCUL : 1 - volée (calcul de la paillasse)

### 1.1 : charges et surcharges dans la volée préfabriquée :

$$\left. \begin{array}{l} G = 770 \text{ kg/m}^2 \\ Q = 250 \text{ kg/m}^2 \end{array} \right\} q = G + 1,2 Q = 1070 \text{ kg/m}^2 \\ = 1070 \times 1,5 = 1605 \text{ kg/ml}$$

$$\text{Soit } q = 1,6 \text{ t/ml}$$

### 1.2 : évaluation des sollicitations :

Le moment fléchissant en travée pourra être calculé par référence à la poutre sur deux appuis simples, de portée égale à la distance horizontale ( $L$ ), et supportant le même système de charges que la volée préfabriquée ( $q$  t/ml).

#### équilibre Statique :

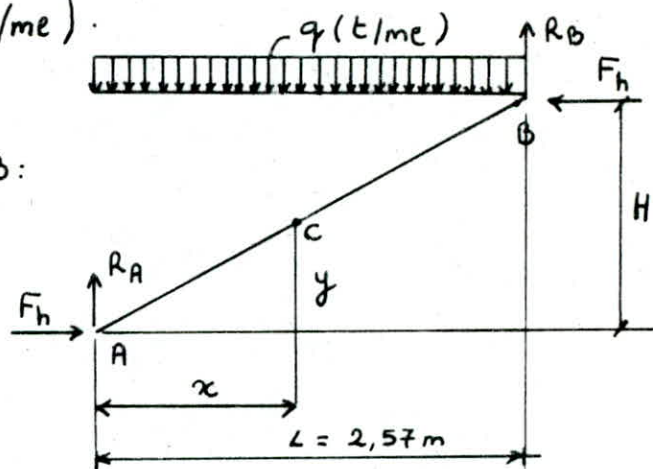
Moment des forces par rapport au point B :

$$R_A \cdot L - q \frac{L^2}{2} - F_h \cdot H = 0$$

$$\text{d'où } R_A = \frac{qL}{2} + F_h \cdot \frac{H}{L} \quad (1)$$

et

$$R_B = \frac{qL}{2} - F_h \cdot \frac{H}{L} \quad (2)$$



Moment des forces au pt c d'abscisse  $x$  :

$$M = R_A x - q \frac{x^2}{2} - F_h \cdot x \frac{H}{L}$$

$$= \frac{qL}{2} x + F_h \frac{H}{L} x - q \frac{x^2}{2} - F_h \cdot x \frac{H}{L}$$

$$= \frac{qL}{2} x - q \frac{x^2}{2} ; \text{ pour } x = \frac{L}{2}$$

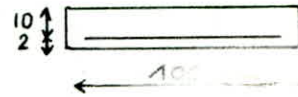
$$\underline{M = \frac{qL^2}{8}}$$

### 1.3 FERRAILLAGE :

La section est rectangulaire et soumise à la flexion simple, on adoptera la méthode de M<sup>r</sup>. Pierre Charon.

Données:  $M = \frac{7L^2}{8} = 1,32 \text{ t.m} = 1,32 \cdot 10^5 \text{ Kg.cm}$ ;  $h_t = e = 12 \text{ cm}$ ;  $h = h_t - d = 10 \text{ cm}$

$b = 100 \text{ cm}$ ;  $\bar{\sigma}_a(\text{Sp}_1) = 2800 \text{ Kg/cm}^2$



$\mu = \frac{15M}{\bar{\sigma}_a \cdot b \cdot h^2} = 0,0707$   $\left\{ \begin{array}{l} K = 30,9 \\ E = 0,8911 \end{array} \right.$   $\sigma'_b = \frac{\bar{\sigma}_a}{K} < \bar{\sigma}_b'$

$A = \frac{M}{\bar{\sigma}_a E h} = 5,29 \text{ cm}^2$  soit 7HA10/ml ( $5,49 \text{ cm}^2$ ) esp.  $e = 16 \text{ cm}$ .

Armatures de répartition:

elles sont adoptées telle que leur section soit prise forfaitairement au 1/4 des Armatures principales.  $A_r = \frac{1}{4} \cdot 5,49 = 1,37 \text{ cm}^2$  soit 7HA6/ml ( $1,97 \text{ cm}^2$ ) esp.  $e = 16 \text{ cm}$ .

Armatures transversales:  $Z_b = \frac{T_{\max}}{b \cdot \bar{\sigma}_b}$

$T_{\max} = q \frac{l}{2} = 1,6 \times \frac{2,57}{2} = 2,056 \text{ t}$ ;  $b = 100 \text{ cm}$ ;  $\bar{\sigma}_b = \frac{7}{8} h = 8,75$

d'où  $Z_b = 2,35 \text{ Kg/cm}^2 < 1,15 \bar{\sigma}_b$  il n'est pas utile d'utiliser des Armatures transversales.

VERIFICATIONS:

a) condition de non fissuration:

$\sigma_1 = 2012 \text{ Kg/cm}^2$   $\sigma_2 = 3110,75 \text{ Kg/cm}^2 > \bar{\sigma}_a = 2800 \text{ Kg/cm}^2$   
pas de risque de fissuration.

b) flèche:

La flèche admissible sera limitée au 1/300 de la portée horizontale "L"  
La flèche en travée est donnée par  $f = \frac{5}{384} \frac{q l^4}{EI}$  qui doit être inférieure à  $\bar{f}$ .  
 $E = 7000 (\sigma'_y)^{1/2} = 7000 (270)^{1/2} = 117250 \text{ Kg/cm}^2$ .

(E: module de déformation longitudinal)

$I = \frac{b h^3}{12} = \frac{150 \times 10^3}{12} = 12500 \text{ cm}^4$ ;  $q = 16 \text{ Kg/cm}$ ;  $L = 257 \text{ cm}$

d'où  $f = 0,62 \text{ cm} < \bar{f} = 0,85 \text{ cm}$ .

c) Vérification des contraintes de l'acier:

$\tilde{\omega} = \frac{A}{b \cdot h} \times 100 \left| \begin{array}{l} A = 5,49 \text{ cm}^2 \\ b = 100 \text{ cm} \\ h = 10 \text{ cm} \end{array} \right. \Rightarrow \tilde{\omega} = 0,549 \rightarrow \left\{ \begin{array}{l} K = 30,2 \\ E = 0,8911 \end{array} \right.$

$\bar{\sigma}_a = \frac{M}{A \cdot E \cdot h} = \frac{1,32 \cdot 10^5}{5,49 \cdot 0,8911 \cdot 10} = 2703,36 \text{ Kg/cm}^2 < \bar{\sigma}_a = 2800 \text{ Kg/cm}^2$

d) condition de non fragilité:

$A > 0,69 b \cdot h \cdot \frac{\bar{\sigma}_b}{\bar{\sigma}_{en}}$  avec

$b = 100 \text{ cm}$

$h = 10 \text{ cm}$

$\bar{\sigma}_b = 6,96 \text{ Kg/cm}^2$

$\bar{\sigma}_{en} = 4200 \text{ Kg/cm}^2 (\phi < 20)$

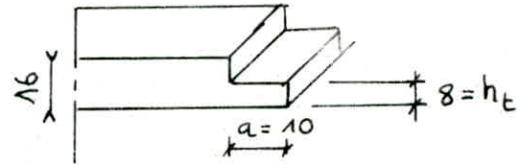
d'où  $5,49 \text{ cm}^2 > 1,14 \text{ cm}^2$  (vérifié)

## 2. CALCUL DU BECQUET :

### 2.1 dimensions :

La hauteur des becquets d'appui ne sera pas inférieure à 7cm (DTU 50207EC) on choisira une hauteur  $h_b = 8$  cm, pour le becquet de la volée et du palier.

### 2.2 EVALUATION DE LA CHARGE SUR LE BECQUET : "P" DTU (SOCOTEC)



Les efforts verticaux et horizontaux sollicitants les becquets peuvent être remplacés par une charge verticale d'intensité égale au poids total de la volée surchargée ( $q$ ), majorée par le coefficient de comportement ( $\gamma_q$ ) qui tient compte des résultats d'essais de la résistance des becquets et met en évidence les phénomènes de rupture prématurée.

$$P = qL \gamma_q$$

$$q = \text{poids de la volée surchargée} : 1,6 \text{ t/ml}$$

$$L = \text{Longueur horizontale de la volée} : 2,57 \text{ m}$$

$$\gamma_q = 1,2$$

$$\text{d'où } P = 5 \text{ t}$$

2.3 Sollicitations : La section de l'armature en boucle des becquets d'appui, sera dimensionnée en prenant comme portée la distance ( $l$ ) entre les plans verticaux V et W, sans que cette portée soit inférieure à ( $a + 3$  cm), ni inférieure à  $h_b$ .

$$l \geq \begin{cases} 13 \text{ cm} \\ 8 \text{ cm} \end{cases} \Rightarrow l = 14 \text{ cm} \quad M = P \cdot l = 0,7 \text{ t.m}$$

### 2.4 Ferrailage :

$$\mu = \frac{15M}{\sigma_a b h^2} = 0,104$$

$$\begin{cases} \varepsilon = 0,8721 \\ k = 24,1 \end{cases}$$

$$\sigma_b' = \frac{\sigma_a}{k} < \sigma_b'$$

$$A = \frac{M}{\sigma_a \cdot \varepsilon \cdot h} = 4,77 \text{ cm}^2$$

on adoptera

7 boucles  $\phi 10/\text{ml}$  ( $5,49 \text{ cm}^2$ )

esp.  $c = 16 \text{ cm}$

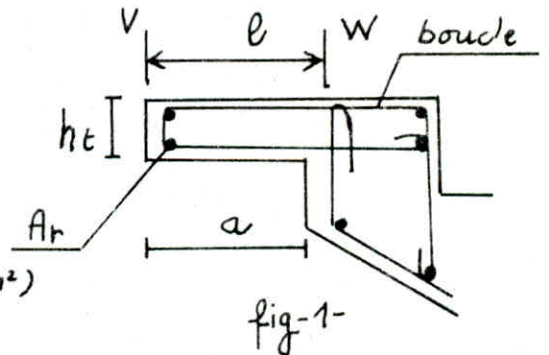


fig-1-

2.5 Armatures de répartition :  $A_r = \frac{1}{4} A = 1,37 \text{ cm}^2$  soit  $4\phi 8 = 2,01 \text{ cm}^2$

2.6 Vérification au cisaillement : Pour le calcul de la contrainte tangente

dans le béton du becquet, la valeur de  $\gamma_q$  est égale à 1.

$$\text{d'où } P = 1 \times 1,6 \times 2,57 = 4,112 \text{ t} = T_{\text{max}}$$

$$\tau_b = \frac{T_{\text{max}}}{b \cdot z} = 7,83 \text{ Kg/cm}^2$$

$$< 1,15 \bar{\sigma}_b = 8 \text{ Kg/cm}^2$$

Il n'est pas utile d'utiliser des Arm. transversales.

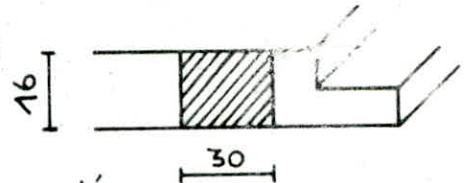
### 2.7 Dispositions constructives (DTU)

i) L'armature des becquets devra être réalisée au moyen de boucles (fig 1) ou de cadres fermés

ii) L'espacement des boucles ne sera pas supérieur à deux fois la section d'encastrement du becquet.

### 3. CALCUL DE LA POUTRE PALIERE :

La poutre palier est une poutre incorporée (noyée) dans le palier ; elle sert d'appui pour ce dernier et reprend les efforts que transmet la volée au becquet. on choisit  $b = 30 \text{ cm}$ .



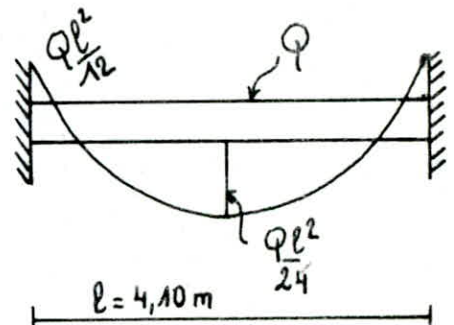
#### 3.1 charge et surcharge (DTU)

La charge agissant sur la poutre palier "Q", et transmise par l'élément préfabriqué (volée) au droit de chaque appui (haut et bas) sera prise égale à  $0,7q$  ( $q$  : poids de la volée surchargée)

$$Q = 0,7q = 0,7 \times 1,07 = 0,749 \text{ t/m}^2$$

#### 3.2 FERRAILLAGE :

Le calcul se fait en flexion simple, la portée de la poutre correspond à la longueur totale du palier.



#### calcul des Armatures inférieures (travée)

$$M_t = \frac{Ql^2}{24} ; \left. \begin{array}{l} Q = 0,74 \times 2,57 = 1,9 \text{ t/ml} \\ l = 4,10 \text{ m} \end{array} \right\} M = 1,33 \text{ t.m}$$

$$\mu = \frac{15M}{\bar{\sigma}_a b h^2} \left| \begin{array}{l} b = 30 \text{ cm} \\ h = 16 - 2 = 14 \text{ cm} \end{array} \right. \mu = 0,121 \left\{ \begin{array}{l} k = 21,8 \\ \epsilon = 0,8641 \end{array} \right. \left. \begin{array}{l} A = \frac{M}{\bar{\sigma}_a \cdot \epsilon \cdot h} = 3,92 \text{ cm}^2 \\ \text{on adoptera } 4 \text{ HA } 12 (4,52 \text{ cm}^2) \end{array} \right.$$

#### calcul des Armatures supérieures (appui) : (méthode des forces)

$$M_a = \frac{Ql^2}{12} = 2,66 \text{ t.m} \quad \sigma_a' = 1362 \text{ Kg/cm}^2 < \bar{\sigma}_a'$$

$$A' = \frac{M - \frac{1}{2} \sigma_b' b x (h - x/3)}{\sigma_a' (h - d')} = 7,31 \text{ cm}^2 \rightarrow 4 \text{ HA } 12 + 2 \text{ HA } 14 = 7,6 \text{ cm}^2$$

$$A = \frac{A' \sigma_a' + \frac{1}{2} \sigma_b' b x}{\sigma_a} = 7,9 \text{ cm}^2 \rightarrow 7 \text{ HA } 12 = 7,96 \text{ cm}^2$$

### Armatures transversales :

$$T = \varphi \cdot \frac{\ell}{2} = 3,805 \text{ t} \quad z_b = \frac{T}{b \times \frac{7}{8} \times h} = 10,59 < \bar{z}_b = 3,5 \bar{\sigma}_b$$

$$A_t = \frac{t \cdot T}{z \cdot \bar{\sigma}_{at}} \quad T = 3,805 \text{ t} ; \quad z = \frac{7}{8} (14) ; \quad \bar{\sigma}_{at} = \frac{2}{3} \cdot 4200$$

$t$  (écartement des cadres)

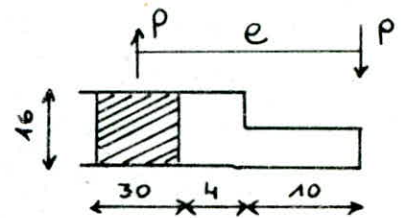
$$t \leq \text{Max} \begin{cases} h \cdot (1 - 0,3 \frac{z_b}{\bar{\sigma}_b}) \\ 0,2 h : 0,2 \times 14 \end{cases}$$

d'où  $A_t = 0,9 \text{ cm}^2$  soit 2 HA 8 ( $1 \text{ cm}^2$ )  $t = 8 \text{ cm}$ .  
minimum 1 cadre T8

Remarque : La résistance à la torsion de la poutre incorporée étant généralement faible, des armatures supérieures perpendiculaires à la poutre devront être disposées, pour équilibrer le couple  $P \times e$ .

$$\left. \begin{array}{l} P = 1,9 \times 3 = 5,7 \text{ t} \\ e = 29 \text{ cm} \end{array} \right\} M = P \cdot e = 1,653 \text{ t} \cdot \text{m}$$

$$\mu = \frac{15 M}{\bar{\sigma}_a b h^2} = 0,045 \quad \left\{ \begin{array}{l} E = 0,9104 \\ K = 40,8 \end{array} \right.$$

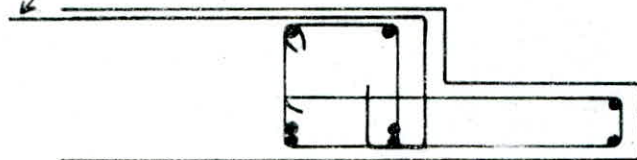


$$A = \frac{M}{\bar{\sigma}_a E h} = 4,63 \text{ cm}^2 \rightarrow 6 \text{ HA } 10 / \text{ml} \quad \text{espacement } t = 20 \text{ cm}. \\ (\text{4,71 cm}^2)$$

Vérification des contraintes :

$$\left\{ \begin{array}{l} \omega = 0,330 \quad K = 40,3 \quad \sigma_b' = 69,47 \text{ kg/cm}^2 < \bar{\sigma}_b' \\ E = 0,9096 \quad \sigma_a = \frac{M}{A E h} = 2755 \text{ kg/cm}^2 < \bar{\sigma}_a \end{array} \right.$$

Armatures perpendiculaires à la poutre



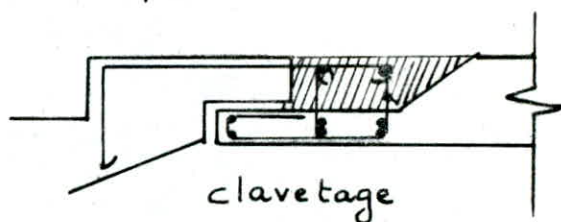


## Liaison " volée - Palier " :

Elle est assurée par une bande de béton, coulée sur place, reliant sur toute la largeur de la volée, après recouvrement des armatures sortant de la volée préfabriquée et du palier. Cette solution permet d'obtenir une plus grande résistance de la dalle palière, et une meilleure garantie contre le risque d'effondrement de la volée.

L'acier de liaison sera calculé pour la charge  $q = 1,6 \times 2,57 = 4,112 \text{ t}$

$$\text{d'où } A = \frac{q}{\sigma_a} = \frac{4,112}{2800} = 1,47 \text{ cm}^2 \text{ soit } 3\text{HA}8/\text{ml} \text{ ( } 1,5 \text{ cm}^2 \text{)}$$



## Calcul des armatures en crochet :

Poids propre de la paillasse  $G = 770 \text{ Kg/m}^2$

$$G = 770 \times 1,5 \times 2,57 = 2968,35 \text{ Kg}$$

Poids propre majoré :  $P = 1,2 G = 3562 \text{ Kg}$

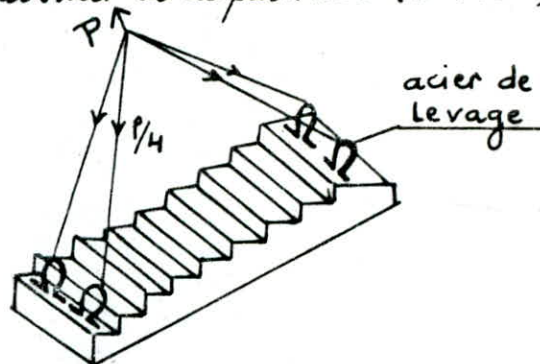
on dispose de 4 crochets sur les extrémités de la paillasse

$$\text{d'où } T = \frac{P}{4} = 890,5 \text{ Kg} \quad A = \frac{T}{\sigma_a} = 0,31 \text{ cm}^2$$

on placera un crochet  $\phi 8$  ( $0,5 \text{ cm}^2$ ) à chaque extrémité. Les Aciers seront Ancrés sur une distance égale à l'épaisseur de la paillasse ( $e = 14 \text{ cm}$ )

Remarque : dès que la pose

est achevée, vérifiée on sectionne les Aciers

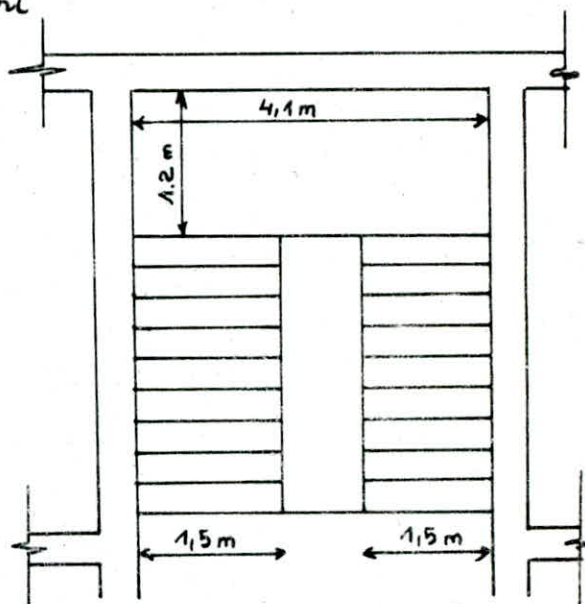
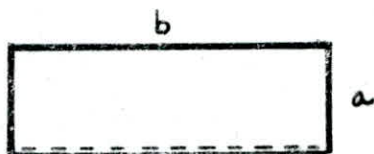


#### 4. CALCUL DES PALIERS :

Les paliers sont considérés comme des dalles pleines - pour le calcul on utilisera les Tables de M<sup>r</sup> BARES (TABLES POUR LE CALCUL DES Dalles et des parois).

Le palier est encastré sur 3 côtés simplement appuyé sur le 4<sup>ème</sup> côté :

- Encastré dans les voiles
  - Simply appuyé sur la poutre palière
- $l_x = a = 1,2\text{ m}$   
 $l_y = b = 4,1\text{ m}$



#### charges et Surcharges :

Poids propre du palier  $535\text{ Kg/m}^2$

Poids de la volée considéré comme uniformément répartie :  $G_v = 770\text{ Kg/m}^2$

Surcharge majorée du palier et de la volée  $2 \times 250\text{ Kg/m}^2$ .

$$q = (535 + 770) + 1,2 \times (2 \times 250) = 1905\text{ Kg/m}^2 = 1,905 \times 1,5 = 2,85\text{ t/m}$$

Sollicitations : (Table Bares)

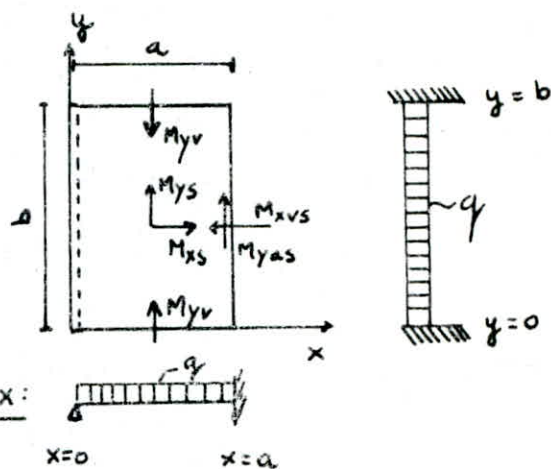
$\gamma = \frac{a}{b} = 0,3$      $\mu = 0,15$  coefficient de poisson pour le béton armé :

on tire de la table des valeurs suivantes :

$m_{xs} = 0,0694$      $m_{yv} = 0,011$

$m_{ys} = 0,004$      $m_{xvs} = 0,136$

Les valeurs suivantes  $qa^2$ ,  $qb^2$  sont des facteurs multiplicateurs :



- Moment fléchissant au milieu de la portée Sens x :

$$M_{xs} = m_{xs} \times qa^2 = \underline{0,28\text{ t.m}}$$

Moment fléchissant au milieu de la portée sens y :

$$M_{ys} = m_{ys} \times q b^2 = 0,05 \text{ t.m}$$

Moment fléchissant d'appui dans le sens y à l'encastrement :

$$M_{yv} = m_{yv} \times q b^2 = 0,53 \text{ t.m}$$

Moment fléchissant d'appui dans le sens x à l'encastrement :

$$M_{xvs} = m_{xvs} \times q a^2 = 0,55 \text{ t.m}$$

Ferrailage :

en travée sens x :  $\mu = \frac{15 \cdot 0,28 \cdot 10^5}{2800 \cdot 100 \cdot 14^2} = 0,008 \rightarrow \begin{cases} E = 0,9597 \\ k = 109 \end{cases} \quad \sigma_b' = \frac{\bar{\sigma}_a}{k} = 25,7 \text{ kg/cm}^2 < \bar{\sigma}_b'$

$$A = \frac{0,28 \cdot 10^5}{2800 \cdot 0,9597 \cdot 14} = 0,74 \text{ cm}^2 \quad \text{on adoptera } A_{tx} = 4T8/\text{ml} \quad (2,01 \text{ cm}^2)$$

esp.  $t = 30 \text{ cm}$

en travée sens y :  $\frac{l_x}{l_y} < 0,4$  on arme avec une section minimale  $A_{ty} = \frac{A_{tx}}{4}$   
on adoptera  $A_{ty} = 3T6/\text{ml} \quad (0,84 \text{ cm}^2)$

appui sens x :

$$\mu = \frac{15 \cdot 0,55 \cdot 10^5}{2800 \cdot 100 \cdot 14^2} = 0,015 \rightarrow \begin{cases} E = 0,9457 \\ k = 77 \end{cases} \quad \sigma_b' = \frac{\bar{\sigma}_a}{k} = 36,4 \text{ kg/cm}^2 < \bar{\sigma}_b'$$

$$A = \frac{0,55 \cdot 10^5}{2800 \cdot 0,9457 \cdot 14} = 1,48 \text{ cm}^2 \quad \text{soit } 4T8/\text{ml} \quad (2,01 \text{ cm}^2)$$

appui sens y : de la même manière on adoptera 4T8/ml

VERIFICATIONS :

1) contraintes (en travée)  $\tilde{w} = \frac{100 \cdot A}{b h} = 0,143 \rightarrow \begin{cases} E = 0,9379 \\ k = 65,5 \end{cases}$

$$\sigma_a = \frac{M}{A E h} = \frac{0,28 \cdot 10^5}{401 \cdot 0,9379 \cdot 14} = 1060,9 \text{ kg/cm}^2 < \bar{\sigma}_a$$

$$\sigma_b' = \frac{\bar{\sigma}_a}{k} = 42,74 \text{ kg/cm}^2 < \bar{\sigma}_b$$

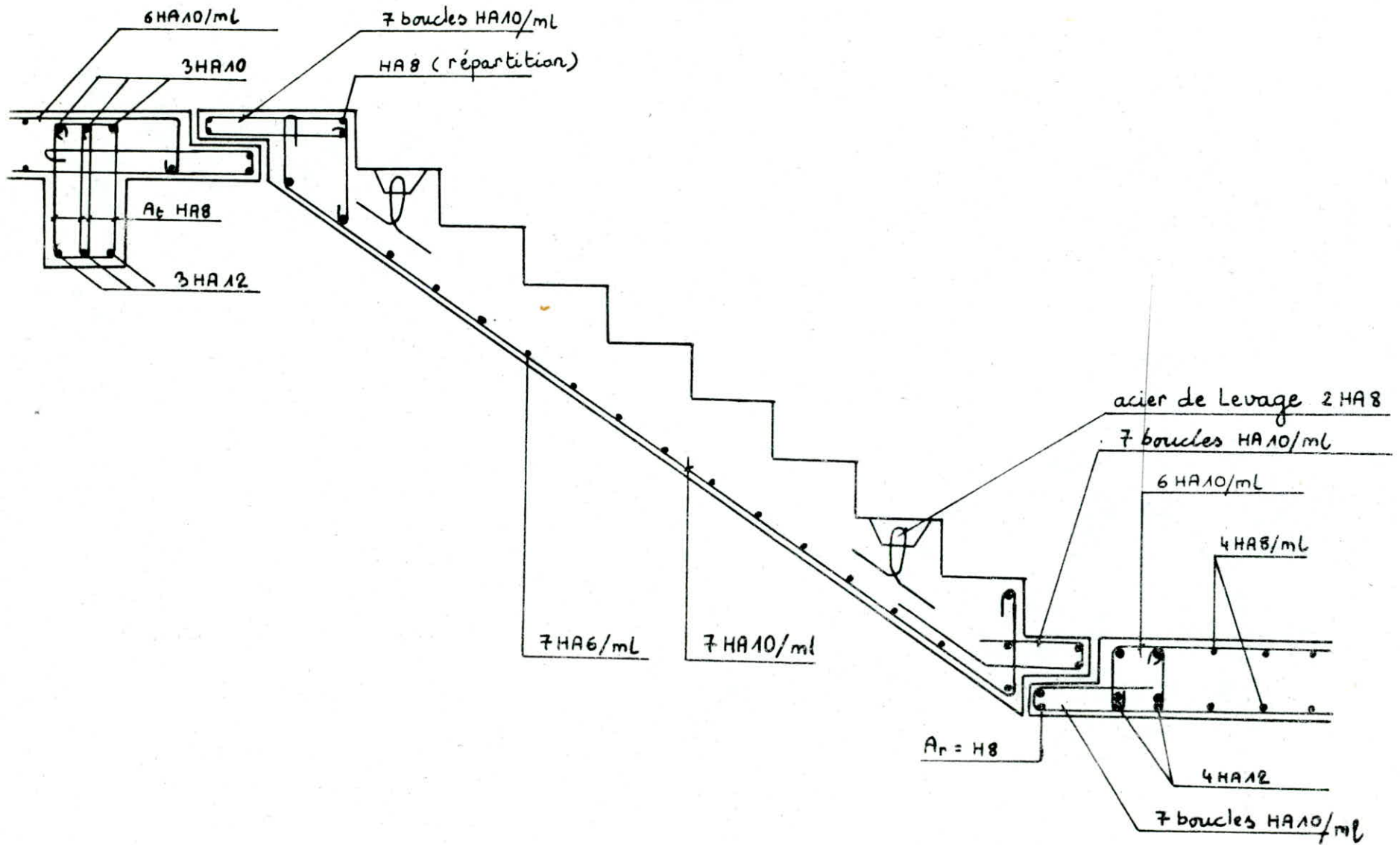
2) condition de non fissuration :  $\sigma_1 = 1435,37 \text{ kg/cm}^2$  ;  $\sigma_2 = 3165,8 \text{ kg/cm}^2 \Rightarrow \bar{\sigma}_a = 2800 \text{ kg/cm}^2$

3) condition de non fragilité :  $\varphi = a/b = 0,3$

sens x :  $A > 0,68 b \cdot \frac{h \cdot \bar{\sigma}_b}{\sigma_{cr}} \left(1 - \frac{\varphi}{2}\right) = 0,99 \text{ cm}^2$

sens y :  $A > 0,69 b \cdot \frac{h \cdot \bar{\sigma}_b}{\sigma_{cr}} \left(\frac{1+\varphi}{4}\right) = 0,43 \text{ cm}^2$

vérifié.



## Calcul du mur de soutènement

Le mur de soutènement se présente comme indiqué sur la figure. On prévoira des contreforts de 0,35 m d'épaisseur espacés de 4 m d'axe en axe

Faute d'étude de sol, on prendra les valeurs suivantes:

- Poids spécifique des terres:  $1800 \text{ kg/m}^3$
- angle du talus naturel:  $45^\circ$
- contrainte admissible du sol de fondation  $G_s = 2 \text{ kg/cm}^2$
- coefficient de frottement béton-terre:  $f = 0,3$

Forces à considérer

Poussée horizontale  $Q$ :  $Q = A \cdot D \cdot h^2/2$

Pour 1 parement vertical  $A = \frac{1}{2} \left( \frac{H}{4} - \frac{\phi}{2} \right)$

$A = 0,1715$  dans notre cas

$D$ : poids spécifique des terres =  $1800 \text{ kg/m}^3$

$h$ : hauteur du mur =  $7 \text{ m}$

$Q = 0,1715 \cdot 1800 \cdot 7^2/2 \Rightarrow Q = 7564 \text{ kg}$  à  $7/3$  au dessus de la base =  $2,33 \text{ m}$

charges verticales

Rideau:  $2550 \text{ kg}$

semelle:  $1400 \text{ kg}$

Remblai:  $22032$

$A = 25982 \text{ kg}$

Vérifications

au glissement:  $Q/R = 7564/25982 = 0,291 < f = 0,3$  (c'est vérifié)

au renversement: Moment/A des charges verticales =  $M_s$

$M_s = 2550 \cdot 0,877 + 1400 \cdot 1,4 + 22032 \left[ 1 + \frac{(2 \cdot 0,2)/2}{2} \right] \Rightarrow M_s = 46057,15 \text{ kg}\cdot\text{m}$

Moment de renversement:  $M_r = 7564 \cdot 7/3 = 17650 \text{ kg}\cdot\text{m}$

$M_s/M_r = 2,61 > 2$  (c'est vérifié)

Vérification des contraintes

$$\sigma' = \frac{R}{100a} \pm \frac{6M}{100a^2}$$

$M = 7564 \cdot \frac{7}{3} - 25982 \cdot 0,372 \Rightarrow M = 7984,03 \text{ kg}\cdot\text{m}$

On trouve  $\sigma'_A = 1,539 \text{ kg/cm}^2 < G_s$   
 $\sigma'_B = 0,317 \text{ kg/cm}^2 < G_s$

$a$ : Pargeur de la semelle  
 $M$ : moment des forces agissantes par rapport au cdq G de la semelle.

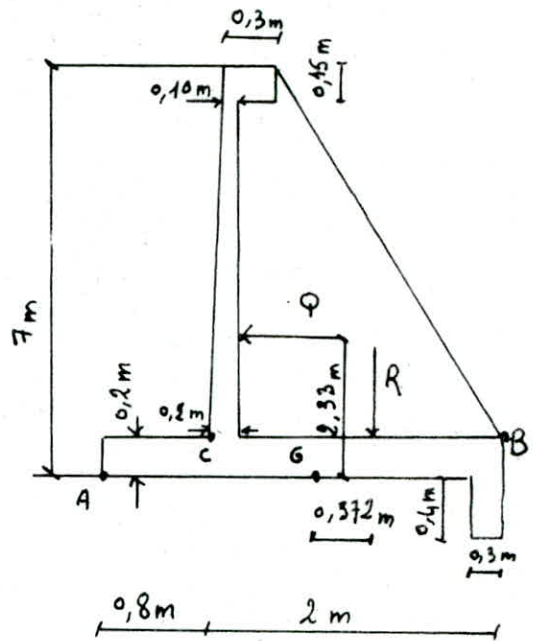
Calcul du rideau

Il sera considéré comme une dalle semi-encastree sur les contreforts et soumise à une charge horizontale. Pour le calcul, on décomposera le rideau en tranches de 1 m à partir du sommet et nous prendrons la pression moyenne dans chaque tranche celle régnant à mi-hauteur. On prendra pour valeurs des moments

$$\begin{cases} M = P \cdot l^2/10 & \text{en travée} \\ M = P \cdot l^2/20 & \text{sur appui} \end{cases}$$

$l$ : portée d'axe en axe des contreforts

$P = A \cdot D \cdot z$ ;  $z$ : profondeur

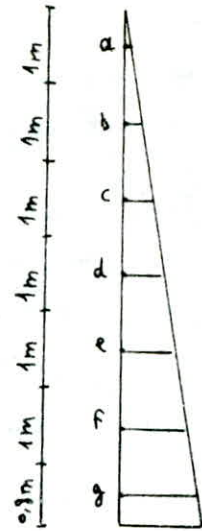


$$P = A \cdot B \cdot z = 0,1715 \cdot 1800 \cdot 2 = 308,7 \cdot 2$$

$$\text{Effort tranchant } T = P/l$$

Les résultats sont résumés dans le tableau suivant :

Points considérés	a	b	c	d	e	f	g
z (m)	0,5	1,5	2,5	3,5	4,5	5,5	6,4
h (cm)	9,5	10	11	13	14	16	17
P (kg/m <sup>3</sup> )	155	463	772	1081	1390	1698	1976
M <sub>r</sub> (kg·m)	247	741	1235	1730	2224	2717	3161
M <sub>a</sub> (kg·m)	124	371	618	865	1112	1359	1581
A inférieures	3T10	4T10	4T12	5T12	5T14	5T14	5T14
A sur appui	3T10	3T10	3T10	4T10	4T10	5T10	5T10
T (kg)	309	326	1544	2162	2780	3396	3952
z <sub>b</sub> (kg/cm <sup>2</sup> )	0,371	1,058	1,603	1,9	2,27	2,42	3,321
A répartition	5T8	5T8	5T8	5T8	5T8	5T8	5T8



les armatures de répartition sont espacées de 25 cm.

Calcul de la semelle Elle est soumise à la réaction du sol, à son poids propre, et aux poids du rideau et des terres supposés répartis uniformément; on obtient le diagramme suivant

Les résultantes des charges sont :

$$\begin{cases} P_1 = 10512 \text{ kg/m} \\ P_2 = 10540 \text{ kg/m} \end{cases}$$

- Partie C-A : elle travaille en console

P<sub>1</sub> agit à 0,417 m de C

$$\text{D'où } M_c = 10512 \cdot 0,417 = 4392 \text{ kg·m/m}$$

$$A = 10,11 \text{ cm}^2 \text{ on prendra } A = 7T14/m$$

- Partie C-B : M<sub>max</sub> = 4392 kg·m/m ⇒ A = 7T14/m

$$z_b = 10512 / (100 \cdot \frac{7}{8} \cdot 17,5) \Rightarrow z_b = 6,88 \text{ kg/cm}^2$$

$$\text{Armatures de répartition: } A_t \geq (t \cdot T_{\max}) / (z \cdot \bar{\sigma}_t) \quad \bar{\sigma}_t = 2800 \text{ kg/cm}^2$$

$$\text{Si on prend } t = 16,5 \text{ cm} \quad A_t \geq 4,05 \text{ cm}^2 \text{ soit } 7T10/m$$

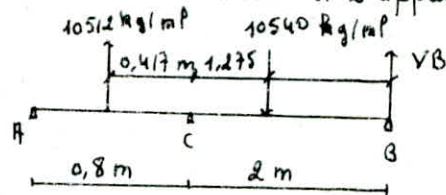
Calcul de la bêche Elle reçoit les réactions de la semelle et s'appuie sur les contreforts

$$\Sigma M/c = 0 \Rightarrow V_B = 8911 \text{ kg/m}$$

Poids propre au dessus de la semelle:

$$0,3 \cdot 0,4 \cdot 2500 = 300 \text{ kg/m}$$

$$\text{D'où } q = 8911 + 300 = 9211 \text{ kg/m}$$



$$\begin{cases} \text{Moments en travées: } q l^2 / 10 \\ \text{Moment sur appui: } q l^2 / 20 \end{cases}$$

On a  $M_t = 14737 \text{ kg}\cdot\text{m}/\text{ml}$        $M_a = 7368 \text{ kg}\cdot\text{m}/\text{ml}$        $h = 54 \text{ cm}$        $b = 30 \text{ cm}$

On trouve - armatures inférieures  $10,69 \text{ cm}^2$  on prendra 4T20  
 - partie supérieure aux appuis  $5,35 \text{ cm}^2$ , d'où 2T20

- Armatures transversales:  $\bar{\sigma}_b = 8911 / (30 \cdot \frac{7}{8} \cdot 56) = 6,962 \text{ kg}/\text{cm}^2$

On prendra un cadre T8       $A_t = 1 \text{ cm}^2$        $\bar{\sigma}_{at} = 2800 \text{ kg}/\text{cm}^2$

$t \leq \frac{1 \cdot 7 \cdot 56 \cdot 2800}{8 \cdot 8911} = 15,4 \text{ cm}$

On prendra donc un cadre T8 tous les 15 cm

Calcul du contrefort

Celui-ci travaille comme une console verticale encastrée dans la semelle. Il est soumis aux efforts transmis par le rideau.

À la base du contrefort, on a:  $p = 0,1715 \cdot 1800 \cdot 6,8 \cdot 4 = 8396 \text{ kg}/\text{m}$

$M_{\max} = p \cdot \frac{p_c}{2} \cdot \frac{p_c}{3} = 8396 \cdot 6,8^2 / 6 = 64705 \text{ kg}\cdot\text{m}$

On prendra { largeur de la table de compression (rideau): 250 cm  
 { hauteur utile  $h = 180 \text{ cm}$

On trouve:  $A = 13,24 \text{ cm}^2$  d'où 3T25

- Armatures transversales:  $\tau = 8396 \cdot 6,8 / 2 = 28546 \text{ kg}$

$\bar{\sigma}_b = 28546 / (35 \cdot \frac{7}{8} \cdot 180) = 5,178 \text{ kg}/\text{cm}^2$

- Armatures transversales résistant à l'effort tranchant produit par le remblai:  
 Pour  $t = 25 \text{ cm}$

$A_t = \frac{28546 \cdot 25}{\frac{7}{8} \cdot 180 \cdot 2800} = 1,62 \text{ cm}^2$

- Armatures transversales résistant à la réaction transmise par le rideau:

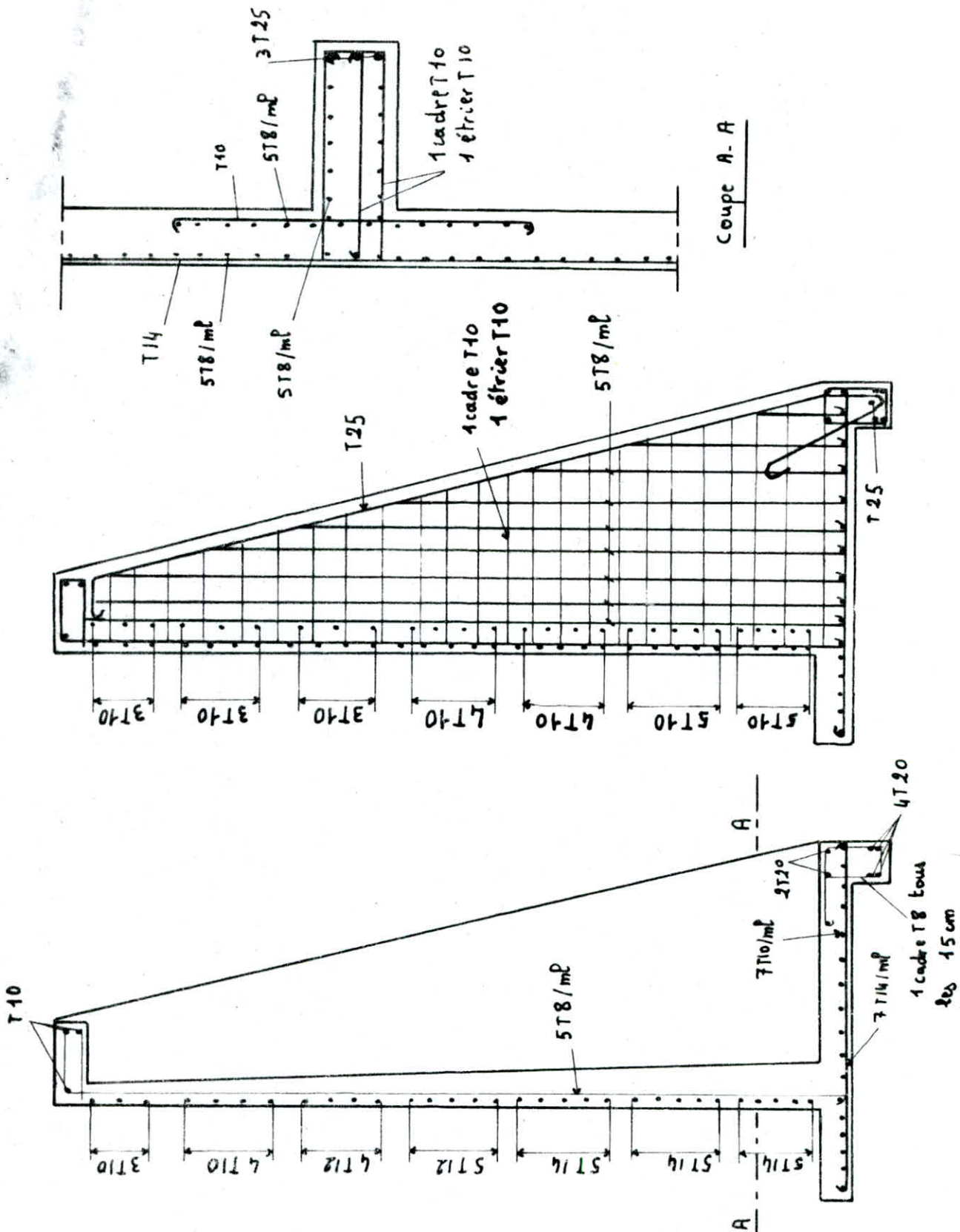
$A_t = 8396 / 2800 = 2,99 \text{ cm}^2/\text{ml}$

Pour  $t = 25 \text{ cm}$        $A_t = 1,62 + 2,99 / 5 = 2,22 \text{ cm}^2$

On prendra 1 cadre T10 renforcé d'un étrier T10 tous les 25 cm

On prévoiera des T8 comme armatures de montage: 5T8/ml

# schémas de ferrailage

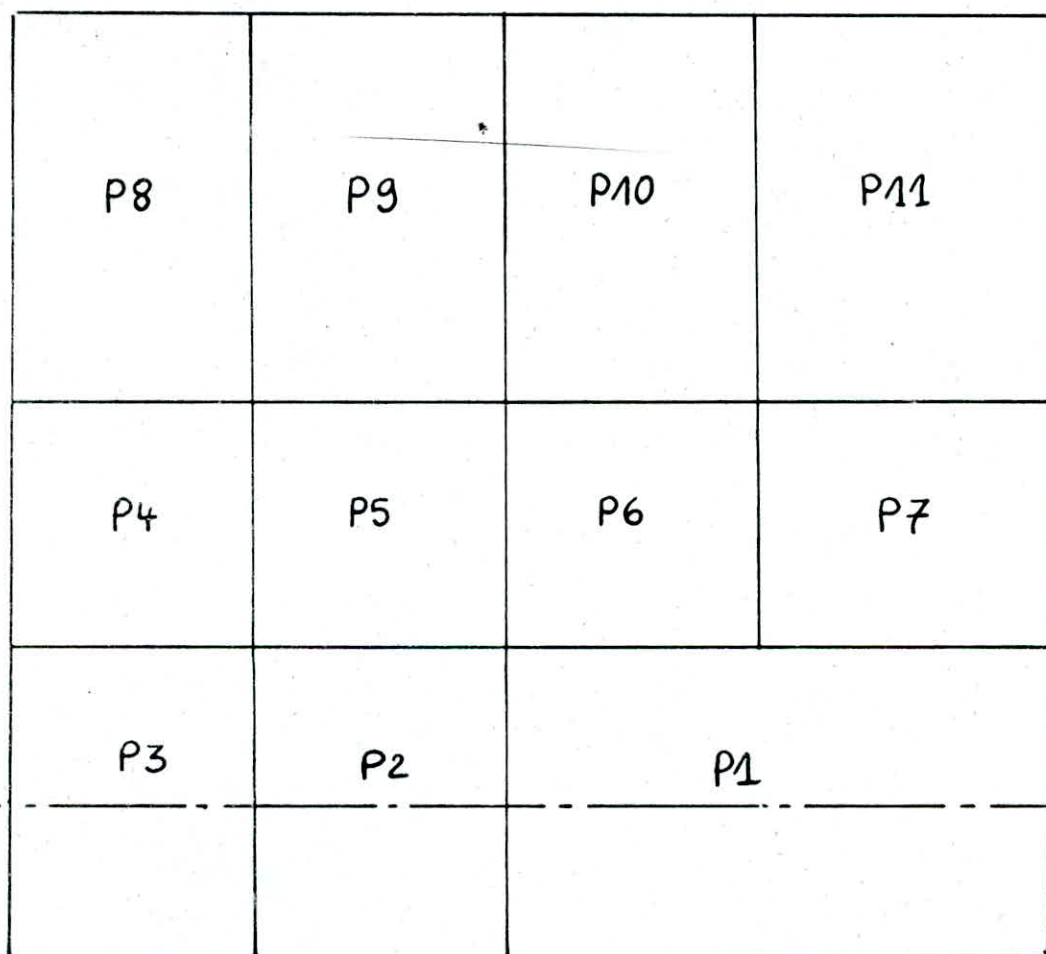




CHAP XI

FONDATIONS

FONDACTIONS : IDENTIFICATION DES PANNEAUX DE RADIER



ech 1/100

## INTRODUCTION :

Le sol sur lequel repose notre bâtiment à une contrainte admissible de  $20 \text{ t/m}^2$ . ( $\bar{\sigma}_s = 2 \text{ bars}$ )

La descente de charge de l'ensemble de la structure au niveau des Fondations à donné Les résultats suivants:  $G = 5260 \text{ t}$

$$P = 1220 \text{ t}$$

Un calcul préliminaire à montré que l'adoption des semelles filantes comme fondations pour notre bâtiment à conduit à l'occupation de tout l'espace constitué par la zone inter-Axes des voiles ou au meilleur des cas à un espace trop faible.

vu l'importance de la charge transmise au sol par les différents éléments porteurs du bâtiment, la faible portance du sol ( $\bar{\sigma}_s = 2 \text{ bars}$ ) et afin d'éviter le problème de tassements différentiels qui peuvent causer des désordres à la structure, on adopte un Radier Général comme type de fondation.

Il sera constitué d'une dalle d'épaisseur constante assimilable du point de vue calcul à un plancher renversé soumis aux forces de réactions du sol agissant de bas vers le haut d'une manière uniforme, le radier sera considéré comme infiniment rigide.

### Prédimensionnement de la surface du radier :

Poids de la Structure au niveau de la fondation sous SPA :

$$N = G + 1,2P = 5260 + 1,2 \cdot 1220 = 6724 \text{ t}$$

$$\text{Surface nécessaire du radier : } S_{\text{req}} \geq \frac{N}{\bar{\sigma}_s} = \frac{6724}{20} = 336,2 \text{ m}^2$$

$$\text{Surface de l'emprise du bâtiment : } S_0 = 350,7 \text{ m}^2$$

Le débord sera pris égal à 1,3 m.

d'où la surface totale du radier :  $S = 25,3 \times 18,05 = 456,7 \text{ m}^2 > S_{\text{req}}$

Prédimensionnement de l'épaisseur du radier :

Etant donné qu'il est toujours peu commode de placer des étriers dans une dalle donc dans un radier, c'est la plupart du temps la règle de la contrainte de cisaillement après déduction des transmissions directes, qui donne l'épaisseur minimale prise en compte.

La contrainte de cisaillement pour une bande de 1m est :

$$\tau_b = \frac{T_{\text{max}}}{b \cdot z} \leq 1,15 \bar{\sigma}_b \quad z = \frac{7}{8} h$$

$$T_{\text{max}} = q \frac{\ell}{2} = \frac{14,72 \cdot 4,4}{2} = 32,4 \text{ t}$$

$$\text{d'où } h \geq \frac{8 T_{\text{max}}}{7 \cdot b \cdot 1,15 \cdot \bar{\sigma}_b} = \frac{8 \cdot 32,4 \cdot 10^3}{7 \cdot 100 \cdot 1,15 \cdot 5,91} = 54,5 \text{ cm}$$

$$q = \frac{N}{S} = \frac{6724}{456,7} = 14,72 \text{ t/m}^2$$

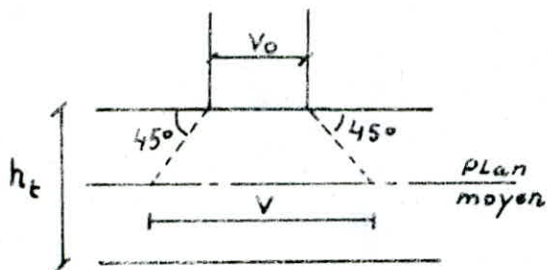
$$\ell = 4,4 \text{ m}$$

on prend  $h = 55 \text{ cm}$  et  $h_t = h + d = 55 + 5 = 60 \text{ cm}$

$h_t = 60 \text{ cm}$

Verification au poinçonnement :

conformément aux Règles (CBA 68 : Art 39,54) on fera une verification au poinçonnement sous le voile le plus chargé :



$$N = G + 1,2 P = 450 + 1,2 \times 45 = 504 \text{ t}$$

$$U = U_0 + h_t = 11,7 + 0,6 = 12,3 \text{ m}$$

$$V = V_0 + h_t = 0,3 + 0,6 = 0,9 \text{ m}$$

La condition de non poinçonnement sous mur est donné par :

$$1,5 \frac{N}{P_c \cdot h_t} \leq \bar{\sigma}_b$$

avec  $P_c = 2(U+V)$  périmètre du contour cisailé.

$$\text{d'où } \frac{1,5 N}{P_c \cdot h_c} = \frac{1,5 \cdot 504 \cdot 10^3}{2(19,3+9,9) \cdot 10^2 \cdot 60} = 4,77 \text{ Kg/cm}^2 < \bar{\sigma}_b = 5,91 \text{ Kg/cm}^2$$

Le radier est vérifié au non poinçonnement.

① Vérification de la stabilité du radier sous SP1 :

$$N = (G + G_{\text{radier}}) + 1,2 P = 5260 + 685,05 + 1,2 \times 1220 = 7409 \text{ t}$$

$$\bar{\sigma} = \frac{N}{S} = \frac{7409}{456,7} = 16,22 \text{ t/m}^2 < \bar{\sigma}_s = 20 \text{ t/m}^2$$

② Vérification de la stabilité du radier sous SP2 : (Art 4131 RPA 81)

Sous les sollicitations introduisant un moment de renversement, nous devons vérifier que les extrémités du radier ne sont pas assujetties à la traction (roulement). Le cas est très probable sous la sollicitation (0,8G ± E) donné par le RPA 81. d'autre part nous devons vérifier les fortes compressions sous la sollicitation (G + P + E).

Sollicitation (0,8G ± E) :

$$N = 0,8G = 0,8(5260 + 685,05) = 4756 \text{ t}$$

Sens longitudinal x-x :

$$M_y = 12562 \text{ t.m}$$

$$I_y = 24358,9 \text{ m}^4$$

$$x = 12,65 \text{ m}$$

$$\bar{\sigma}_{1,2} = \frac{N}{S} \pm \frac{M_y \cdot x}{I_y}$$

$$= \frac{4756}{456,7} \pm \frac{12562 \cdot 12,65}{24358,9} =$$

$$\left\{ \begin{array}{l} \sigma_1 = 16,93 \text{ t/m}^2 \\ < 1,5 \bar{\sigma}_s \\ \sigma_2 = 3,89 \text{ t/m}^2 \\ < 1,5 \bar{\sigma}_s = 30 \text{ t/m}^2 \end{array} \right.$$

$$\bar{\sigma}_m = \frac{3\bar{\sigma}_1 + \bar{\sigma}_2}{4} = 1,36 \text{ Kg/cm}^2 < 3 \text{ Kg/cm}^2$$

Sens transversal Y-Y :

$$M_x = 13931 \text{ t.m}$$

$$I_x = 12398,55 \text{ m}^4$$

$$Y = 9,025 \text{ m}$$

$$\bar{\sigma}_{1,2} = \frac{N}{S} \pm \frac{M_x \cdot Y}{I_x}$$

$$= \frac{4756}{456,7} \pm \frac{13931}{12398,55} \times 9,025 =$$

$$\left\{ \begin{array}{l} \sigma_1 = 20,55 \text{ t/m}^2 = 2,055 \text{ Kg/cm}^2 \\ < 1,5 \bar{\sigma}_s = 3 \text{ Kg/cm}^2 \\ \sigma_2 = 0,027 \text{ Kg/cm}^2 < 3 \text{ Kg/cm}^2 \end{array} \right.$$

$$\bar{\sigma}_m = \frac{3\bar{\sigma}_1 + \bar{\sigma}_2}{4} = 1,55 \text{ Kg/cm}^2 < 3 \text{ Kg/cm}^2$$

## Sollicitation G+P+E :

Sens Longitudinal :

$$G+P = 5260 + 685,05 + 1220 = 7165 \text{ t}$$

$$\sigma_{1,2} = \frac{N}{S} \pm \frac{M_y \cdot x}{I_y} = \frac{7165}{456,7} \pm \frac{12562}{24358,9} \cdot 12,65 = \begin{cases} \sigma_1 = 22,21 \text{ t/m}^2 = 2,22 \text{ kg/cm}^2 < 1,5 \bar{\sigma}_s \\ \sigma_2 = 9,17 \text{ t/m}^2 = 0,917 \text{ kg/cm}^2 < 1,5 \bar{\sigma}_s \end{cases}$$

$$\bar{\sigma}_m = \frac{\sigma_1 + \sigma_2}{4} = 1,89 \text{ kg/cm}^2 < 1,5 \bar{\sigma}_s = 3 \text{ kg/cm}^2.$$

Sens transversal :

$$\sigma_{1,2} = \frac{N}{S} \pm \frac{M_x \cdot y}{I_x} = \frac{7165}{456,7} \pm \frac{13931}{12398,55} \cdot 9,025 = \begin{cases} \sigma_1 = 25,82 \text{ t/m}^2 = 2,582 \text{ kg/cm}^2 < 3 \text{ kg/cm}^2 \\ \sigma_2 = 5,54 \text{ t/m}^2 = 0,554 \text{ kg/cm}^2 < 3 \text{ kg/cm}^2 \end{cases}$$

$$\bar{\sigma}_m = \frac{\sigma_1 + \sigma_2}{4} = 2,075 \text{ kg/cm}^2 < 3 \text{ kg/cm}^2.$$

## CHARGES A PRENDRE EN COMPTE POUR LE CALCUL DU RADIER :

Détermination de la Sollicitation La plus défavorable

① Sollicitation du 1<sup>er</sup> genre (SP1) :

$$N_1 = G + 1,2P = 6724 \text{ t}$$

Sous cet effort la sous face du radier subira une contrainte :

$$\sigma_{s_1} = \frac{N_1}{S} = \frac{6724}{456,7} = 14,72 \text{ t/m}^2 = 1,472 \text{ kg/cm}^2$$

② Sollicitation du 2<sup>ème</sup> genre (SP2) :

Dans ce cas on peut déterminer un effort normal centré  $N_2$  dont l'effet sera de produire la même contrainte moyenne que dans le cas le plus défavorable du second genre, soit (G+P+E).

pour lequel :  $\bar{\sigma}_m = 1,5 \bar{\sigma}_s - q_r = 3 - 0,15 = 2,85 \text{ kg/cm}^2$

$q_r$  : poids du radier

$$\frac{\bar{\sigma}_a(SP_2)}{\bar{\sigma}_a(SP_1)} = 1,5 < \frac{q(SP_2)}{q(SP_1)} = 1,93$$

D'où le radier sera calculé, sans l'effet des sollicitations du 2<sup>ème</sup> genre

## CALCUL DES MOMENTS • FERRAILLAGE :

Le radier est calculé comme un plancher renversé dont des points d'appui sont constitués par les murs porteurs et les poteaux. Il est soumis à une charge uniformément répartie ( $q$ )  $\perp$  dirigée de bas en haut.

Les panneaux de dalles étant sollicités par des charges uniformément réparties.  $q$  étant la charge par unité d'aire et couvrant entièrement le panneau considéré on considère au milieu de chaque portée une bande de 1m de largeur. Les moments développés au centre du panneau dans la direction des deux bandes ont pour expression :

- Dans le sens de la petite portée  $l_x$  :  $M_{0x} = \mu_x q l_x^2$

- Dans le sens de la grande portée  $l_y$  :  $M_{0y} = \mu_y M_{0x}$

$\mu_x$  et  $\mu_y$  sont donnés en fonction de  $\varphi = \frac{l_x}{l_y}$  par une échelle dans le C.C.B.A. 68

on prendra :

### Panneaux de rive

en travée :  $M_{tx} = 0,85 M_{0x}$

$M_{ty} = 0,85 M_{0y}$

en Appui :  $M_{ax} = 0,5 M_{0x}$

$M_{ay} = 0,5 M_{0y}$

### Panneaux de rive :

en travée :  $M_{tx} = 0,75 M_{0x}$

$M_{ty} = 0,75 M_{0y}$

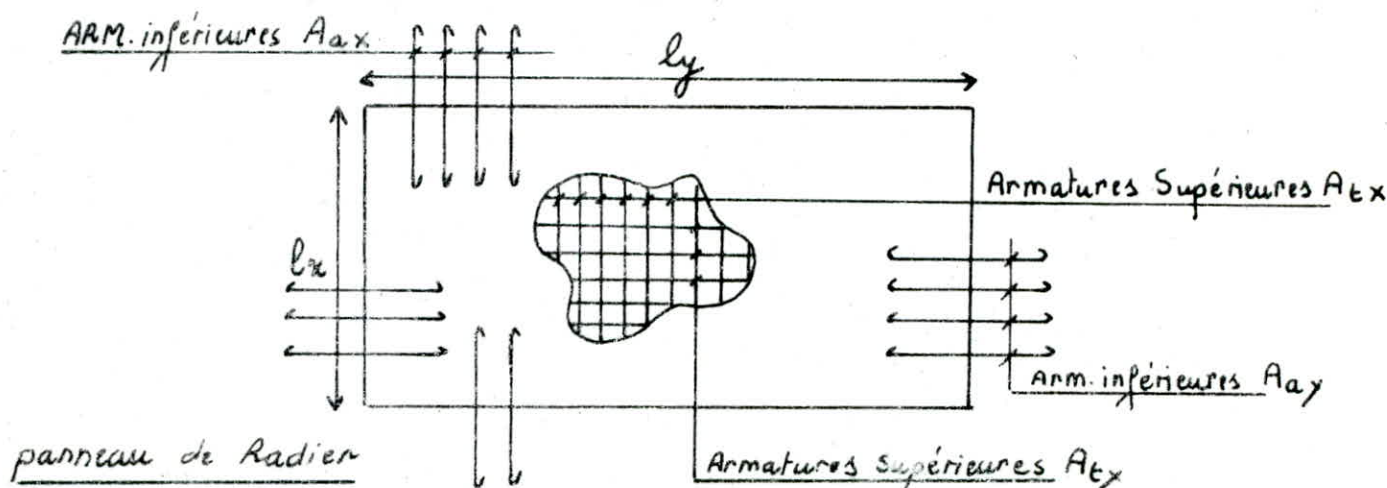
en Appui :  $M_{ax} = 0,5 M_{0x}$

$M_{ay} = 0,5 M_{0y}$

Les moments sont choisis en vérifiant :  $M_t + \frac{M_w + M_e}{2} \geq 1,25 M_0$

Le ferrailage a été fait suivant la méthode de M<sup>r</sup> Pierre CHARON

Les résultats sont résumés dans le tableau page .







espacements maximaux :

sens x :  $t = \min(3h_f : 33 \text{ cm})$

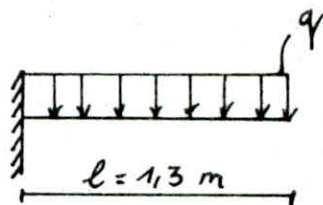
sens y :  $t = \min(4h_f : 45 \text{ cm})$

Ferraillage du débord :

La partie du radier en débord est étudiée comme une console.

$q = 28,5 \text{ t/ml}$      $M = \frac{q\ell^2}{2} = 24,08 \text{ t.m}$

$\mu = \frac{15M}{\bar{\sigma}_a b h^2} = \frac{15 \cdot 24,08 \cdot 10^5}{4200 \cdot 100 \cdot 55^2} = 0,0284 \rightarrow \begin{cases} E = 0,9271 \\ K = 53,6 \end{cases}$



$\sigma'_b = \frac{\bar{\sigma}_a}{K} = 78,36 \text{ kg/cm}^2 < \bar{\sigma}'_b$

$A = \frac{M}{\bar{\sigma}_a \cdot E \cdot h} = 11,24 \text{ cm}^2/\text{ml}$  soit 6HA16/ml espacés de  $t = 20 \text{ cm}$ .  
(12,06 cm<sup>2</sup>)

à partir du tableau de ferraillage précédent nous pouvons uniformiser de ferraillage pour faciliter la mise en oeuvre sur chantier :

TABLEAU DE FERRAILLAGE UNIFORMISE :

Panneaux	2 à 10	1 et 11
$A_{tx}$	6HA14/ml $t=20\text{cm}$	6HA20/ml $t=20\text{cm}$
$A_{ty}$	6HA14/ml $t=20\text{cm}$	6HA20/ml $t=20\text{cm}$
$A_{ax}$	6HA12/ml $t=20\text{cm}$	6HA14/ml $t=20\text{cm}$
$A_{ay}$	6HA12/ml $t=20\text{cm}$	6HA14/ml $t=20\text{cm}$

Radier en débord 6HA16/ml  $t = 20 \text{ cm}$ .

Poinçonnement des poteaux :

pour vérifier de non poinçonnement des poteaux sur le radier nous prévoyons une surépaisseur locale de 50 cm sous la zone du radier occupée par des poteaux. Ces surépaisseurs sont centrées sous les axes des poteaux et ont pour dimensions 1,70 m x 1,70 m.

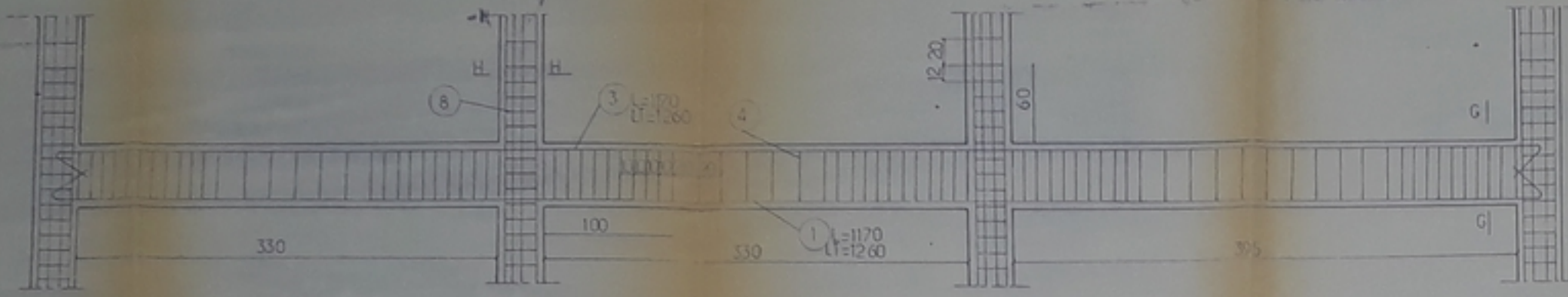
## Bibliographie

- "ossature des bâtiments" A. Coin
- "Calcul des ouvrages en B.A." Bela zoughi
- "Calcul et vérification des ouvrages en B.A." P. Charon
- "Exercices de B.A." P. Charon
- Marius Siver
- Rili
- RPA 81
- C-CB-A 68
- NV 65
- Capra - Davidovici "Calcul dynamique des structures en zone sismique" /
- Tables de Barès pour le calcul des dalles
- Fuentes "calculs pratiques des ossatures de bâtiment en B.A."
- Clough "dynamique des structures".



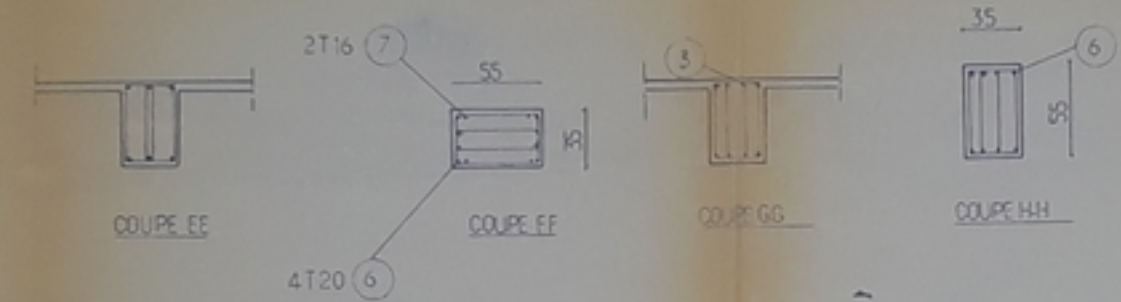
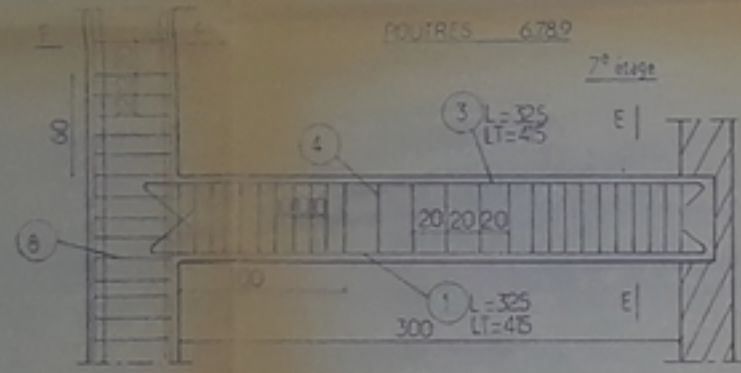
POUTRES 17.8

13<sup>e</sup> étage



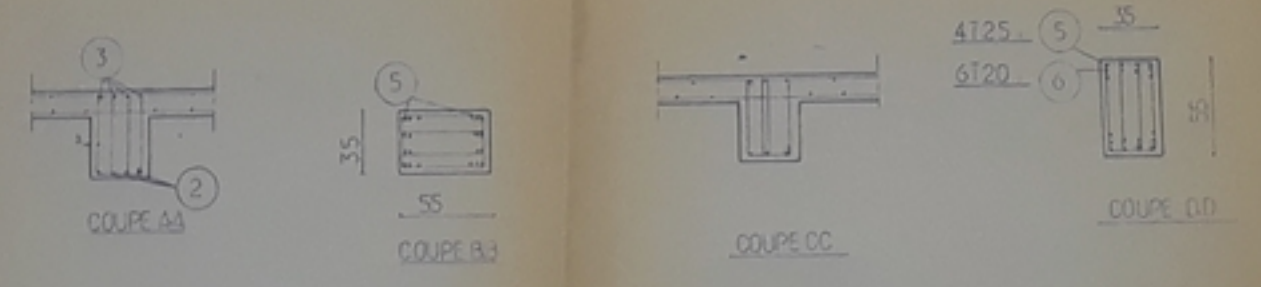
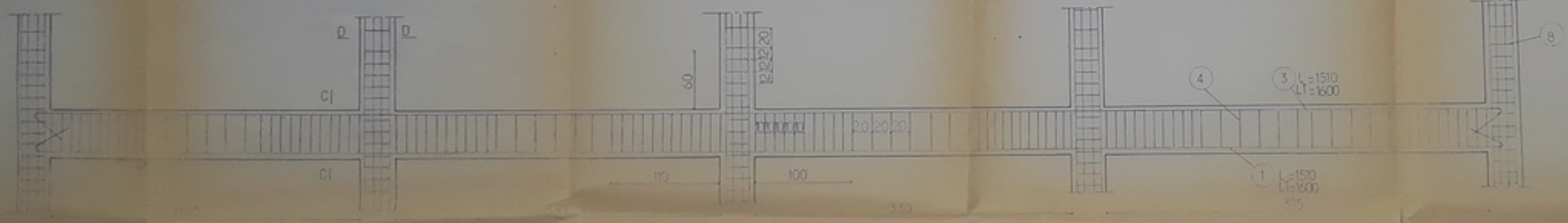
POUTRES 6.782

7<sup>e</sup> étage



POUTRES 13.15

3<sup>e</sup> étage



POUTRES 12.345.10.11.2

1<sup>er</sup> étage

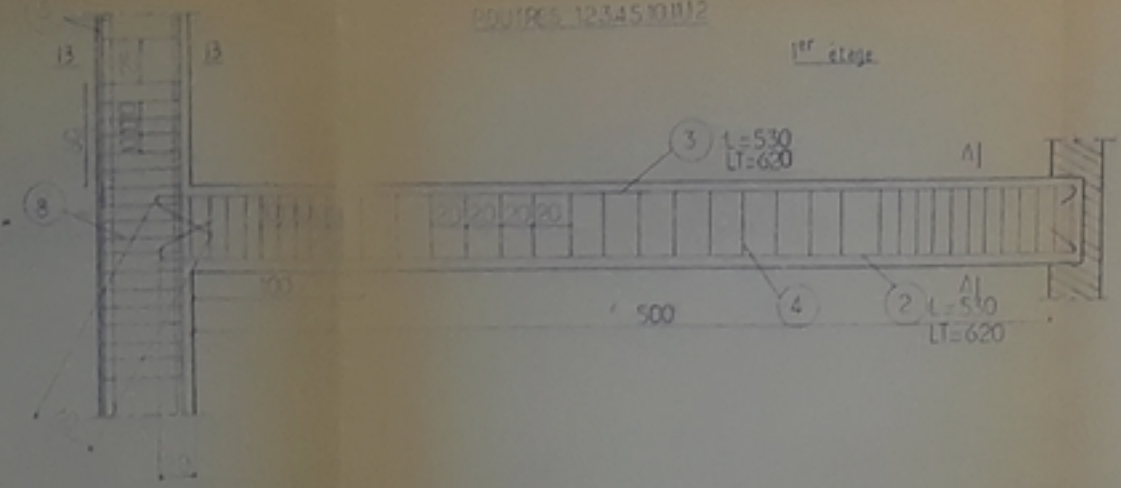


TABLEAU DE CONFORMATION CIMENT

ELEMENTS	CROQUIS	Ø	nb	nb
POUTRES	armatures inférieures		16	1
	armatures supérieures		20	2
	cadres		8	4
POTEAUX	armatures		435	25
			410	20
			410	16
	cadres		8	8

17. longueur développée de l'armature



PB 00988

.1.

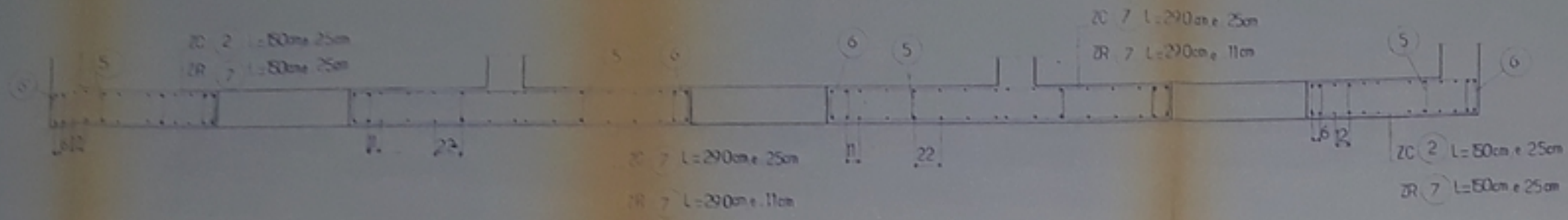
مكتب الدراسات والاحكام الهندسية العامة  
 BUREAU D'INGENIERIE DE RECHERCHES ET ETUDES GENERALES

**FIN D'ETUDE**  
 DE PLANS C.A.D. POUR LES PILES

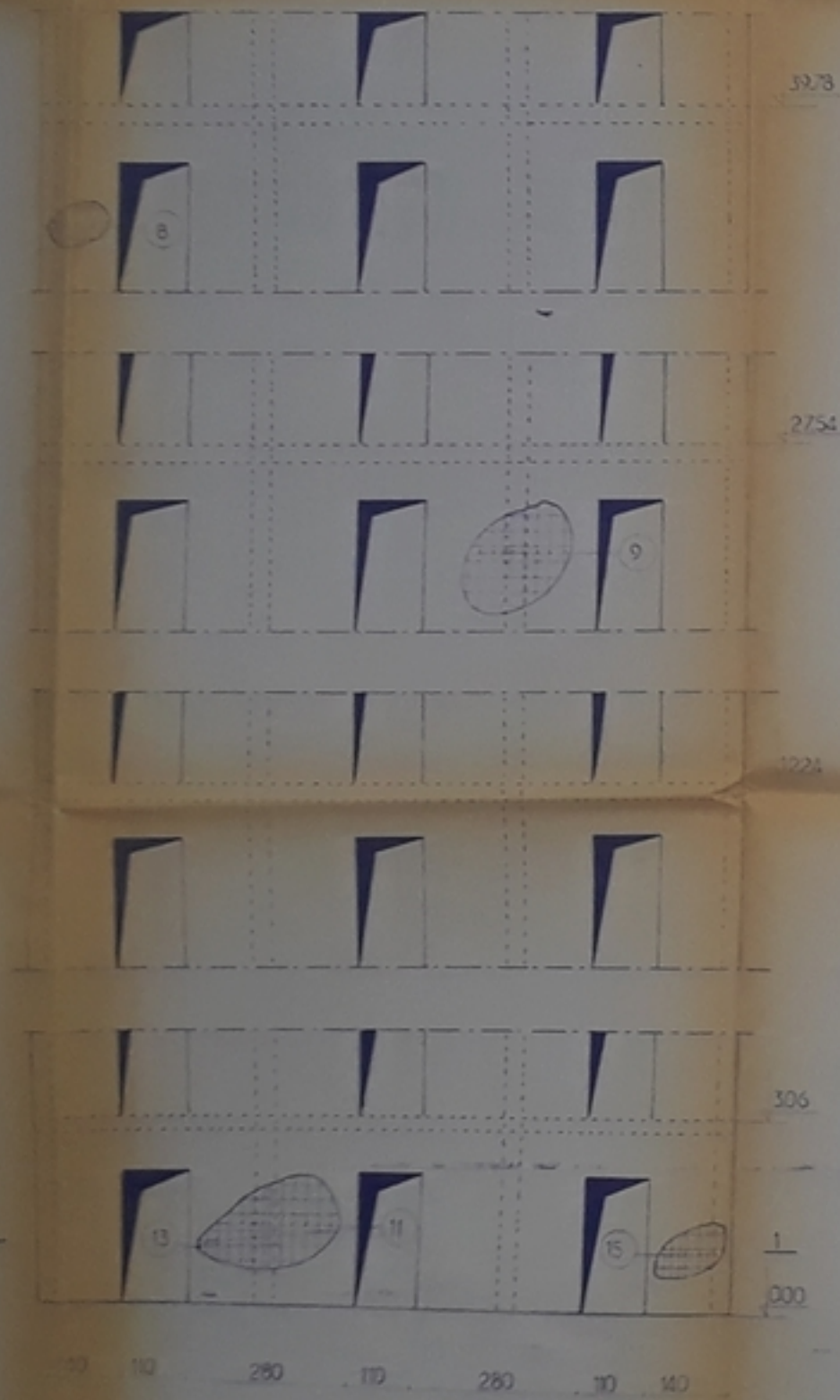
Date de départ: \_\_\_\_\_  
 Date de fin: \_\_\_\_\_  
 Lieu: \_\_\_\_\_  
 Visibilité: \_\_\_\_\_

Ingénieur: \_\_\_\_\_  
 Technicien: \_\_\_\_\_  
 Dessinateur: \_\_\_\_\_

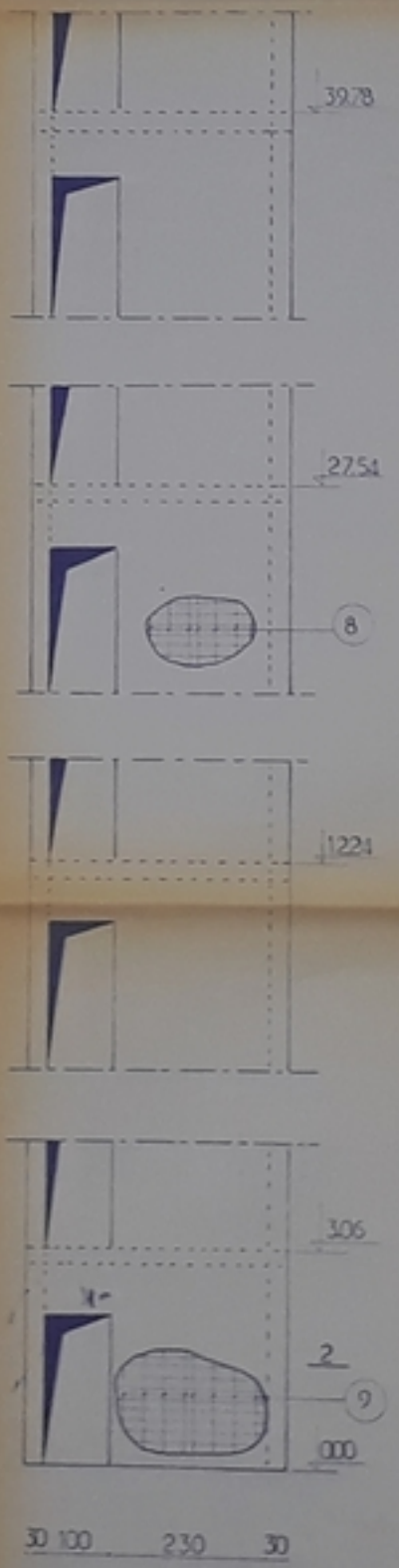
COUPE 11



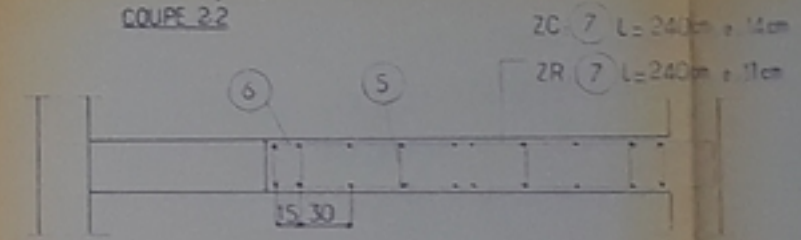
VOILE Vx1



VOILES Vx2-Vx3



COUPE 22



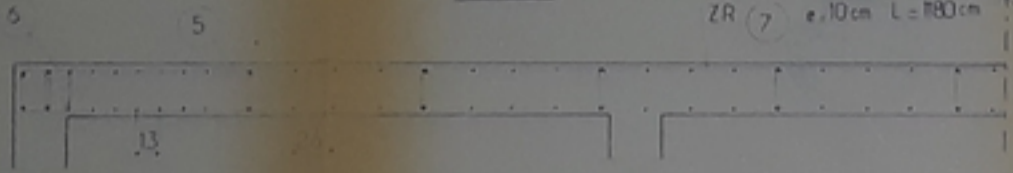
PB 005 70  
-2-

مكتب الدراسات والاحكام الهندية المدنية  
 BUREAU D'INGENIERIE DE RECHERCHES ET ETUDES SPECIALES  
 11116  
 11116  
 11116  
**FIN D'ETUDE**  
 COP-FERRAILLAGE VOILES Vx1-Vx3-Vx4  
 Date: / /  
 Signature:



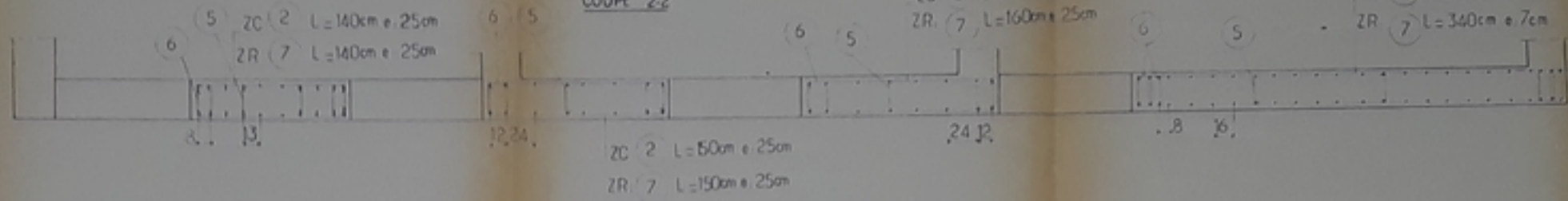
COUPE 1-1

ZC / 7 e = 25cm L = 780cm  
ZR / 7 e = 10cm L = 780cm

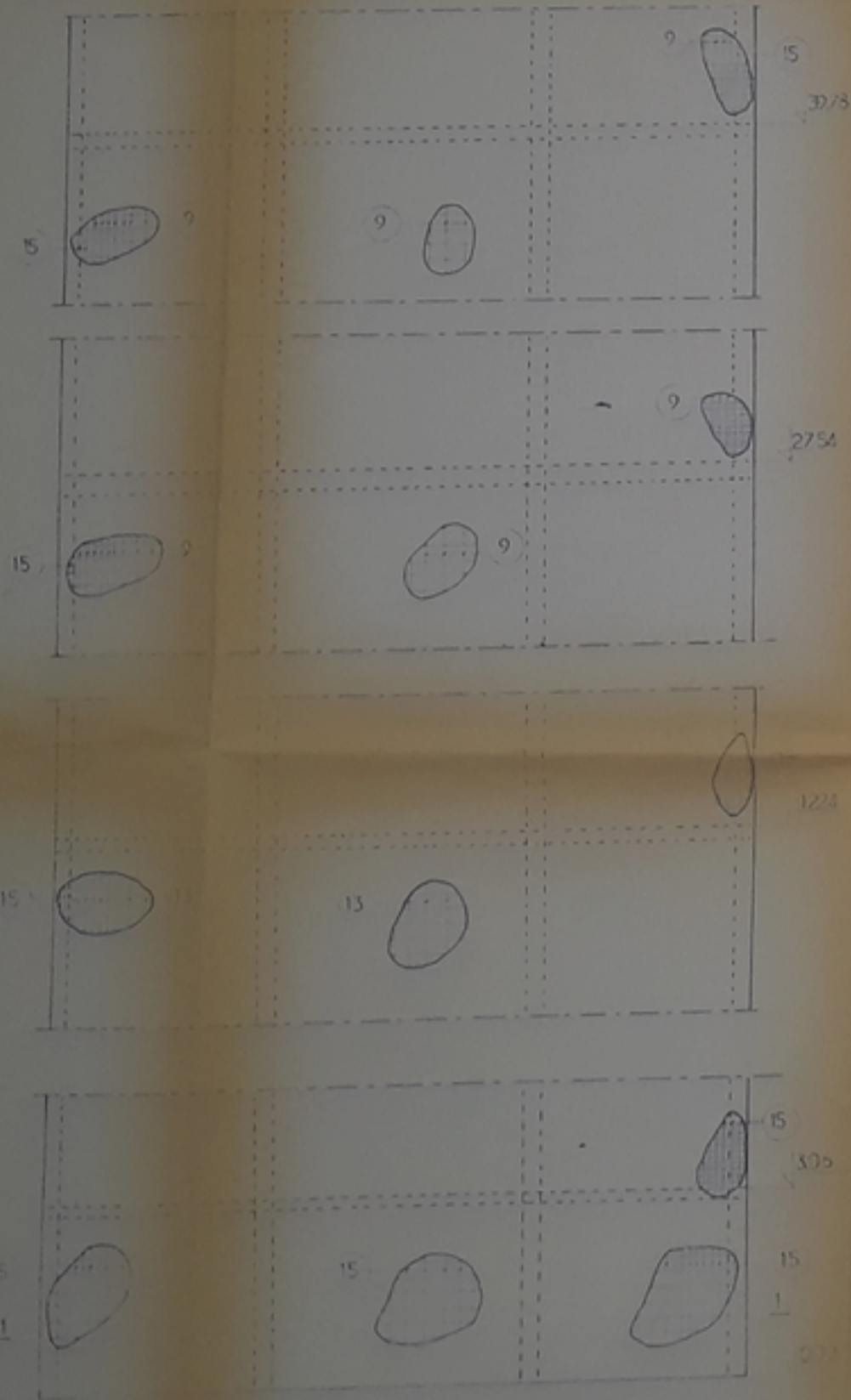


COUPE 2-2

ZC / 2 L = 160cm e = 25cm  
ZR / 7 L = 160cm e = 25cm  
ZC / 7 L = 340cm e = 25cm  
ZR / 7 L = 340cm e = 7cm

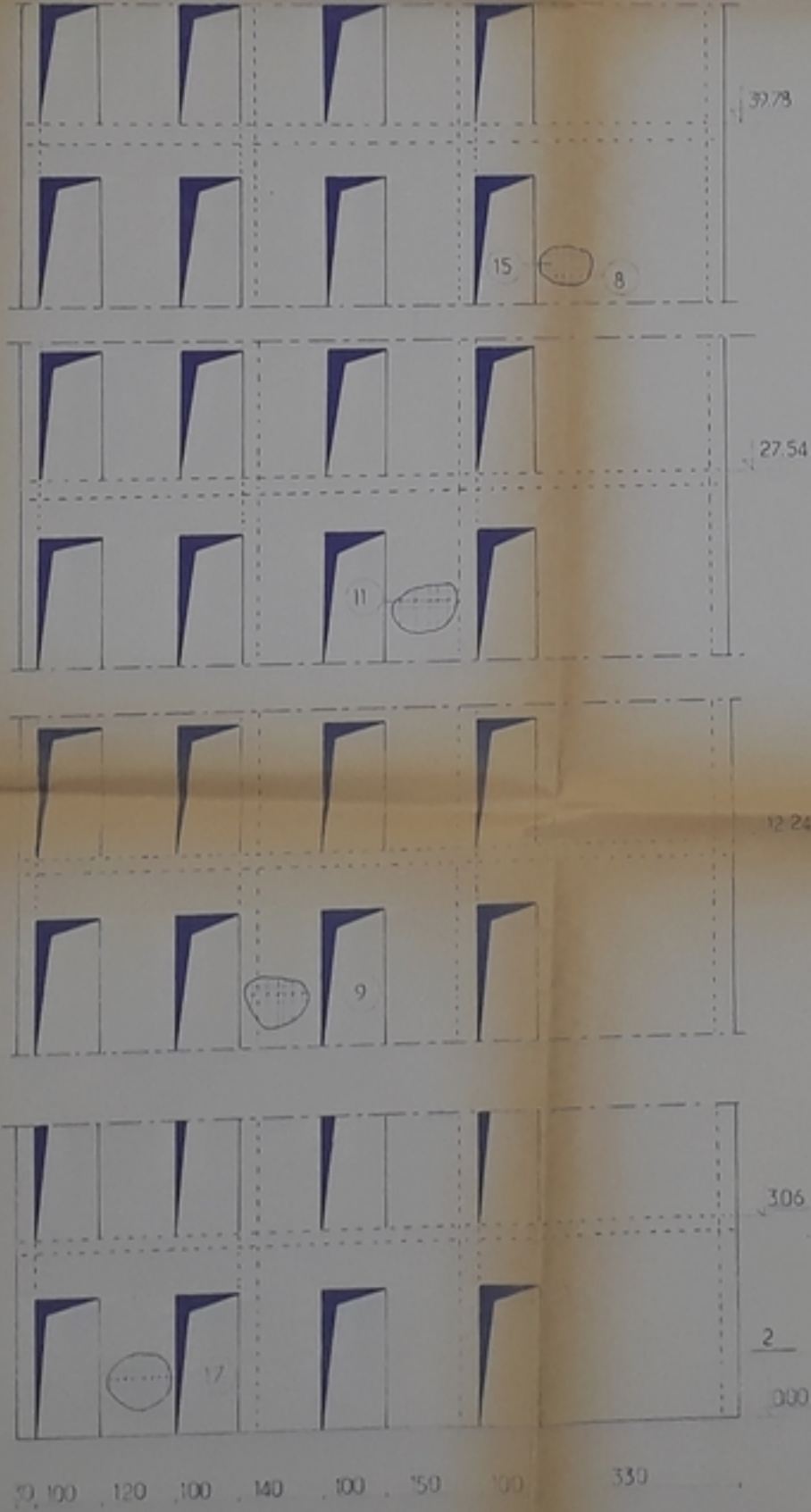


VOILE Vx5



1170

VOILES VYLV6

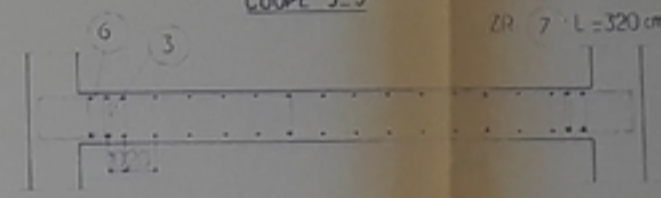


VOILES VY2V3



COUPE 3-3

ZC / 7 L = 320cm e = 16cm  
ZR / 7 L = 320cm e = 14cm

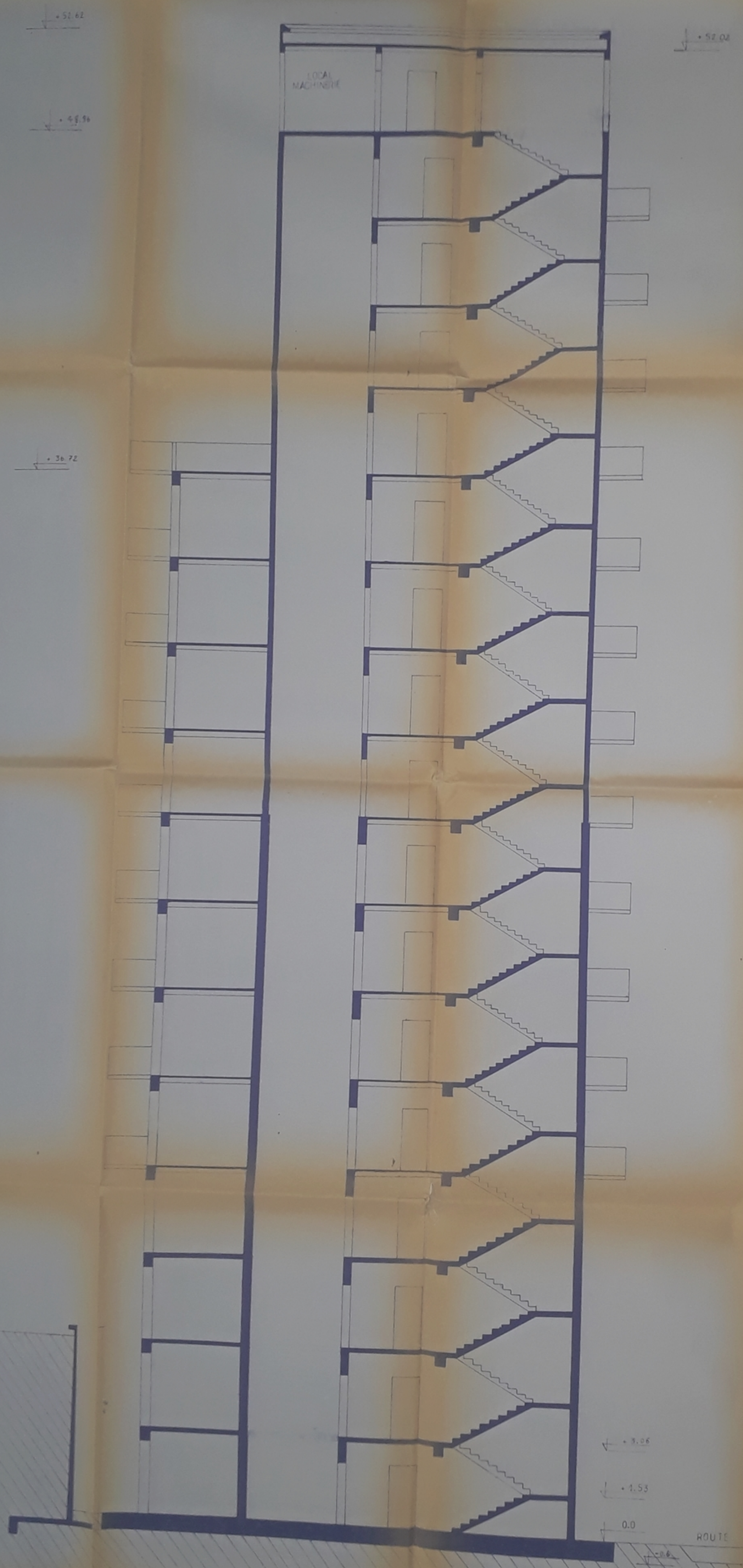


PB - 0 88

-3-

مكتب الدراسات والابحاث الهندسية العامة  
 BUREAU D'INGENIERIE DE RECHERCHES ET ETUDES GENERALES  
 10000 - NABHALY - 85 - 802 - LISIYAH  
 TEL: 54 216 88 161 78 34 07 4 09

**FIN D'ETUDE**  
 (Stamp and signature area)  
 Date: \_\_\_\_\_  
 Signature: \_\_\_\_\_



PC 003.88  
-4-

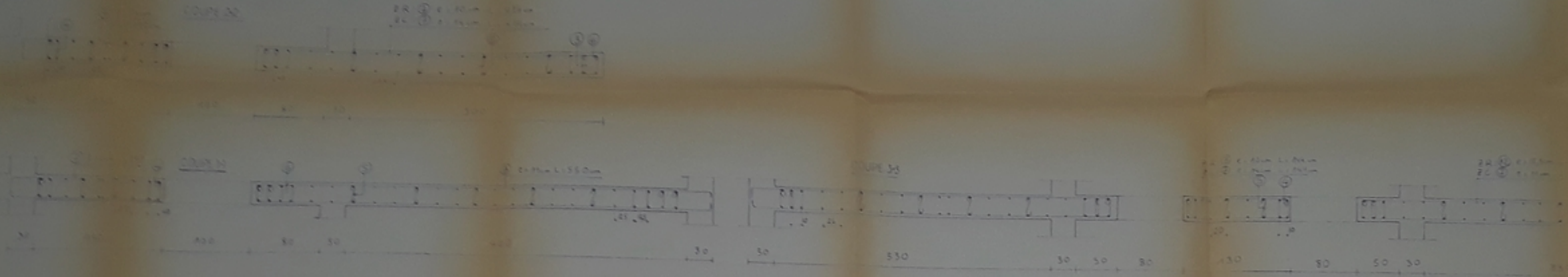
مكتب الدراسات والامك الهندية العامة  
 BUREAU D'ENGINEERING DE RECHERCHES ET ETUDES SCIENTIFIQUES

ROUTE NATIONALE NO 008 AZZOUJA  
 P.O. BOX 270 02 ALGERIA

PROJET  
**FIN D'ETUDE**  
**COUPE A-A**

Matrice de l'ouvrage  
 Date: / /  
 Dessiné: / /  
 Vérifié: / /  
 Echelle: 1/50

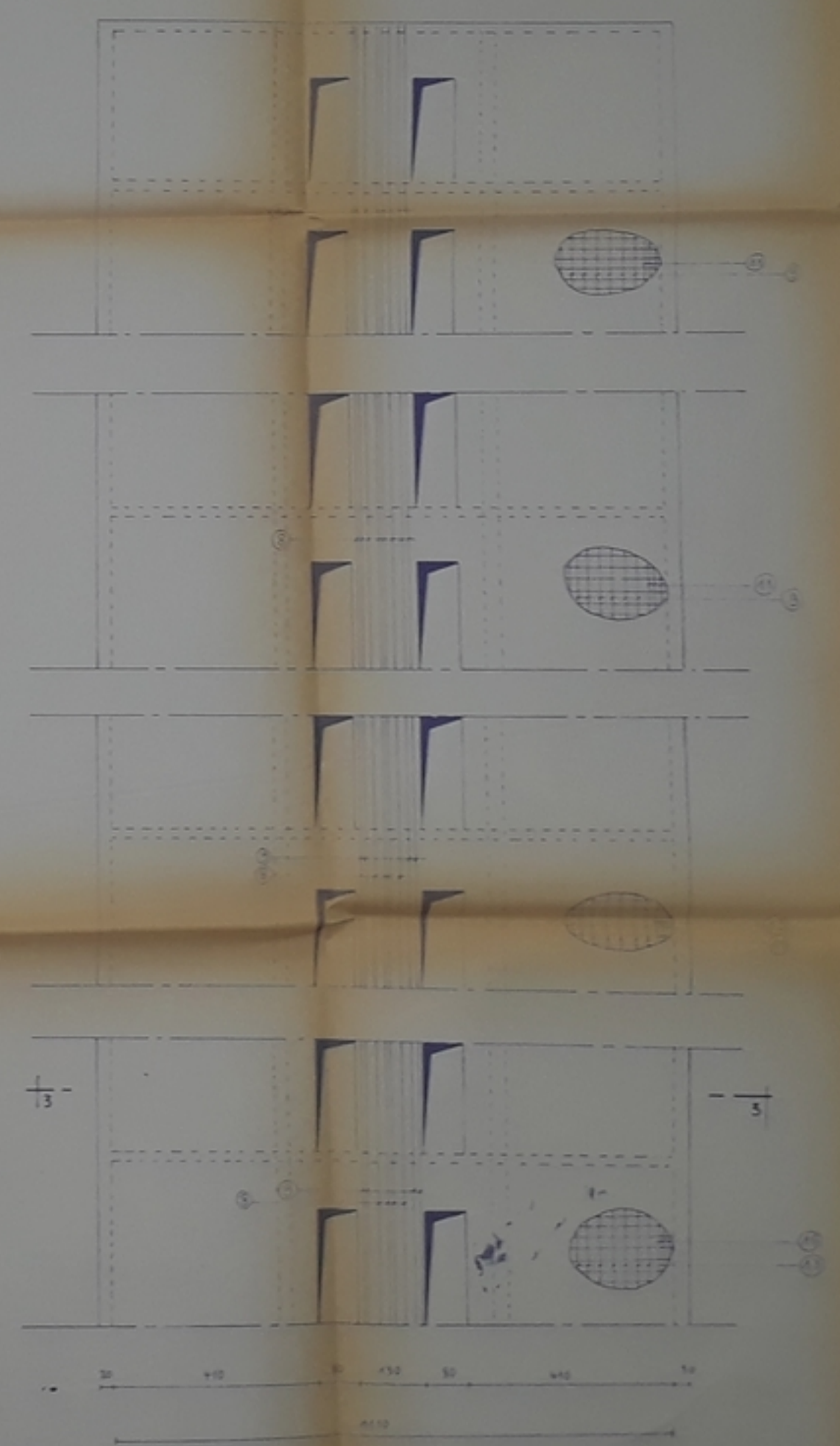
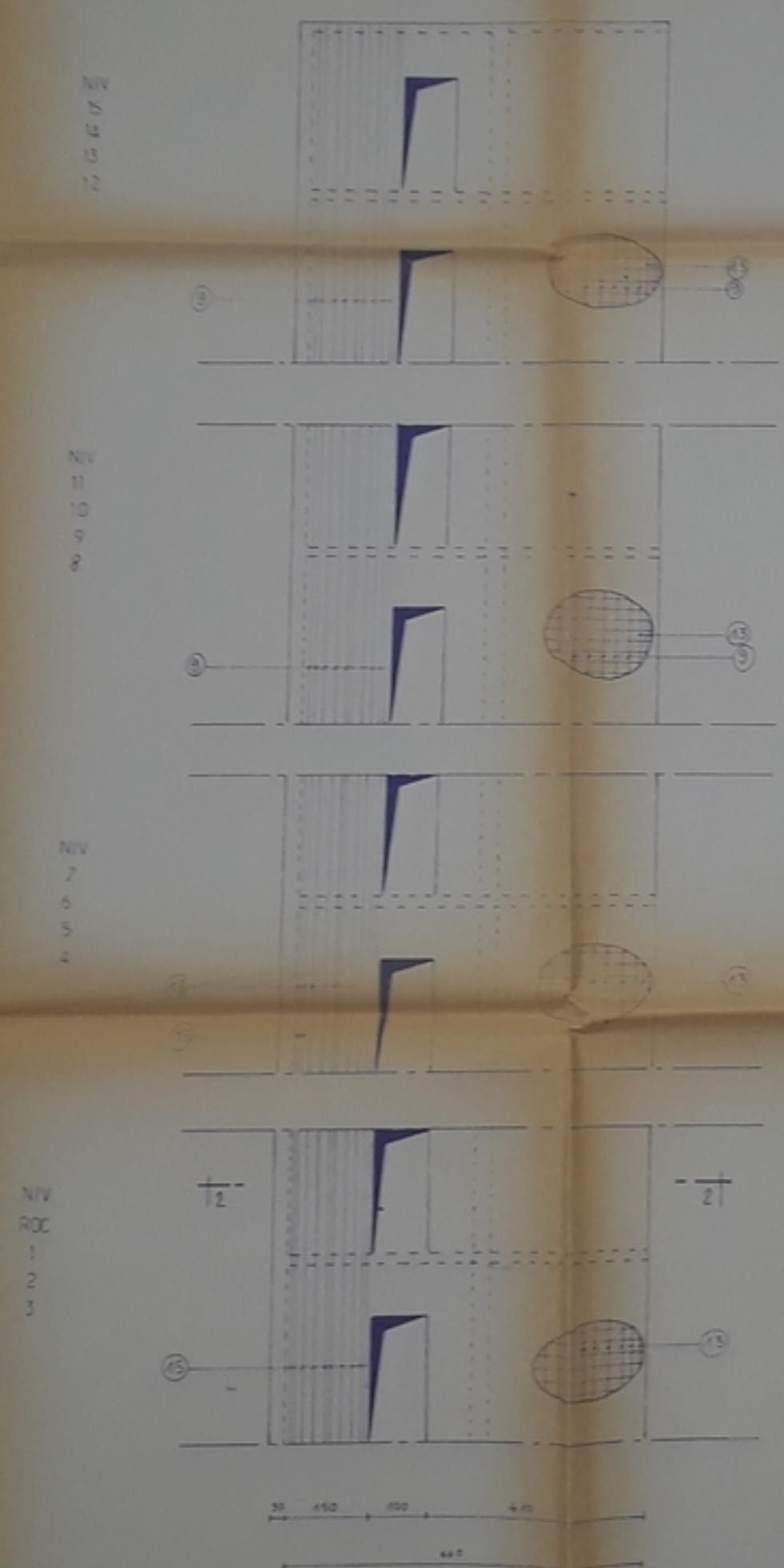
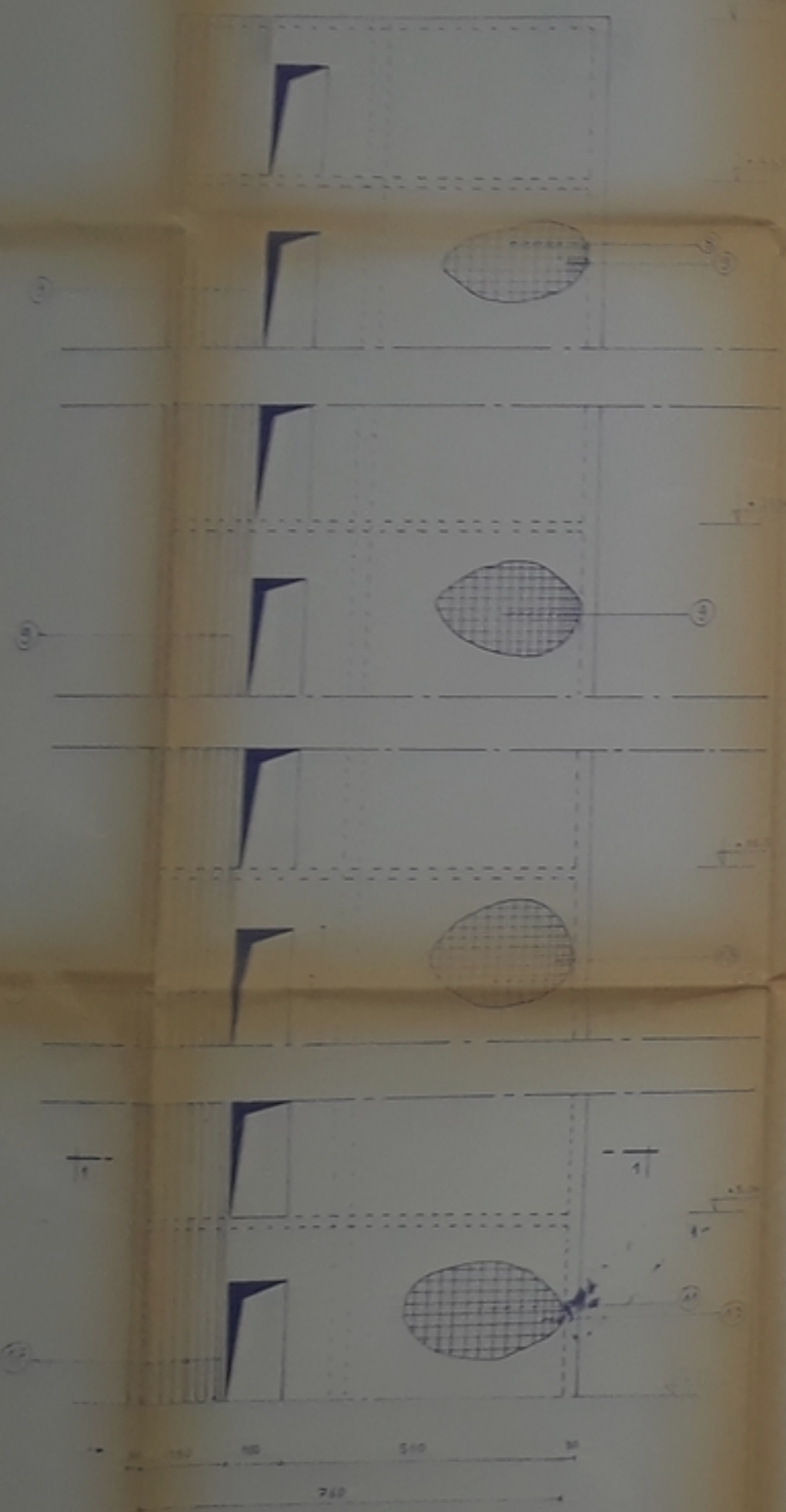
FORTAS-EL MASSIR



- VOILE VY4 -

- VOILE VY5 -

- VOILE VX4 -

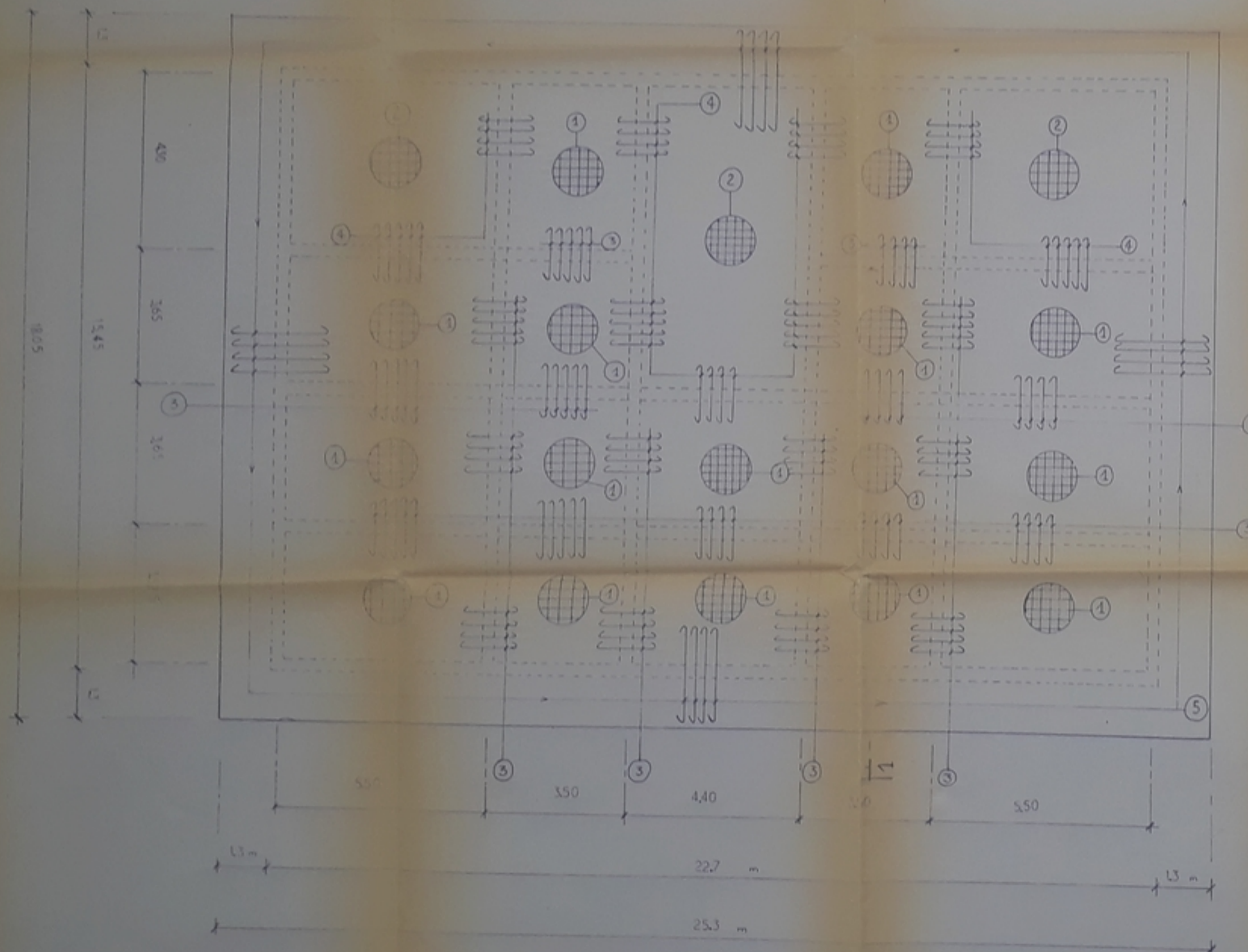
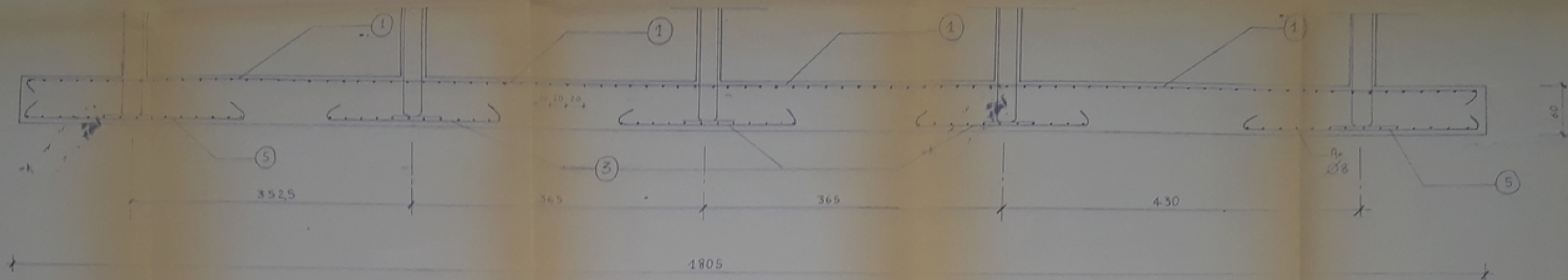


NOMENCLATURE DES ACIERS

N°	Ø	Longueur	Quantité
1	8	1.00	1
2	8	1.00	1
3	8	1.00	1
4	8	1.00	1
5	8	1.00	1
6	8	1.00	1
7	10	1.00	1
8	10	1.00	1
9	10	1.00	1
10	12	1.00	1
11	14	1.00	1
12	14	1.00	1
13	16	1.00	1
14	16	1.00	1
15	20	1.00	1
16	20	1.00	1
17	25	1.00	1
18	25	1.00	1

مكتب الدراسات والاصحاح الهندية المعمورة  
 BUREAU D'ETUDE ET DE RECHERCHE ET D'EXECUTION  
 11111  
 11111  
**FIN D'ETUDE**  
 COU/FERRAILLAGE DES VOILES  
 VY4 VY5 VX4  
 Date: \_\_\_\_\_  
 Dessiné: \_\_\_\_\_  
 Vérifié: \_\_\_\_\_  
 Approuvé: \_\_\_\_\_  
 FORTAS - EL WADJ

- COUPE 1-1 -



**NOMENCLATURE DES ACIERS**

	ARMATURES SUPERIEURES		ARMATURES INFERIEURES		
	1	2	3	4	5
Quadrillage	mailles carrés HA 44 e=20cm	mailles carrés HA 20 e=20cm			
Barres			6 HA 12 /ml e=20cm	6 HA 14 /ml e=20cm	6 HA 16 /ml e=20cm
L (cm)			L <sub>1</sub> = 160	L <sub>1</sub> = 160	L <sub>1</sub> = 160
Flg			45°	45°	45°
			L <sub>2</sub> = 215	L <sub>2</sub> = 215	L <sub>2</sub> = 215

recouvrement des barres 1: 4d<sub>1</sub> + 4d<sub>2</sub>  
 2: 16cm HA (L=300)

PB 00 387  
 -6-

**مك الدراسات والاصطاح الهندية المسانة**  
 BUREAU D'INGENIERIE DE RECHERCHES ET ETUDES GENERALES

---

**FIN D'ETUDE**  
 COF. FERRAILLAGE FONDATIONS

PORTAS-EL-HASSAN

Date: / /  
 Scale: 1/50  
 Sheet: 4/10



